

ФИЛИАЛ МОСКОВСКОГО ГОСУДАРСТВЕННОГО УНИВЕРСИТЕТА  
ИМЕНИ М.В. ЛОМОНОСОВА В ГОРОДЕ ДУШАНБЕ

270 лет МГУ  
1755 2025

15 ФМГУД  
2009 2024

МЕЖДУНАРОДНАЯ НАУЧНО-ПРАКТИЧЕСКАЯ КОНФЕРЕНЦИЯ XIV ЛОМОНОСОВСКИЕ ЧТЕНИЯ «РОЛЬ ФИЛИАЛА  
МОСКОВСКОГО ГОСУДАРСТВЕННОГО УНИВЕРСИТЕТА ИМЕНИ М.В. ЛОМОНОСОВА В ГОРОДЕ ДУШАНБЕ В РАЗВИТИИ  
НАУКИ И ОБРАЗОВАНИЯ»  
22 НОЯБРЯ 2024



**БОЛЬШАКОВ ДМИТРИЙ КОНСТАНТИНОВИЧ \***

**МОДИН ИГОРЬ НИКОЛАЕВИЧ**

**ИСПОЛЬЗОВАНИЕ СТАТИСТИЧЕСКИХ АТРИБУТОВ  
ПАРАМЕТРА СХОДСТВА ДЛЯ СРАВНЕНИЯ  
РЕЗУЛЬТАТОВ ПОЛЕВОГО ОПРОБОВАНИЯ  
МЕТОДИК ЭЛЕКТРОТОМОГРАФИИ**

УЧАСТКИ ПОЛЕВОГО ОПРОБОВАНИЯ УСТАНОВОК И АППАРАТУРА ДЛЯ ВЫПОЛНЕНИЯ РАБОТ  
ПОСЛЕДОВАТЕЛЬНОСТИ СТАНДАРТНЫХ И РАЗДЕЛЬНЫХ ИЗМЕРЕНИЙ МЕТОДОМ ЭТ  
ПОЛЕВЫЕ ДАННЫЕ И ИХ СОВОКУПНОСТИ ДЛЯ РАЗНЫХ УСТАНОВОК  
ГЕОМЕТРИЯ МОДЕЛЕЙ ДЛЯ ПОЛУЧЕНИЯ РЕЗУЛЬТАТОВ ДВУМЕРНОЙ ИНВЕРСИИ ДАННЫХ  
РЕЗУЛЬТАТЫ ИНВЕРСИИ ПОЛЕВЫХ ДАННЫХ СТАНДАРТНЫХ И РАЗДЕЛЬНЫХ ИЗМЕРЕНИЙ  
КАЧЕСТВЕННОЕ СРАВНЕНИЕ И КОЛИЧЕСТВЕННАЯ ОЦЕНКА СХОДСТВА МОДЕЛЕЙ  
КОЛИЧЕСТВЕННЫЙ АНАЛИЗ СХОДСТВА ГЕОЭЛЕКТРИЧЕСКИХ МОДЕЛЕЙ  
РЕЗУЛЬТАТЫ ИНВЕРСИИ ПРОРЕЖЕННЫХ ДАННЫХ ТРЕХЭЛЕКТРОДНЫХ УСТАНОВОК  
ВЫБОР ПОСЛЕДОВАТЕЛЬНОСТИ ИЗМЕРЕНИЙ ПО РЕЗУЛЬТАТАМ АНАЛИЗА МОДЕЛЕЙ  
ЗАКЛЮЧЕНИЕ

ФИЛИАЛ МОСКОВСКОГО ГОСУДАРСТВЕННОГО УНИВЕРСИТЕТА  
ИМЕНИ М.В. ЛОМОНОСОВА В ГОРОДЕ ДУШАНБЕ

270 лет МГУ  
1755 2025

15 ФМГУД  
2009 2024

МЕЖДУНАРОДНАЯ НАУЧНО-ПРАКТИЧЕСКАЯ КОНФЕРЕНЦИЯ XIV ЛОМОНОСОВСКИЕ ЧТЕНИЯ «РОЛЬ ФИЛИАЛА  
МОСКОВСКОГО ГОСУДАРСТВЕННОГО УНИВЕРСИТЕТА ИМЕНИ М.В. ЛОМОНОСОВА В ГОРОДЕ ДУШАНБЕ В РАЗВИТИИ  
НАУКИ И ОБРАЗОВАНИЯ»  
22 НОЯБРЯ 2024



БОЛЬШАКОВ ДМИТРИЙ КОНСТАНТИНОВИЧ \*

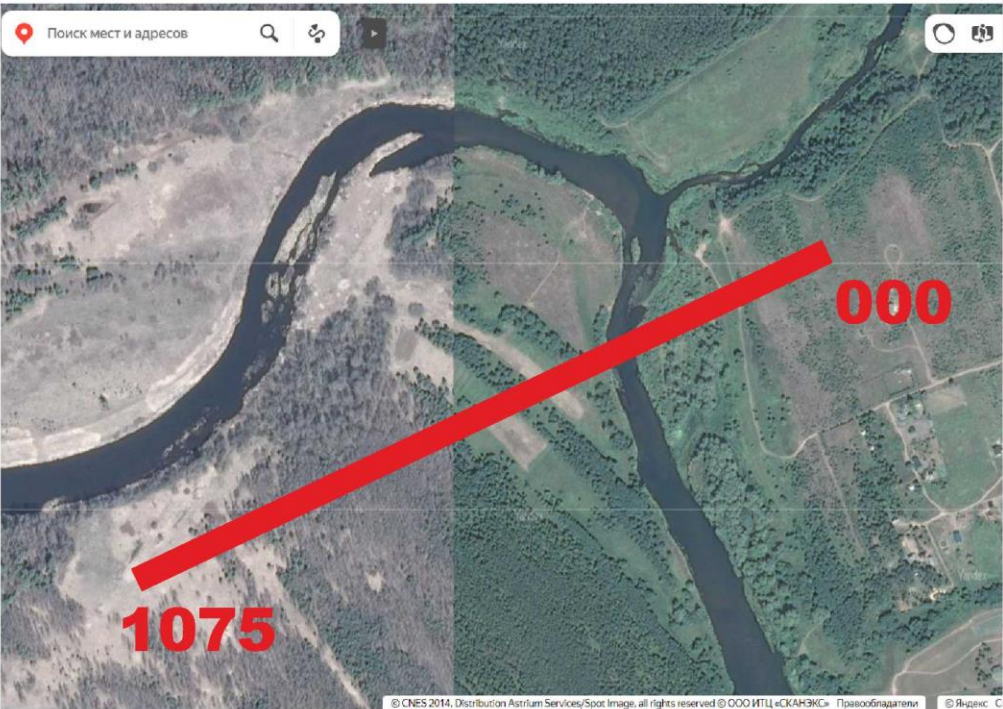
МОДИН ИГОРЬ НИКОЛАЕВИЧ

**ИСПОЛЬЗОВАНИЕ СТАТИСТИЧЕСКИХ АТРИБУТОВ  
ПАРАМЕТРА СХОДСТВА ДЛЯ СРАВНЕНИЯ  
РЕЗУЛЬТАТОВ ПОЛЕВОГО ОПРОБОВАНИЯ  
МЕТОДИК ЭЛЕКТРОТОМОГРАФИИ  
УЧАСТКИ ОПРОБОВАНИЯ УСТАНОВОК И АППАРАТУРА**

ПОСЛЕДОВАТЕЛЬНОСТИ СТАНДАРТНЫХ И РАЗДЕЛЬНЫХ ИЗМЕРЕНИЙ МЕТОДОМ ЭТ  
ПОЛЕВЫЕ ДАННЫЕ И ИХ СОВОКУПНОСТИ ДЛЯ РАЗНЫХ УСТАНОВОК  
ГЕОМЕТРИЯ МОДЕЛЕЙ ДЛЯ ПОЛУЧЕНИЯ РЕЗУЛЬТАТОВ ДВУМЕРНОЙ ИНВЕРСИИ ДАННЫХ  
РЕЗУЛЬТАТЫ ИНВЕРСИИ ПОЛЕВЫХ ДАННЫХ СТАНДАРТНЫХ И РАЗДЕЛЬНЫХ ИЗМЕРЕНИЙ  
КАЧЕСТВЕННОЕ СРАВНЕНИЕ И КОЛИЧЕСТВЕННАЯ ОЦЕНКА СХОДСТВА МОДЕЛЕЙ  
КОЛИЧЕСТВЕННЫЙ АНАЛИЗ СХОДСТВА ГЕОЭЛЕКТРИЧЕСКИХ МОДЕЛЕЙ  
РЕЗУЛЬТАТЫ ИНВЕРСИИ ПРОРЕЖЕННЫХ ДАННЫХ ТРЕХЭЛЕКТРОДНЫХ УСТАНОВОК  
ВЫБОР ПОСЛЕДОВАТЕЛЬНОСТИ ИЗМЕРЕНИЙ ПО РЕЗУЛЬТАТАМ АНАЛИЗА МОДЕЛЕЙ  
ЗАКЛЮЧЕНИЕ

## УЧАСТКИ ОПРОБОВАНИЯ И АППАРАТУРА

**AL23 ПР УГРА 1075м (dx=5м)**



(9 СЕГМ. 216 ЭЛ.)  
ОМЕГА 48M2

**VLG23 ПР1 382м (dx=2м)**



(8 СЕГМ. 192 ЭЛ.)  
ОМЕГА 48M

ФИЛИАЛ МОСКОВСКОГО ГОСУДАРСТВЕННОГО УНИВЕРСИТЕТА  
ИМЕНИ М.В. ЛОМОНОСОВА В ГОРОДЕ ДУШАНБЕ

270 лет МГУ  
1755 2025

15 ФМГУД  
2009 2024

МЕЖДУНАРОДНАЯ НАУЧНО-ПРАКТИЧЕСКАЯ КОНФЕРЕНЦИЯ XIV ЛОМОНОСОВСКИЕ ЧТЕНИЯ «РОЛЬ ФИЛИАЛА  
МОСКОВСКОГО ГОСУДАРСТВЕННОГО УНИВЕРСИТЕТА ИМЕНИ М.В. ЛОМОНОСОВА В ГОРОДЕ ДУШАНБЕ В РАЗВИТИИ  
НАУКИ И ОБРАЗОВАНИЯ»

22 НОЯБРЯ 2024



БОЛЬШАКОВ ДМИТРИЙ КОНСТАНТИНОВИЧ \*

МОДИН ИГОРЬ НИКОЛАЕВИЧ

**ИСПОЛЬЗОВАНИЕ СТАТИСТИЧЕСКИХ АТРИБУТОВ  
ПАРАМЕТРА СХОДСТВА ДЛЯ СРАВНЕНИЯ  
РЕЗУЛЬТАТОВ ПОЛЕВОГО ОПРОБОВАНИЯ  
МЕТОДИК ЭЛЕКТРОТОМОГРАФИИ**

УЧАСТКИ ПОЛЕВОГО ОПРОБОВАНИЯ УСТАНОВОК И АППАРАТУРА ДЛЯ ВЫПОЛНЕНИЯ РАБОТ  
**ПОСЛЕДОВАТЕЛЬНОСТИ ИЗМЕРЕНИЙ МЕТОДОМ ЭТ**

ПОЛЕВЫЕ ДАННЫЕ И ИХ СОВОКУПНОСТИ ДЛЯ РАЗНЫХ УСТАНОВОК

ГЕОМЕТРИЯ МОДЕЛЕЙ ДЛЯ ПОЛУЧЕНИЯ РЕЗУЛЬТАТОВ ДВУМЕРНОЙ ИНВЕРСИИ ДАННЫХ

РЕЗУЛЬТАТЫ ИНВЕРСИИ ПОЛЕВЫХ ДАННЫХ СТАНДАРТНЫХ И РАЗДЕЛЬНЫХ ИЗМЕРЕНИЙ

КАЧЕСТВЕННОЕ СРАВНЕНИЕ И КОЛИЧЕСТВЕННАЯ ОЦЕНКА СХОДСТВА МОДЕЛЕЙ

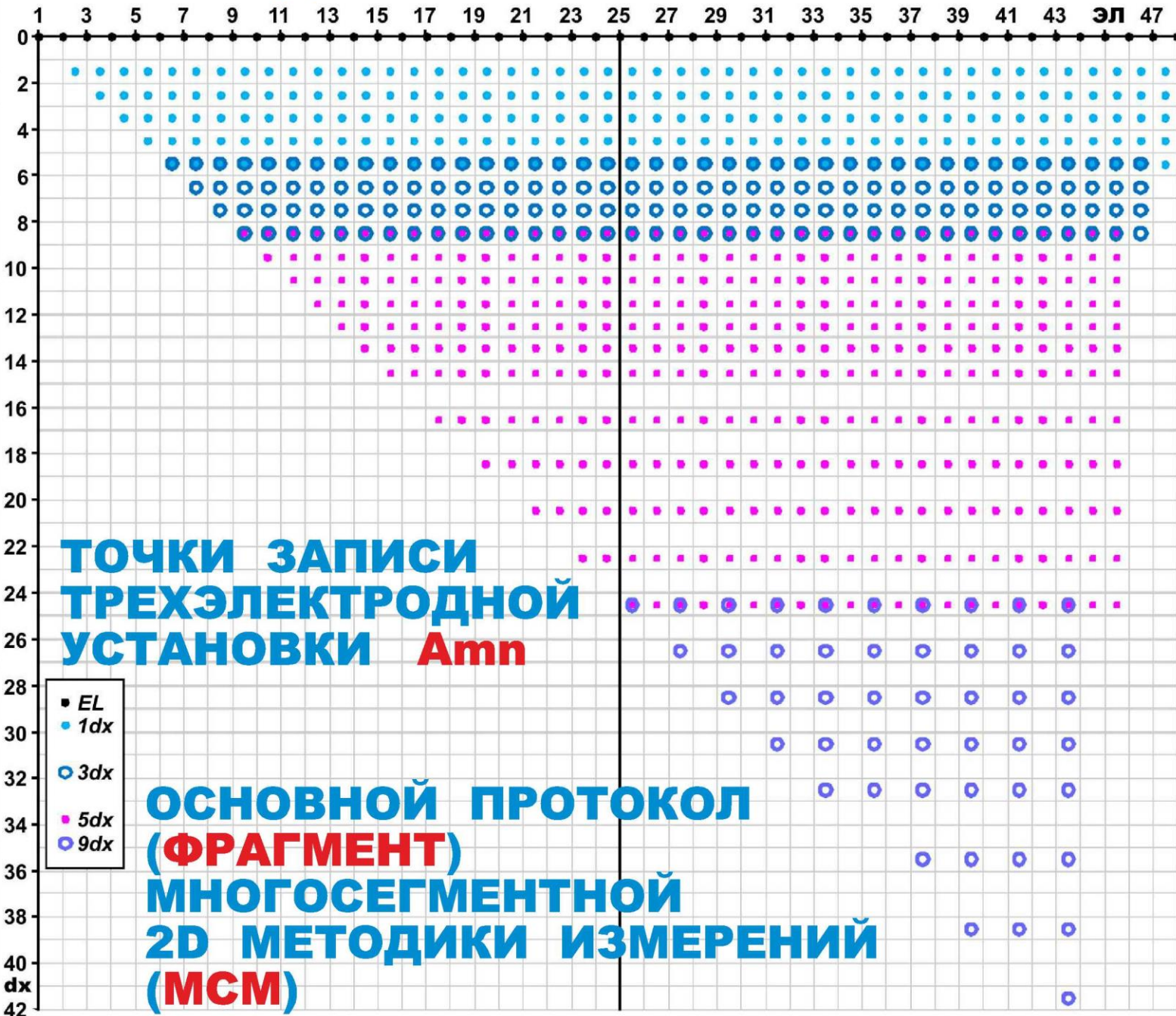
КОЛИЧЕСТВЕННЫЙ АНАЛИЗ СХОДСТВА ГЕОЭЛЕКТРИЧЕСКИХ МОДЕЛЕЙ

РЕЗУЛЬТАТЫ ИНВЕРСИИ ПРОРЕЖЕННЫХ ДАННЫХ ТРЕХЭЛЕКТРОДНЫХ УСТАНОВОК

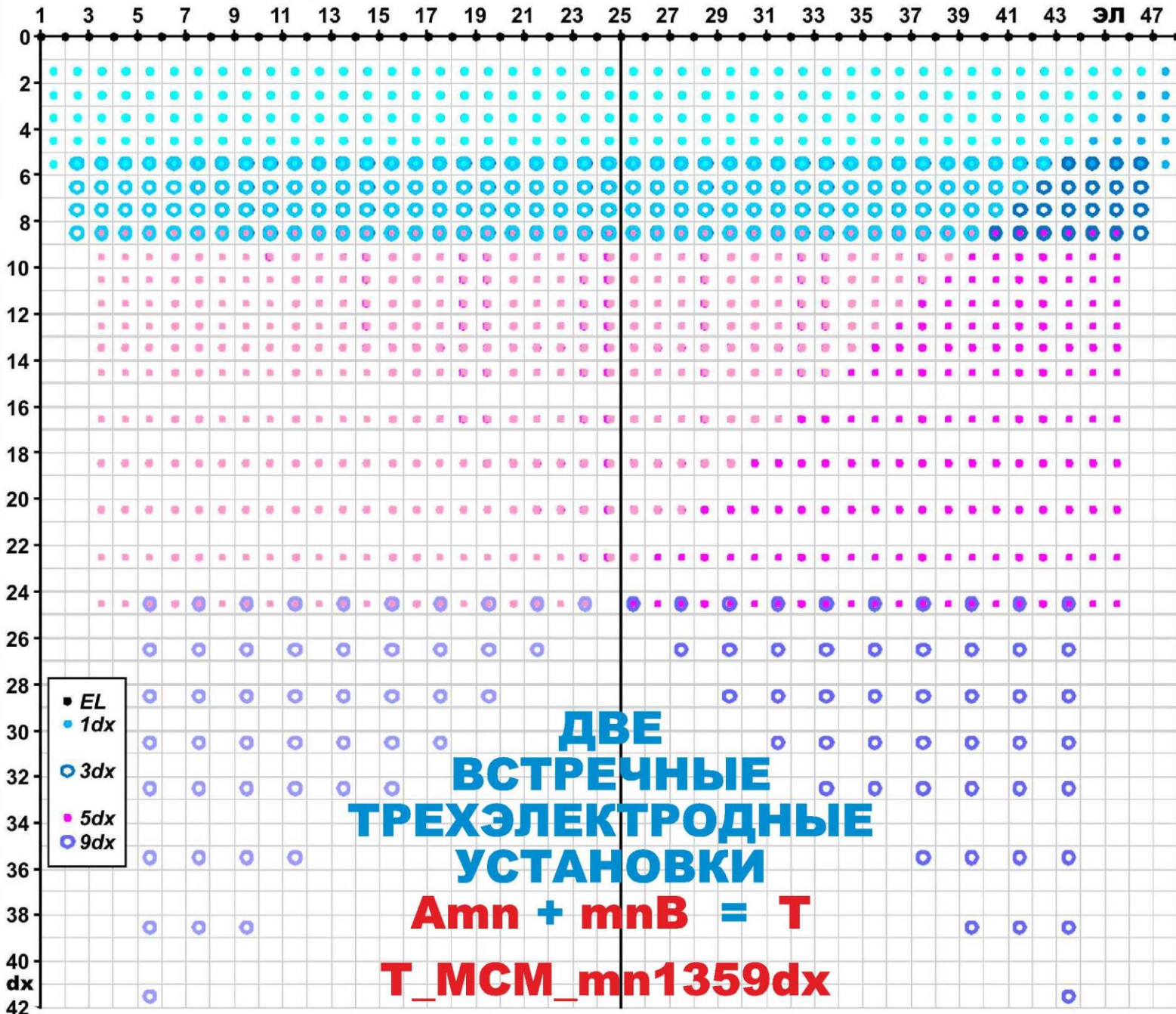
ВЫБОР ПОСЛЕДОВАТЕЛЬНОСТИ ИЗМЕРЕНИЙ ПО РЕЗУЛЬТАТАМ АНАЛИЗА МОДЕЛЕЙ

ЗАКЛЮЧЕНИЕ

# ПОСЛЕДОВАТЕЛЬНОСТИ ИЗМЕРЕНИЙ



# ПОСЛЕДОВАТЕЛЬНОСТИ ИЗМЕРЕНИЙ



# ПОСЛЕДОВАТЕЛЬНОСТИ ИЗМЕРЕНИЙ

T\_MCM\_mn1359dx

**T**

СТАНДАРТНЫЕ

**T**  
T\_mn1dx

T\_mn2dx

T\_mn5dx

T\_mn8dx

**S**

S\_mn1dx

S\_mn2dx

S\_mn3dx

W(1-15)dx

РАЗДЕЛЬНЫЕ

**D**

D\_mn1dx

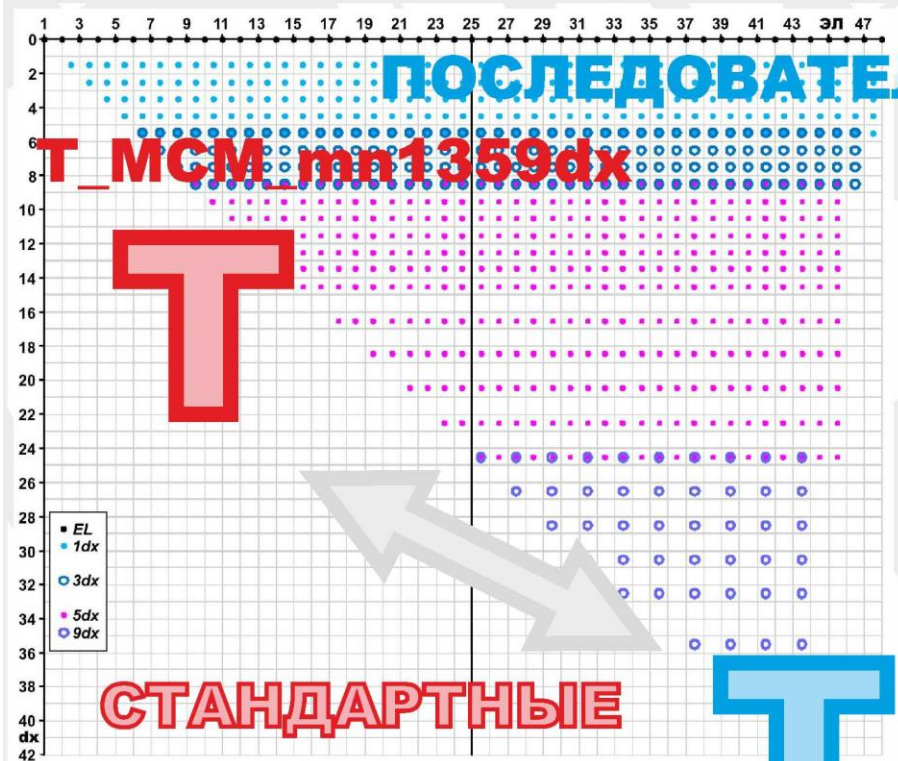
D\_mn2dx

D\_mn3dx

D\_mn4dx

D\_mn5dx

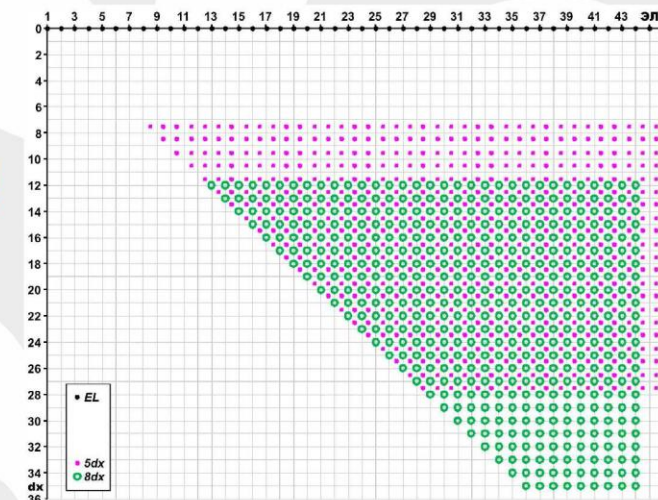
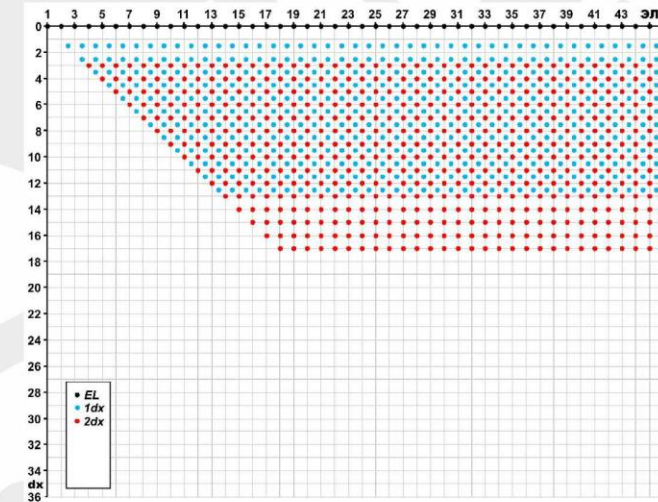
D\_mn8dx



**T\_mn1dx**  
**T\_mn2dx**

**T\_mn5dx**  
**T\_mn8dx**

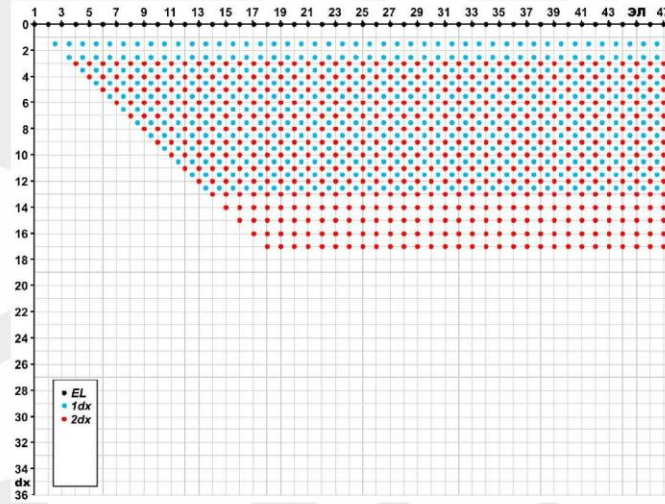
**РАЗДЕЛЬНЫЕ**



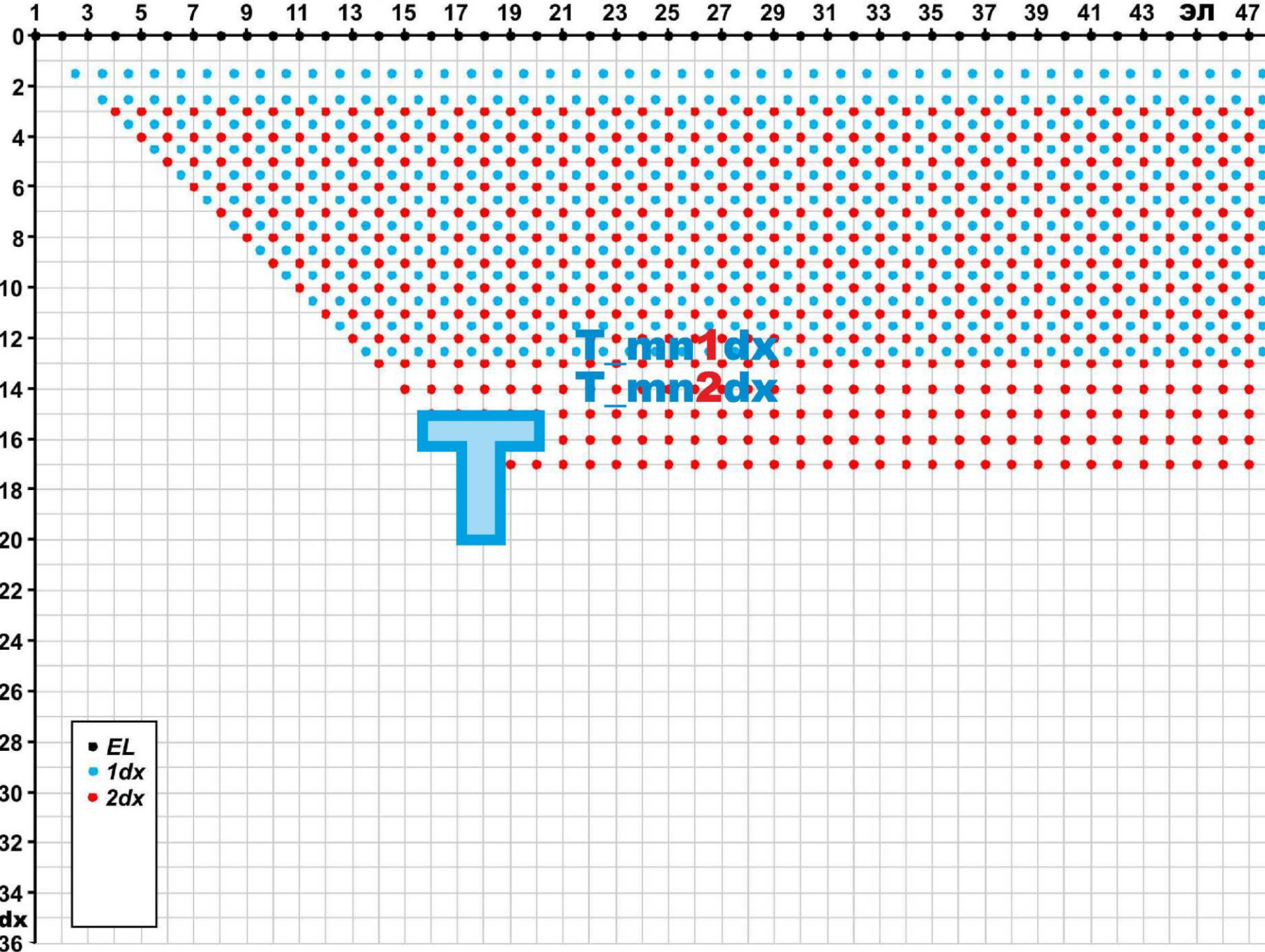
# ПОСЛЕДОВАТЕЛЬНОСТИ ИЗМЕРЕНИЙ

Т

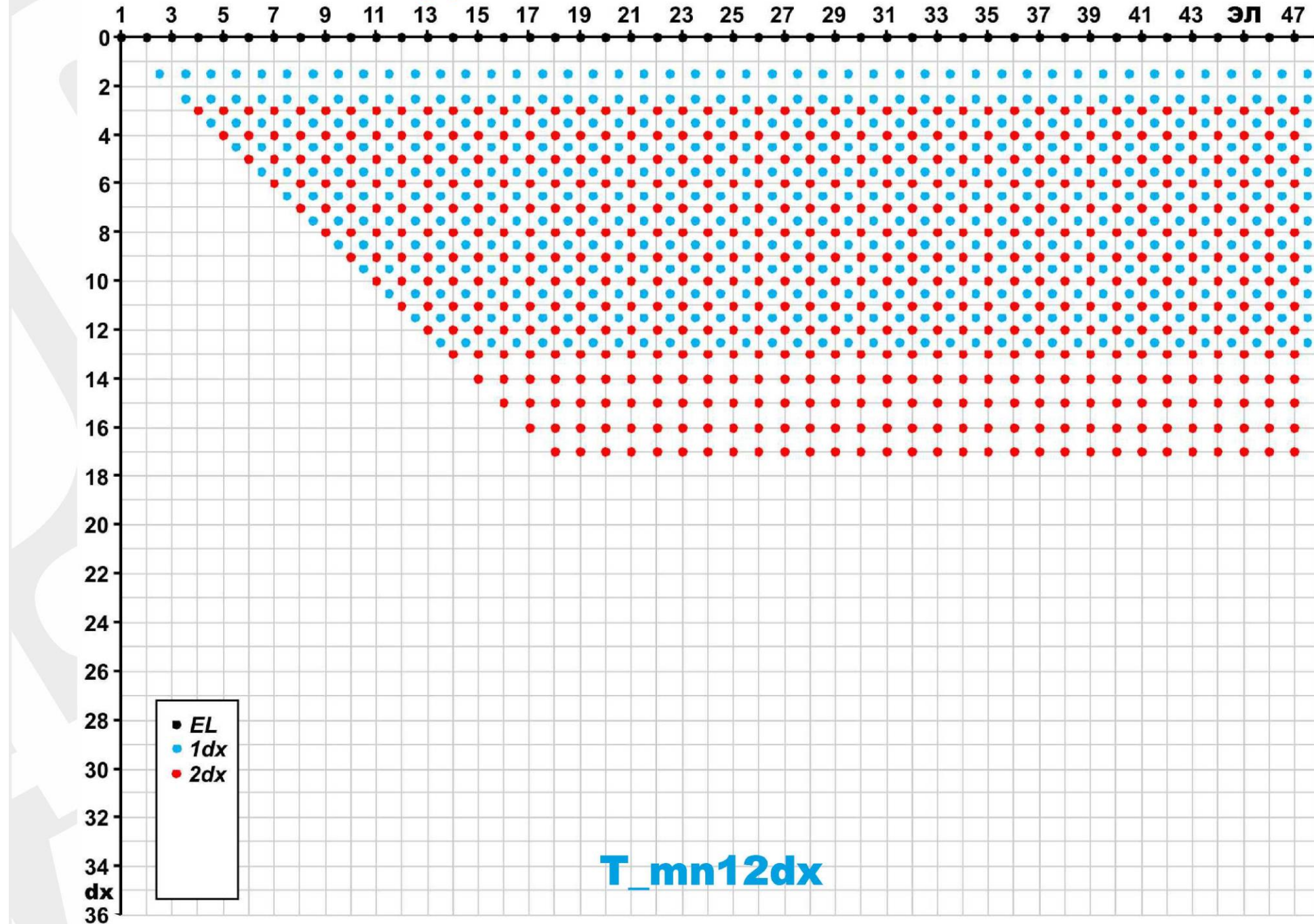
T\_mn1dx  
T\_mn2dx



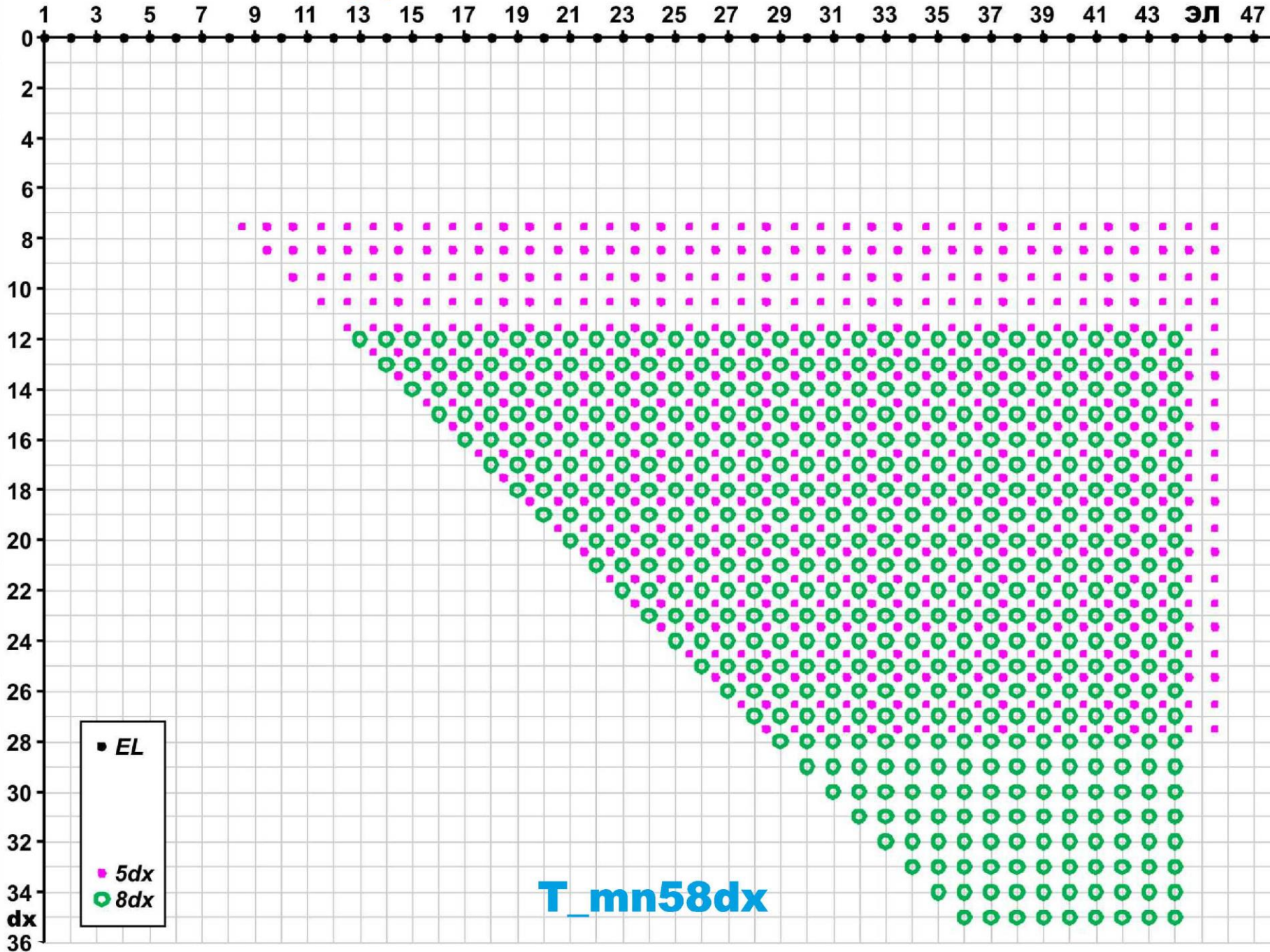
# ПОСЛЕДОВАТЕЛЬНОСТИ ИЗМЕРЕНИЙ



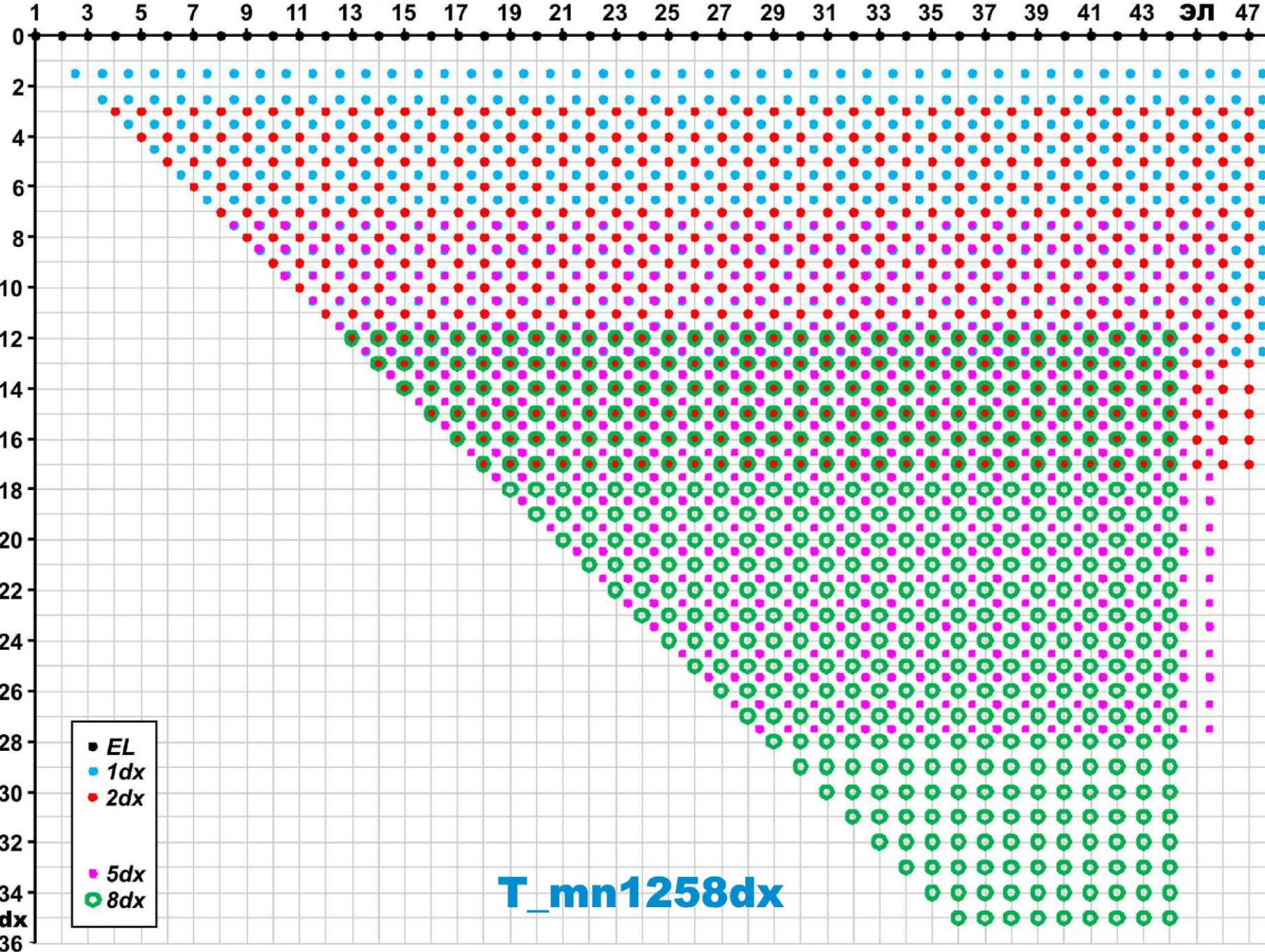
# ПОСЛЕДОВАТЕЛЬНОСТИ ИЗМЕРЕНИЙ



# ПОСЛЕДОВАТЕЛЬНОСТИ ИЗМЕРЕНИЙ

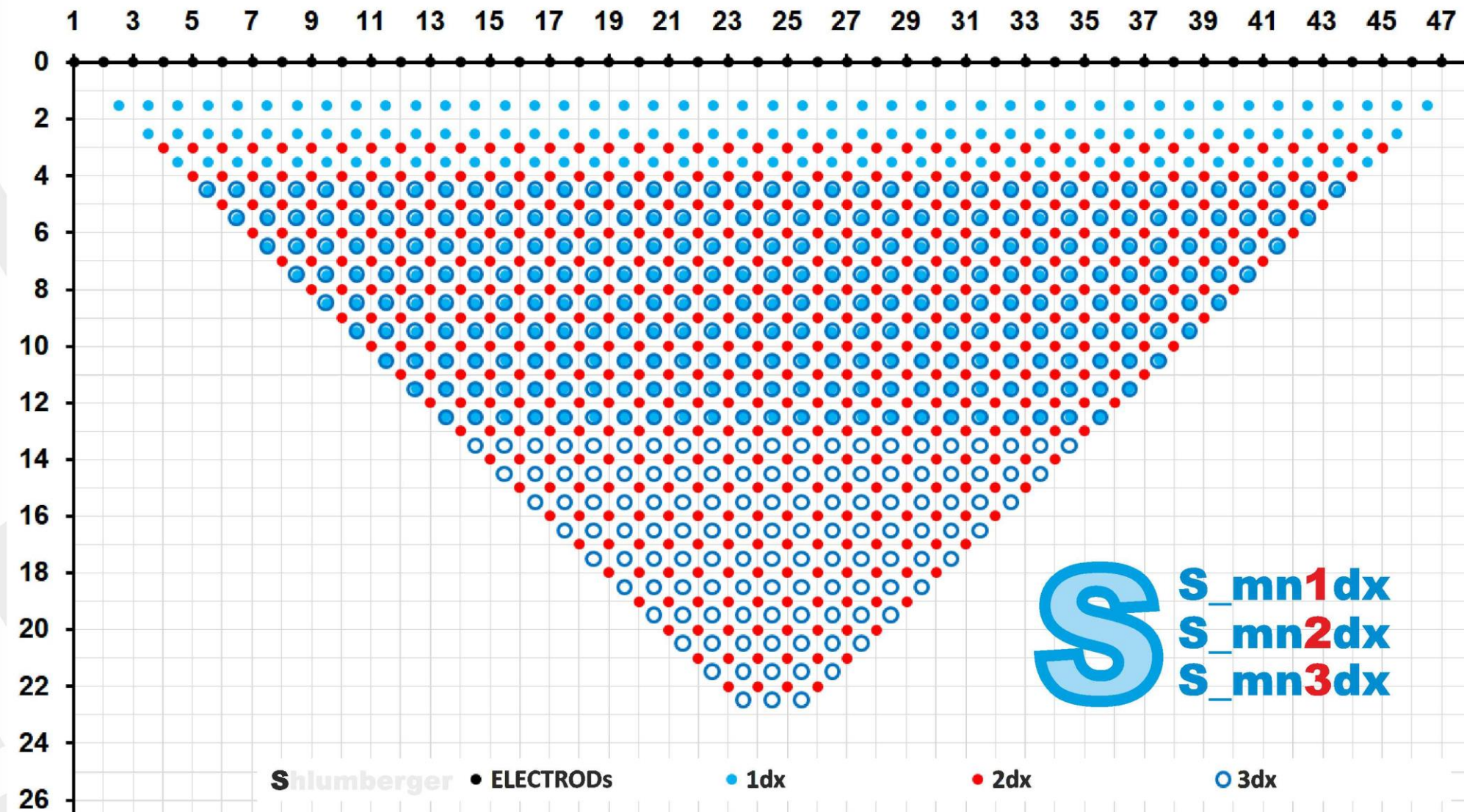


# ПОСЛЕДОВАТЕЛЬНОСТИ ИЗМЕРЕНИЙ



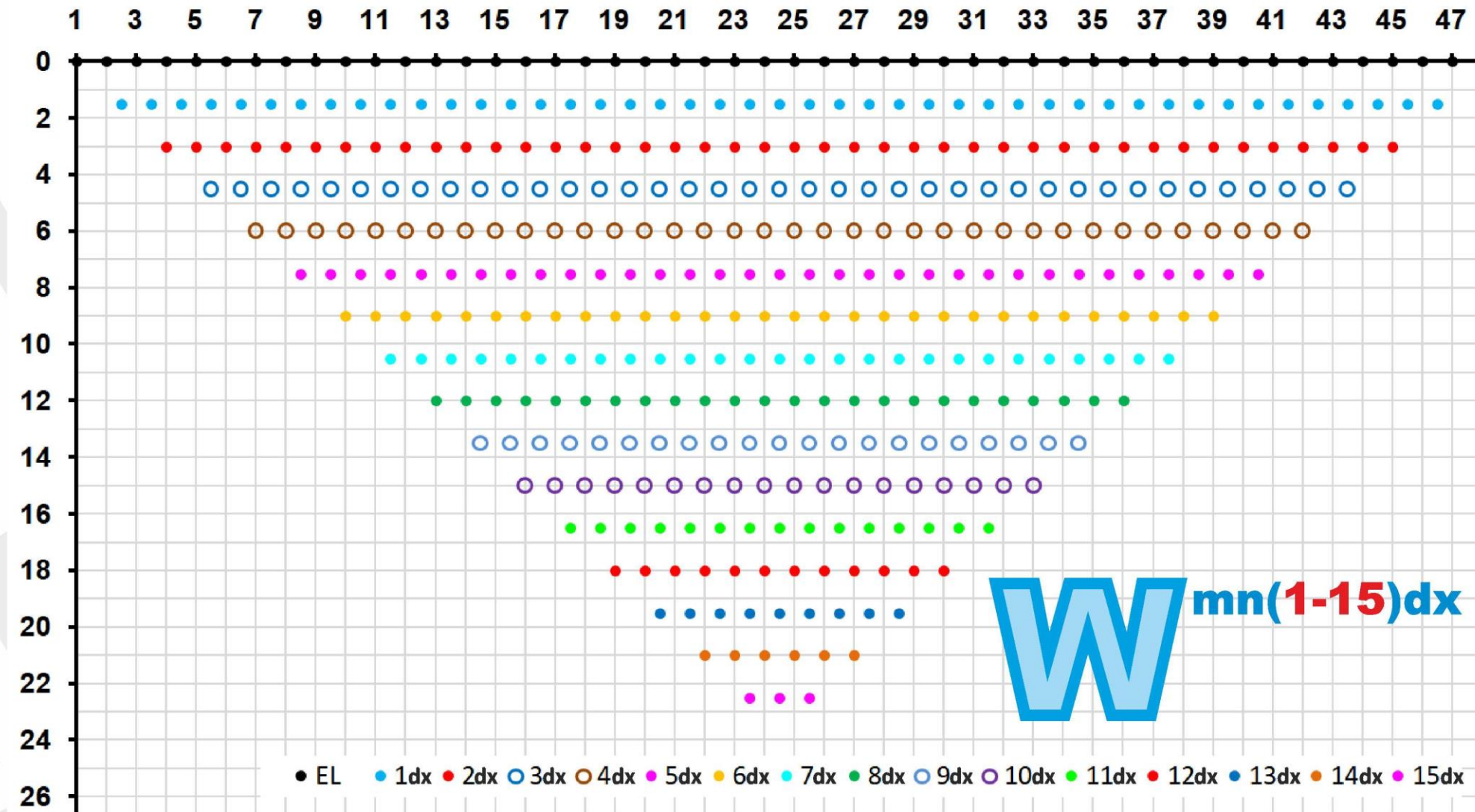
$T_{mn1258dx}$

# ПОСЛЕДОВАТЕЛЬНОСТИ ИЗМЕРЕНИЙ



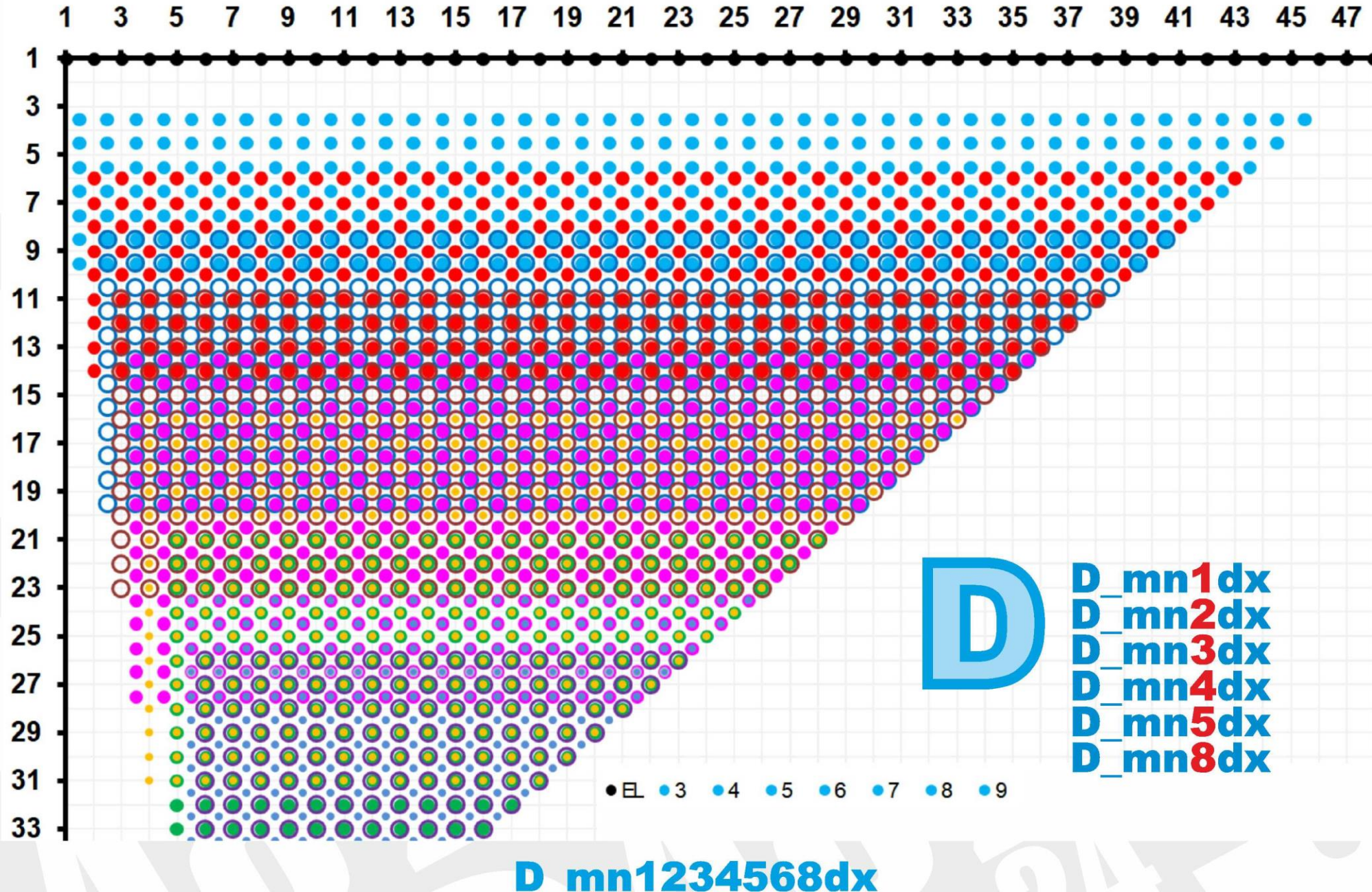
**S\_mn123dx**

# ПОСЛЕДОВАТЕЛЬНОСТИ ИЗМЕРЕНИЙ



**W\_mn(1-15)dx**

# ПОСЛЕДОВАТЕЛЬНОСТИ ИЗМЕРЕНИЙ



## ПОСЛЕДОВАТЕЛЬНОСТИ ИЗМЕРЕНИЙ

T\_mn1dx  
T\_mn2dx  
T\_mn5dx  
T\_mn8dx

T

S\_mn1dx  
S\_mn2dx  
S\_mn3dx

S

T\_MCM\_mn1359dx

T

W

mn(1-15)dx

D

D\_mn1dx  
D\_mn2dx  
D\_mn3dx  
D\_mn4dx  
D\_mn5dx  
D\_mn8dx

# Куст < 5000 м

T\_mn1258dx

T

T\_mn125dx  
T\_mn258dx  
T\_mn158dx  
T\_mn128dx  
T\_mn18dx  
T\_mn28dx  
T\_mn12dx  
T\_mn15dx

S\_mn123dx

S

D\_mn1258dx

D

D\_mn135dx  
D\_mn248dx  
D\_mn125dx  
D\_mn128dx  
D\_mn18dx  
D\_mn28dx  
D\_mn12dx  
D\_mn15dx

ФИЛИАЛ МОСКОВСКОГО ГОСУДАРСТВЕННОГО УНИВЕРСИТЕТА  
ИМЕНИ М.В. ЛОМОНОСОВА В ГОРОДЕ ДУШАНБЕ

270 лет МГУ  
1755 2025

15 ФМГУД  
2009 2024

МЕЖДУНАРОДНАЯ НАУЧНО-ПРАКТИЧЕСКАЯ КОНФЕРЕНЦИЯ XIV ЛОМОНОСОВСКИЕ ЧТЕНИЯ «РОЛЬ ФИЛИАЛА  
МОСКОВСКОГО ГОСУДАРСТВЕННОГО УНИВЕРСИТЕТА ИМЕНИ М.В. ЛОМОНОСОВА В ГОРОДЕ ДУШАНБЕ В РАЗВИТИИ  
НАУКИ И ОБРАЗОВАНИЯ»

22 НОЯБРЯ 2024



БОЛЬШАКОВ ДМИТРИЙ КОНСТАНТИНОВИЧ \*

МОДИН ИГОРЬ НИКОЛАЕВИЧ

**ИСПОЛЬЗОВАНИЕ СТАТИСТИЧЕСКИХ АТРИБУТОВ  
ПАРАМЕТРА СХОДСТВА ДЛЯ СРАВНЕНИЯ  
РЕЗУЛЬТАТОВ ПОЛЕВОГО ОПРОБОВАНИЯ  
МЕТОДИК ЭЛЕКТРОТОМОГРАФИИ**

УЧАСТКИ ПОЛЕВОГО ОПРОБОВАНИЯ УСТАНОВОК И АППАРАТУРА ДЛЯ ВЫПОЛНЕНИЯ РАБОТ  
ПОСЛЕДОВАТЕЛЬНОСТИ СТАНДАРТНЫХ И РАЗДЕЛЬНЫХ ИЗМЕРЕНИЙ МЕТОДОМ ЭТ  
**ПОЛЕВЫЕ ДАННЫЕ И ИХ СОВОКУПНОСТИ**

ГЕОМЕТРИЯ МОДЕЛЕЙ ДЛЯ ПОЛУЧЕНИЯ РЕЗУЛЬТАТОВ ДВУМЕРНОЙ ИНВЕРСИИ ДАННЫХ  
РЕЗУЛЬТАТЫ ИНВЕРСИИ ПОЛЕВЫХ ДАННЫХ СТАНДАРТНЫХ И РАЗДЕЛЬНЫХ ИЗМЕРЕНИЙ  
КАЧЕСТВЕННОЕ СРАВНЕНИЕ И КОЛИЧЕСТВЕННАЯ ОЦЕНКА СХОДСТВА МОДЕЛЕЙ

КОЛИЧЕСТВЕННЫЙ АНАЛИЗ СХОДСТВА ГЕОЭЛЕКТРИЧЕСКИХ МОДЕЛЕЙ

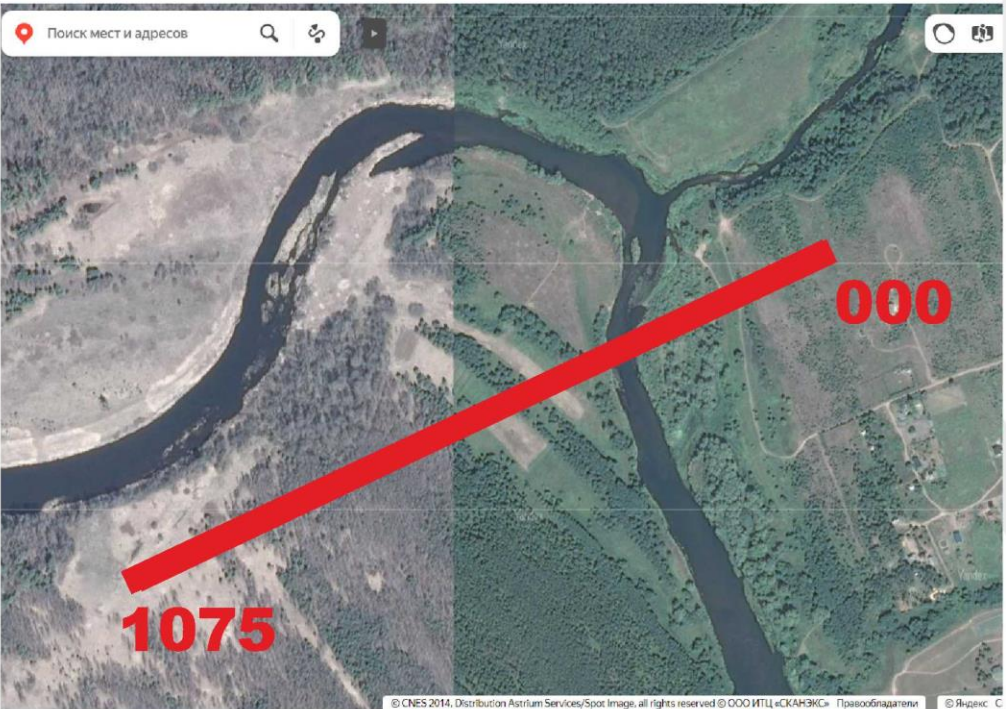
РЕЗУЛЬТАТЫ ИНВЕРСИИ ПРОРЕЖЕННЫХ ДАННЫХ ТРЕХЭЛЕКТРОДНЫХ УСТАНОВОК

ВЫБОР ПОСЛЕДОВАТЕЛЬНОСТИ ИЗМЕРЕНИЙ ПО РЕЗУЛЬТАТАМ АНАЛИЗА МОДЕЛЕЙ

ЗАКЛЮЧЕНИЕ

# ОРИЕНТАЦИЯ ПРОФИЛЕЙ НАБЛЮДЕНИЯ

**AL23 ПР УГРА 1075м (dx=5м)**



(9 СЕГМ. 216 ЭЛ.)  
**ОМЕГА 48M2**

**VLG23 ПР1 382м (dx=2м)**



(8 СЕГМ. 192 ЭЛ.)  
**ОМЕГА 48M**

## ОРИЕНТАЦИЯ ПРОФИЛЕЙ НАБЛЮДЕНИЯ

**AL23 ПР УГРА 1075м (dx=5м)**  
**(9 СЕГМ. 216 ЭЛ.)**  
**ОМЕГА 48M2**

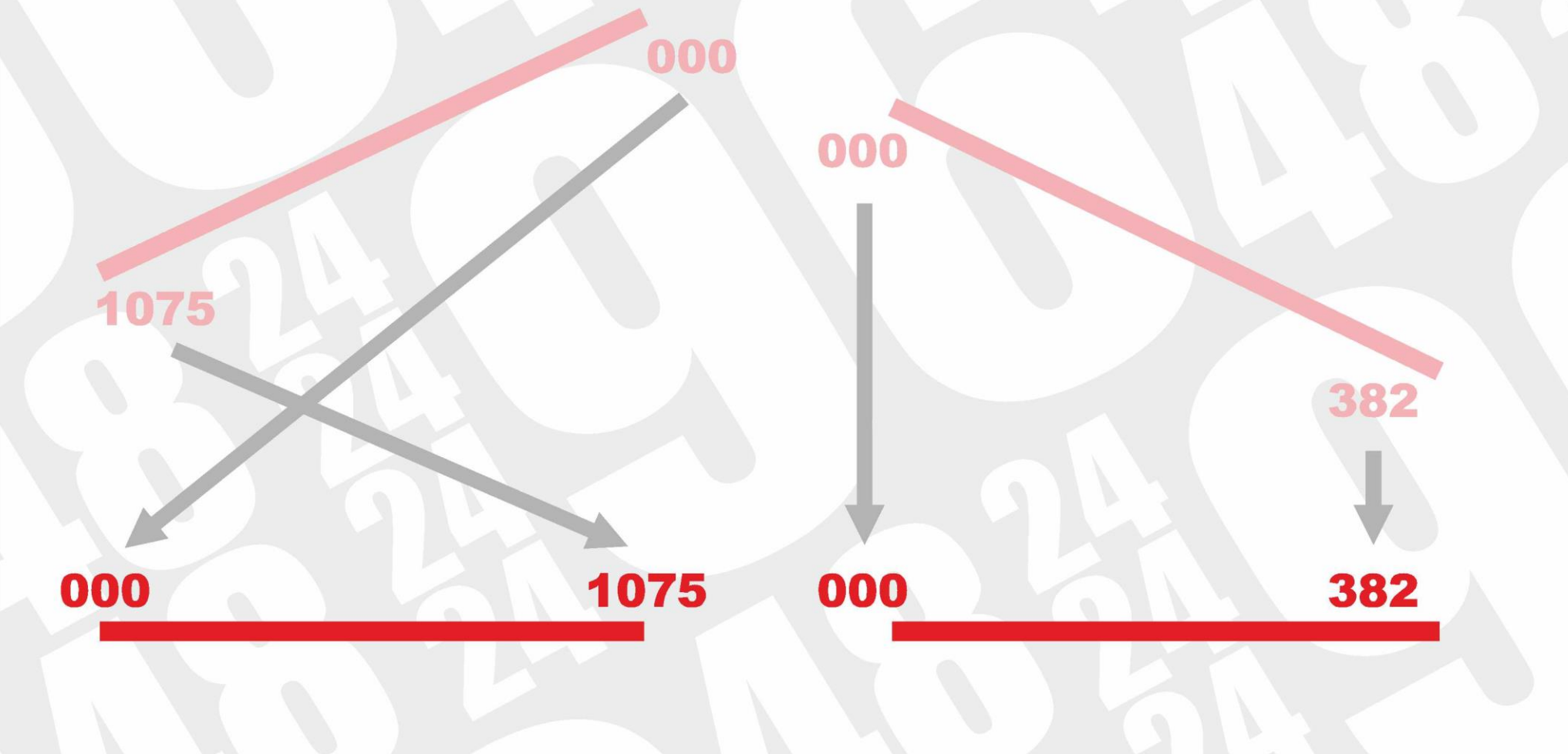
**VLG23 ПР1 382м (dx=2м)**  
**(8 СЕГМ. 192 ЭЛ.)**  
**ОМЕГА 48M**



## ОРИЕНТАЦИЯ ПРОФИЛЕЙ НАБЛЮДЕНИЯ

**AL23 ПР УГРА 1075м (dx=5м)**  
**(9 СЕГМ. 216 ЭЛ.)**  
**ОМЕГА 48M2**

**VLG23 ПР1 382м (dx=2м)**  
**(8 СЕГМ. 192 ЭЛ.)**  
**ОМЕГА 48M**



## ОРИЕНТАЦИЯ ПРОФИЛЕЙ НАБЛЮДЕНИЯ

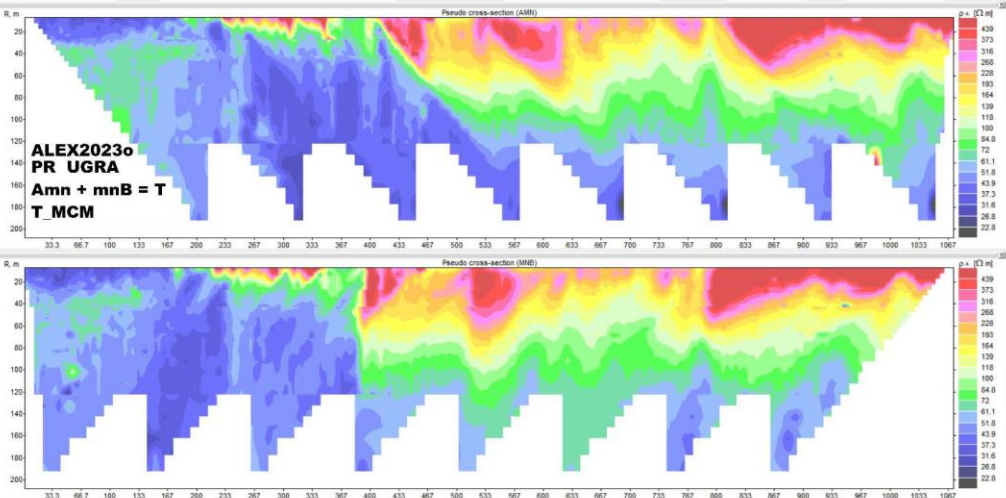
**AL23 ПР УГРА 1075м (dx=5м)**  
**(9 СЕГМ. 216 ЭЛ.)**

**VLG23 ПР1 382м (dx=2м)**  
**(8 СЕГМ. 192 ЭЛ.)**

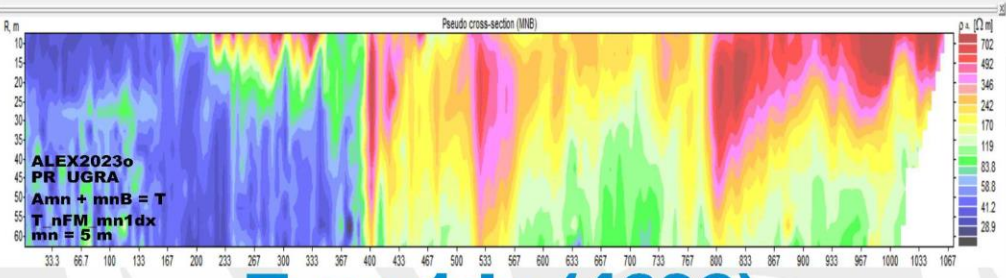
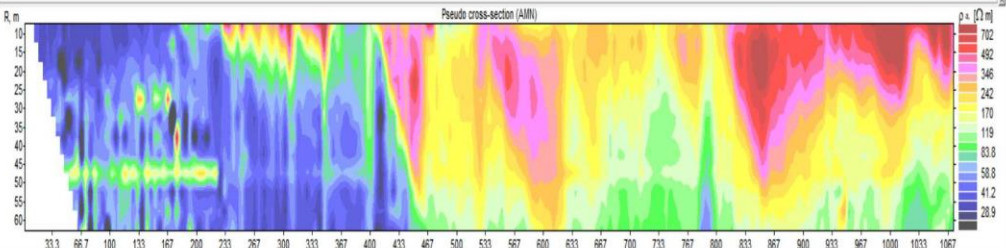


# ПОЛЕВЫЕ ДАННЫЕ И ИХ СОВОКУПНОСТИ

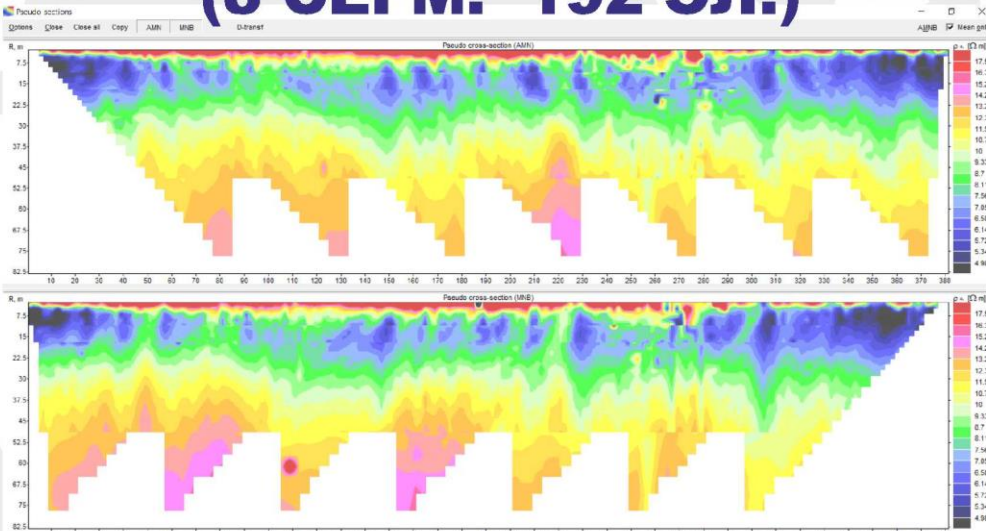
**AL23 ПР УГРА 1075м (dx=5м)  
(9 СЕГМ. 216 ЭЛ.)**



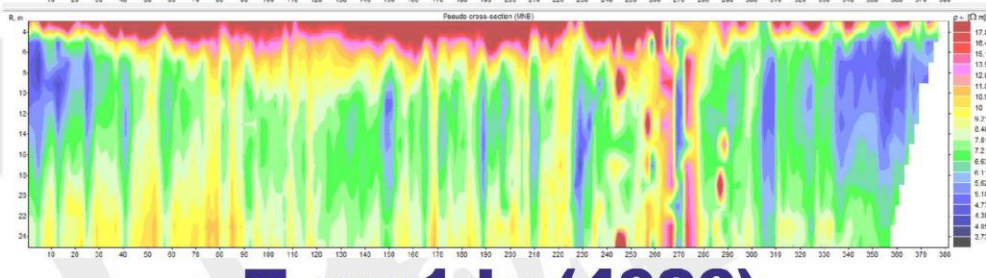
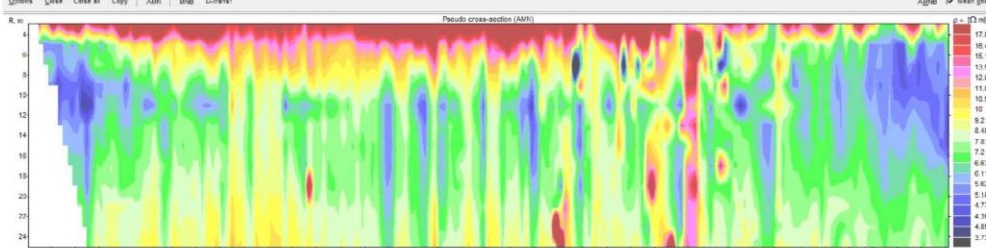
**T\_MCM\_mn1359dx (8406)**



**VLG23 ПР1 382м (dx=2м)  
(8 СЕГМ. 192 ЭЛ.)**

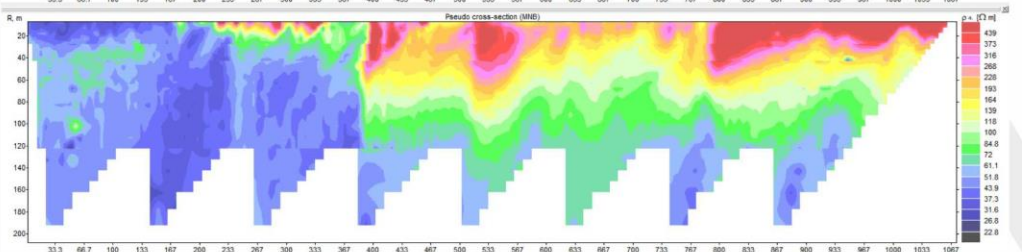
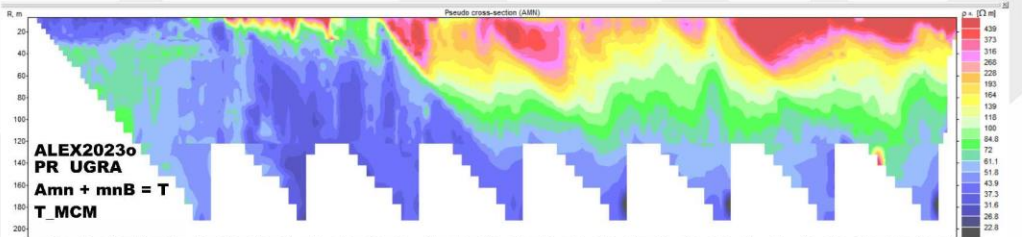


**T\_MCM\_mn1359dx (7611)**

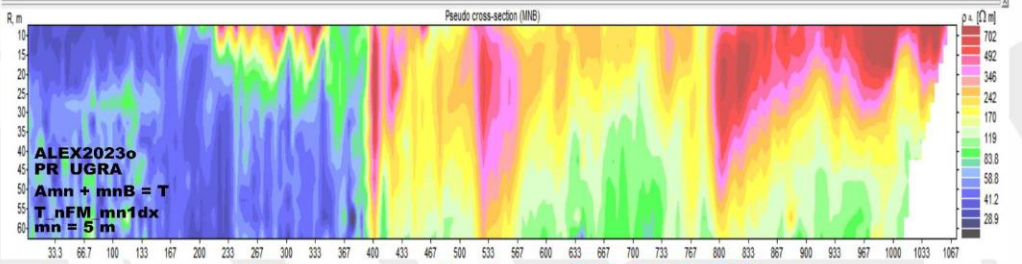
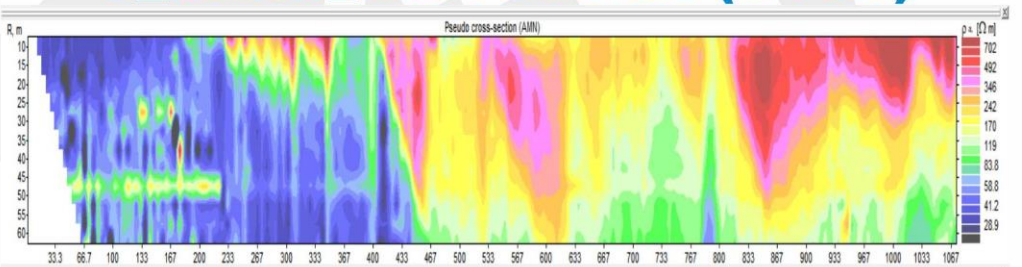


# ПОЛЕВЫЕ ДАННЫЕ И ИХ СОВОКУПНОСТИ

**AL23 ПР УГРА 1075м (dx=5м)  
(9 СЕГМ. 216 ЭЛ.)**



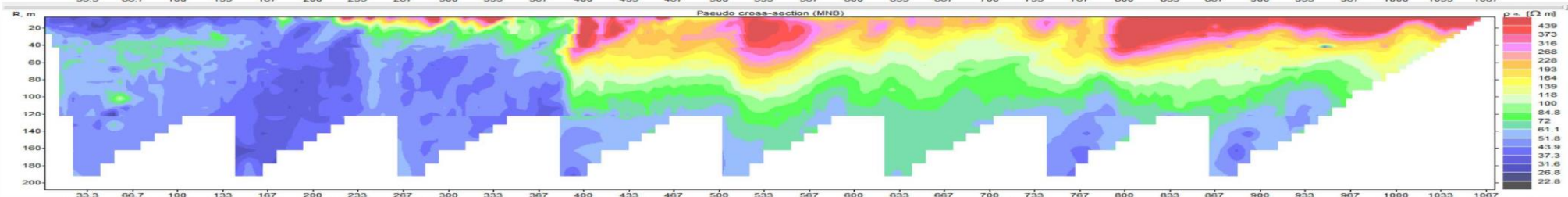
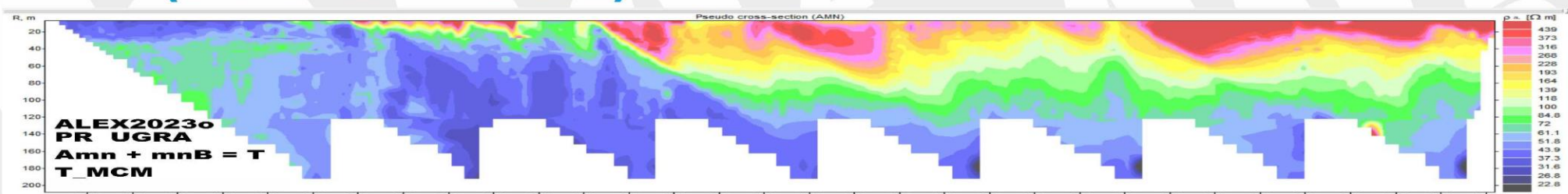
**T\_MCM\_mn1359dx (8406)**



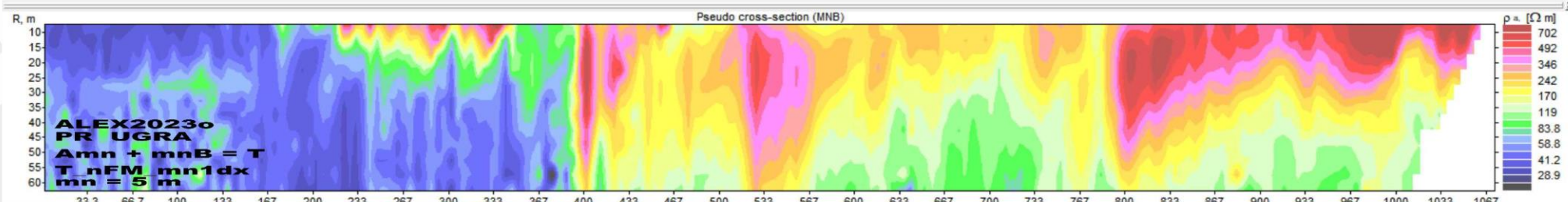
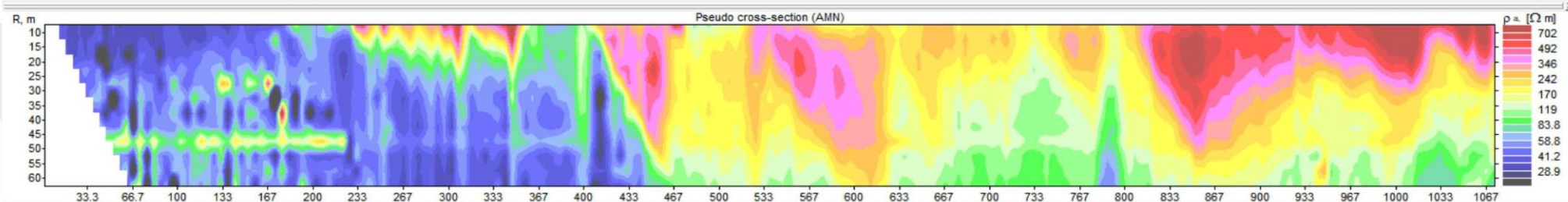
**T\_mn1dx (4698)**

# ПОЛЕВЫЕ ДАННЫЕ И ИХ СОВОКУПНОСТИ

**AL23 ПР УГРА 1075м (dx=5м)  
(9 СЕГМ. 216 ЭЛ.)**



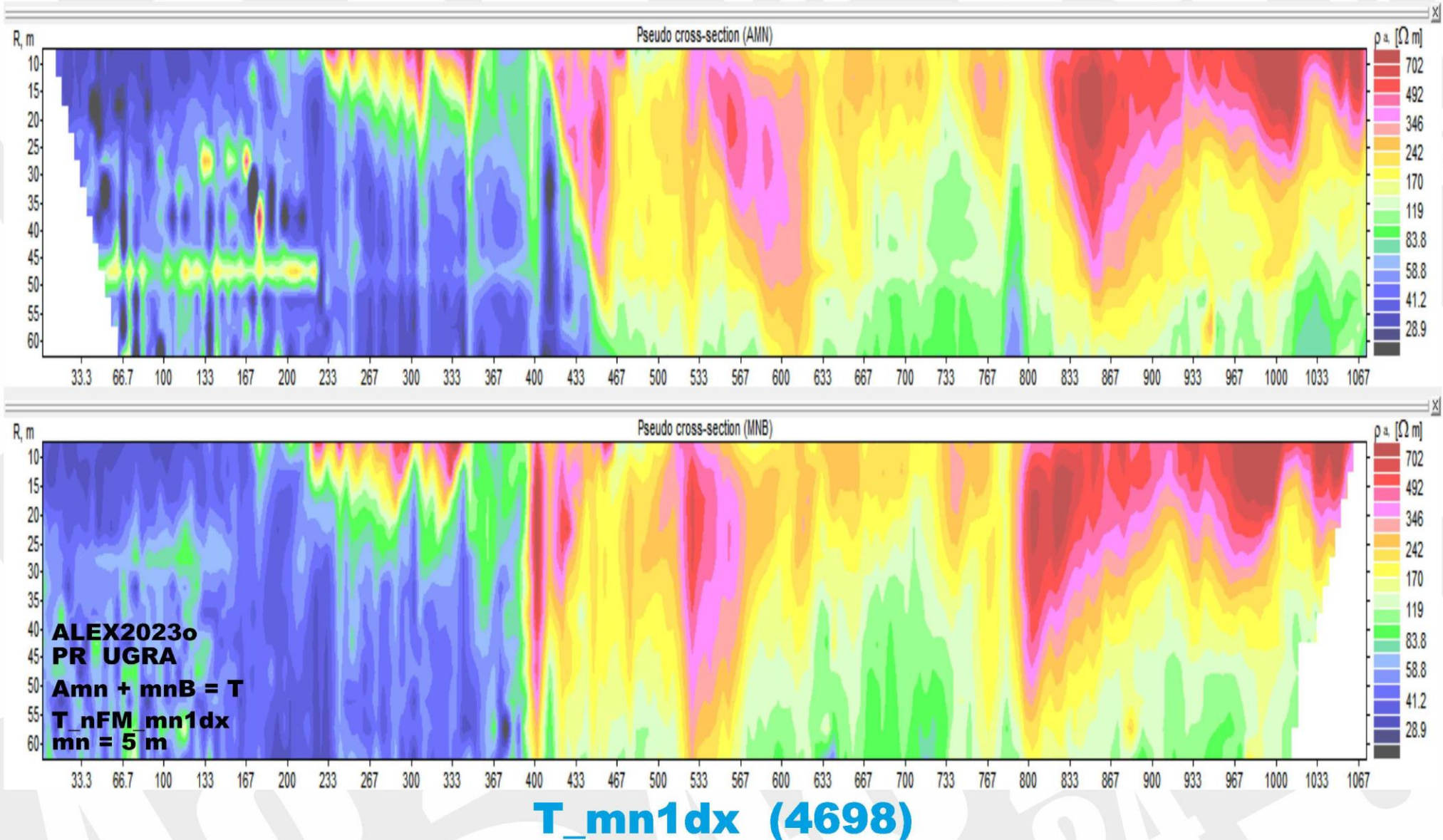
**T\_MCM\_mn1359dx (8406)**



**T\_mn1dx (4698)**

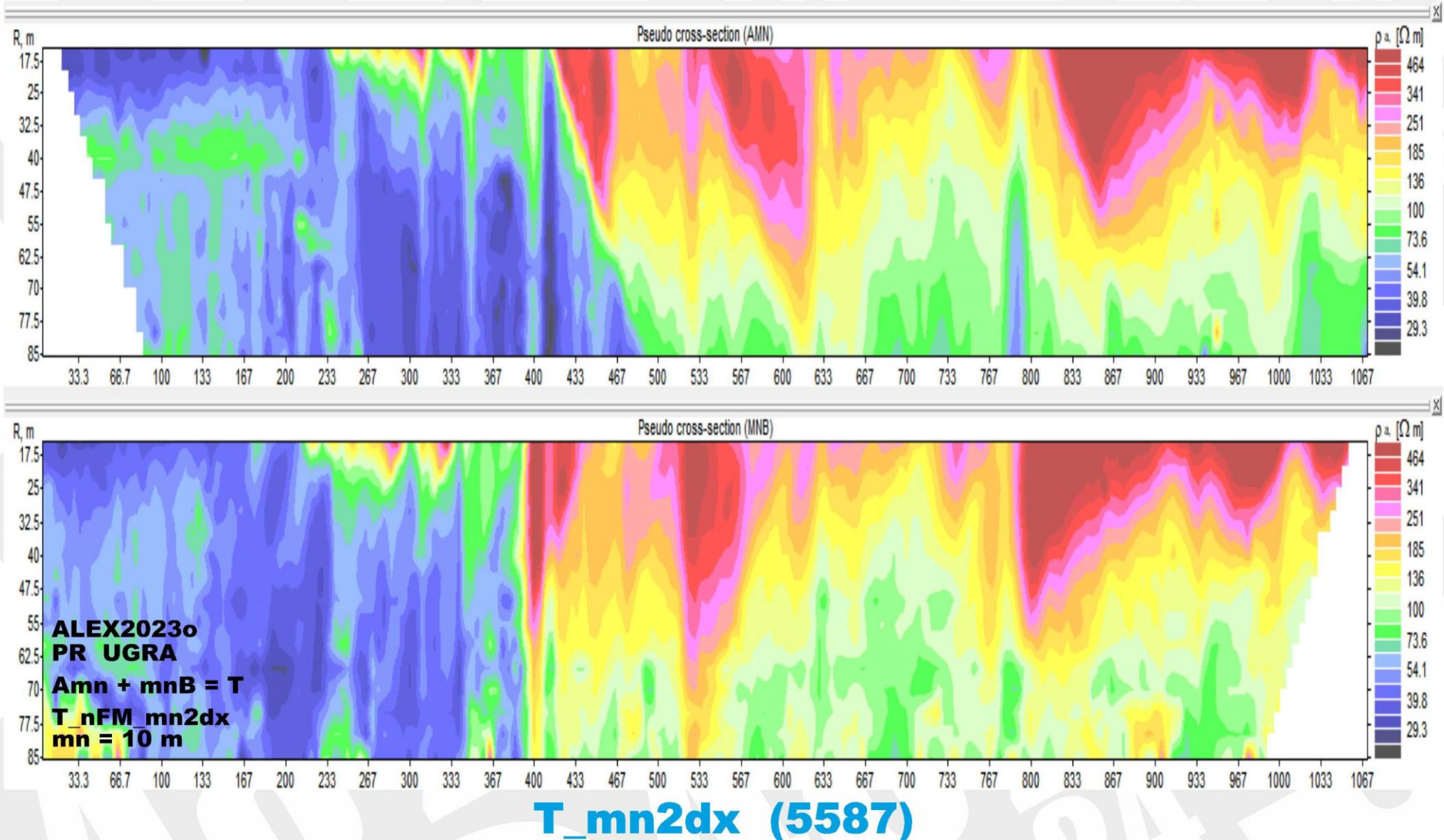
# ПОЛЕВЫЕ ДАННЫЕ И ИХ СОВОКУПНОСТИ

ALEX\_2023 ПР УГРА 1075м (dx=5м)



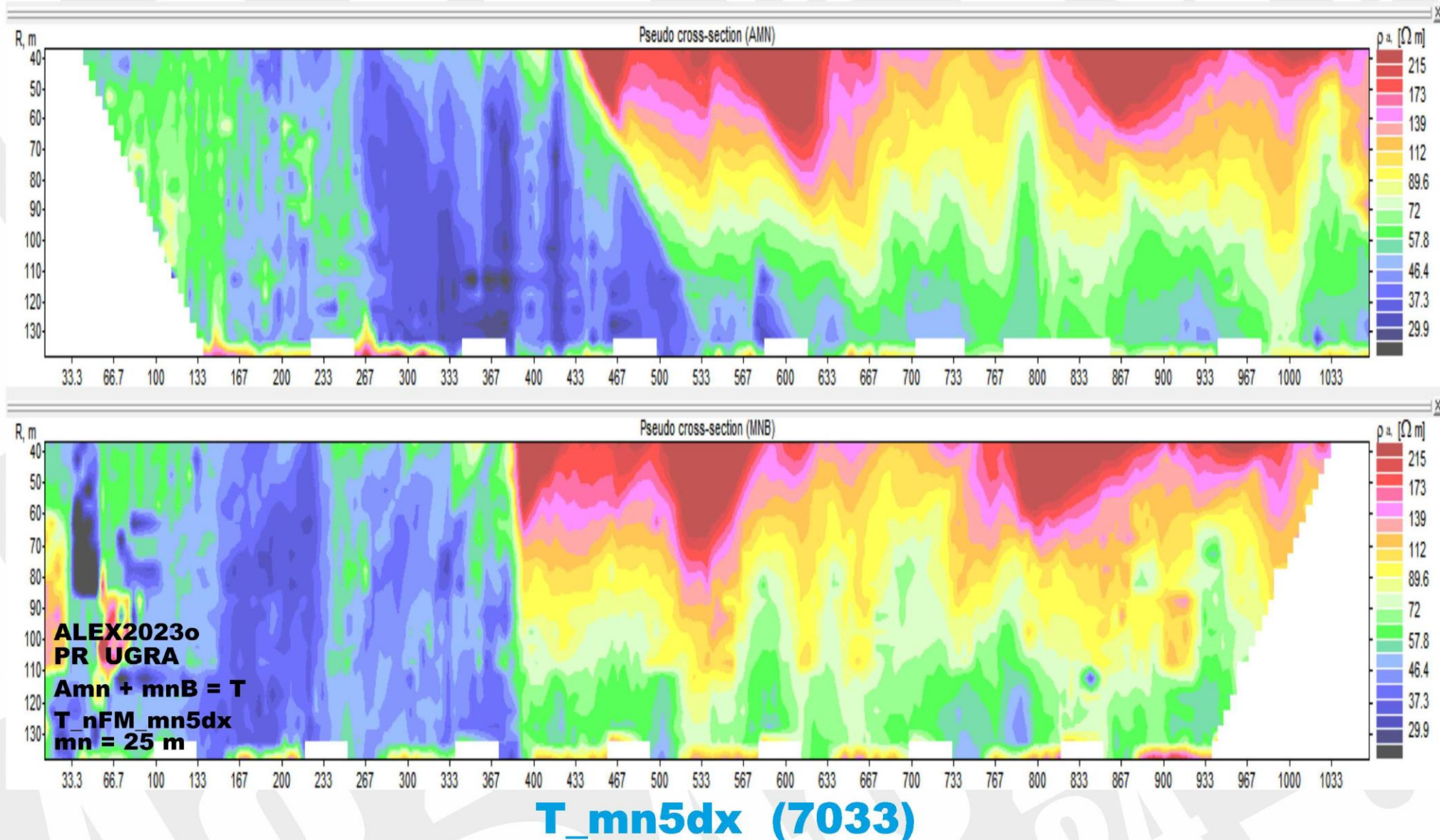
# ПОЛЕВЫЕ ДАННЫЕ И ИХ СОВОКУПНОСТИ

ALEX\_2023 ПР УГРА 1075м (dx=5м)



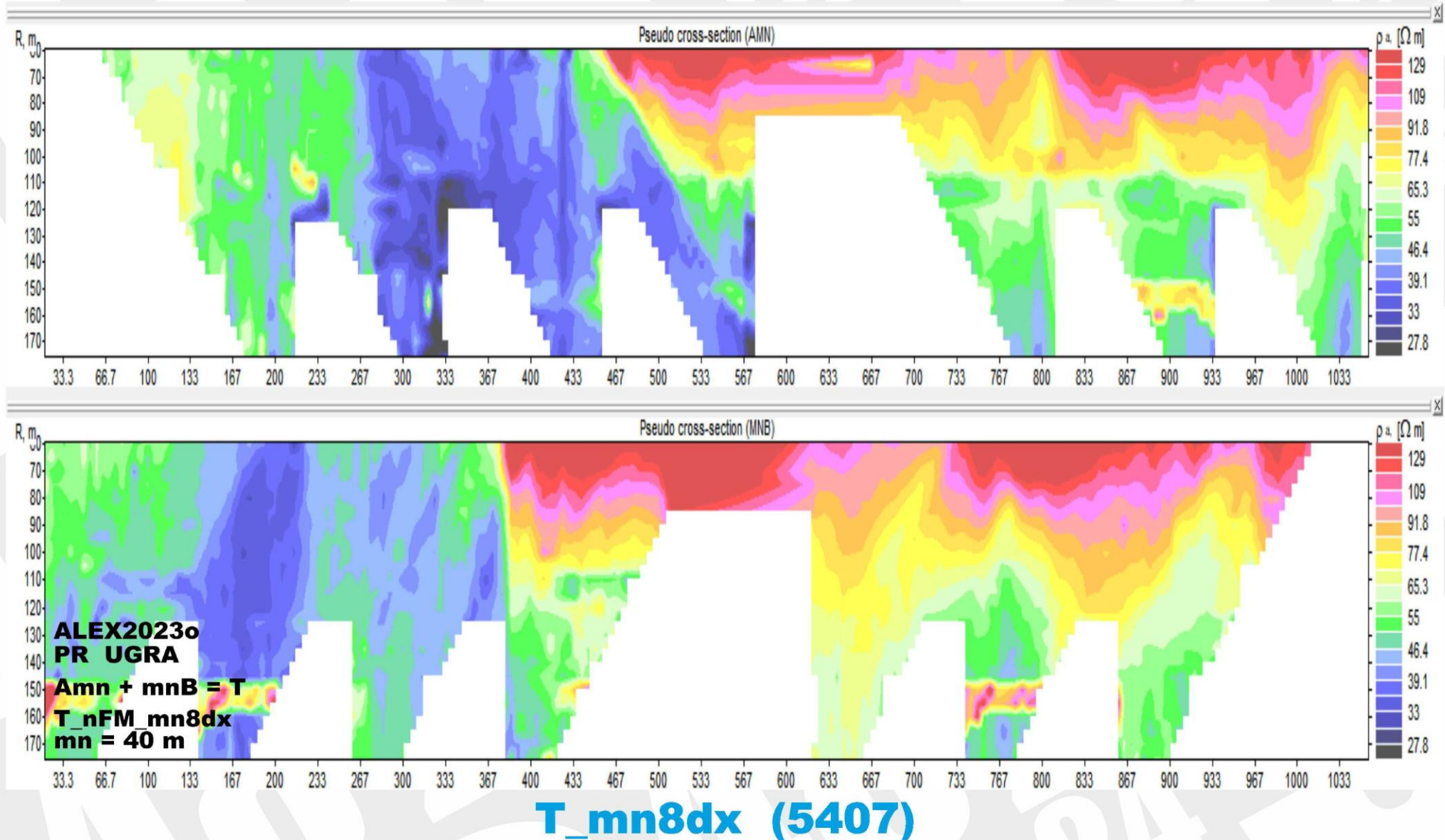
# ПОЛЕВЫЕ ДАННЫЕ И ИХ СОВОКУПНОСТИ

ALEX\_2023 ПР УГРА 1075м (dx=5м)



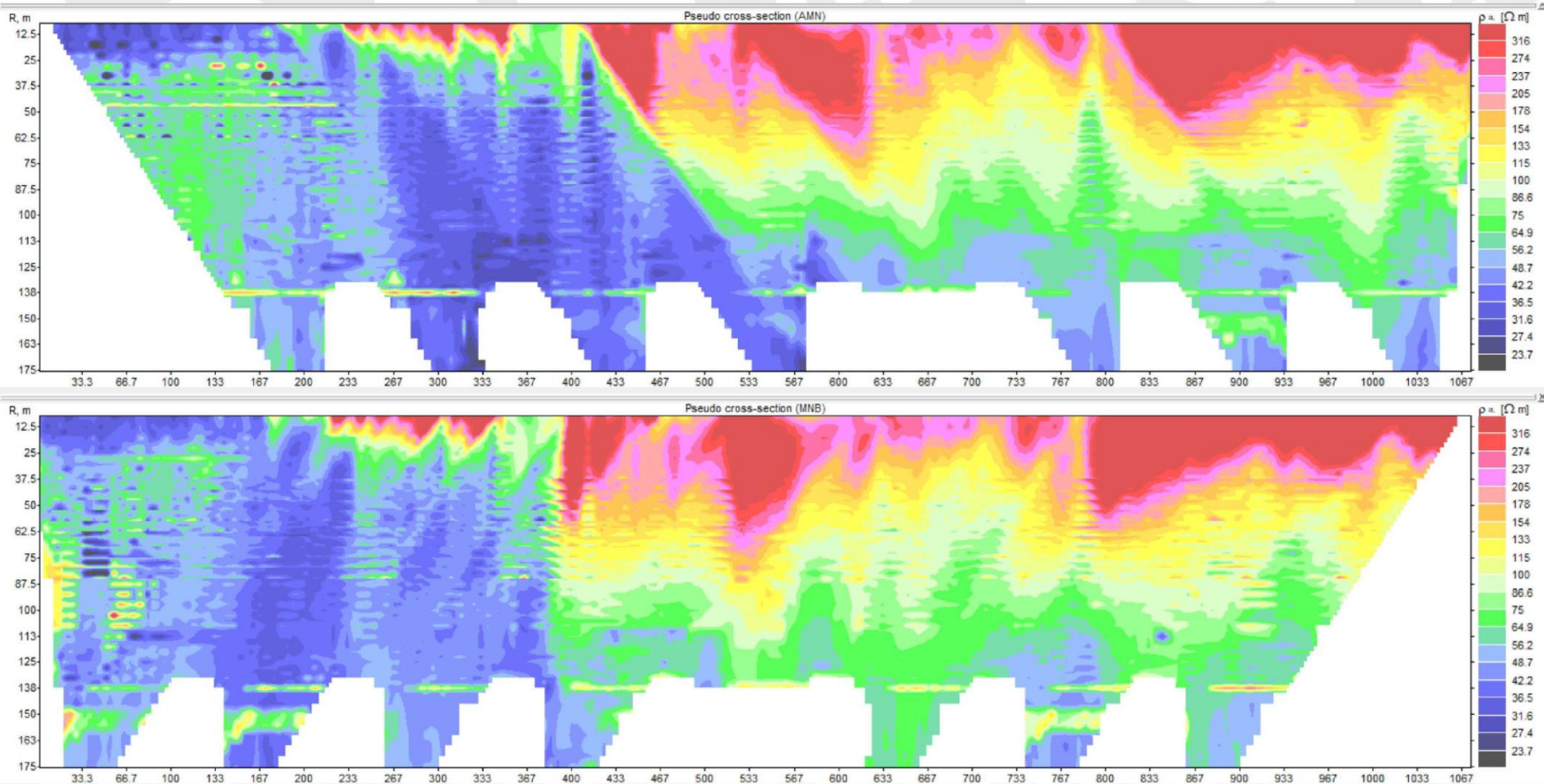
# ПОЛЕВЫЕ ДАННЫЕ И ИХ СОВОКУПНОСТИ

ALEX\_2023 ПР УГРА 1075м (dx=5м)



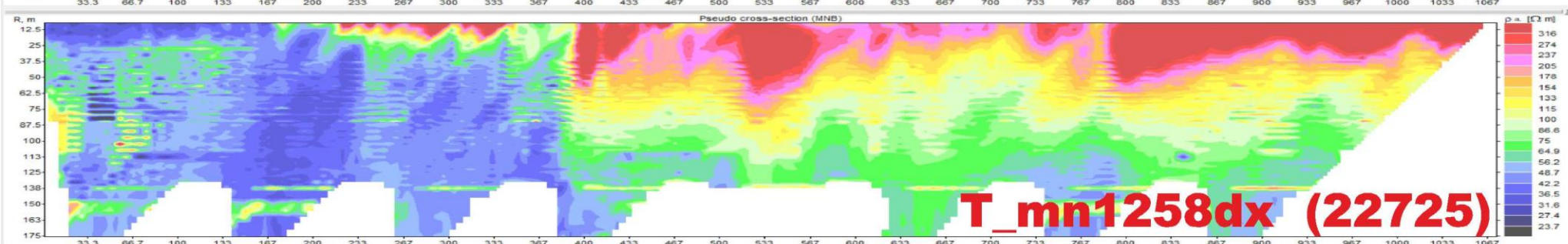
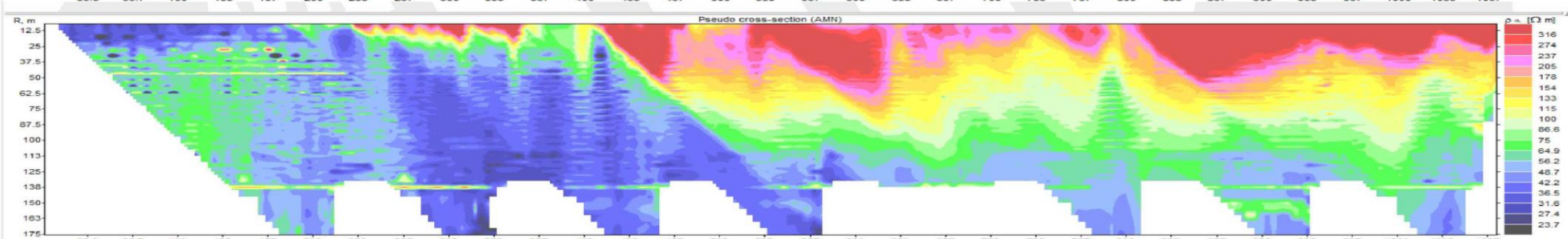
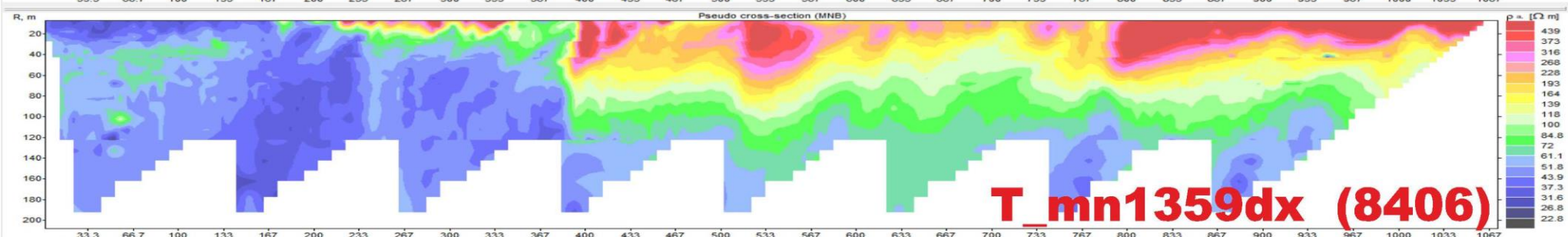
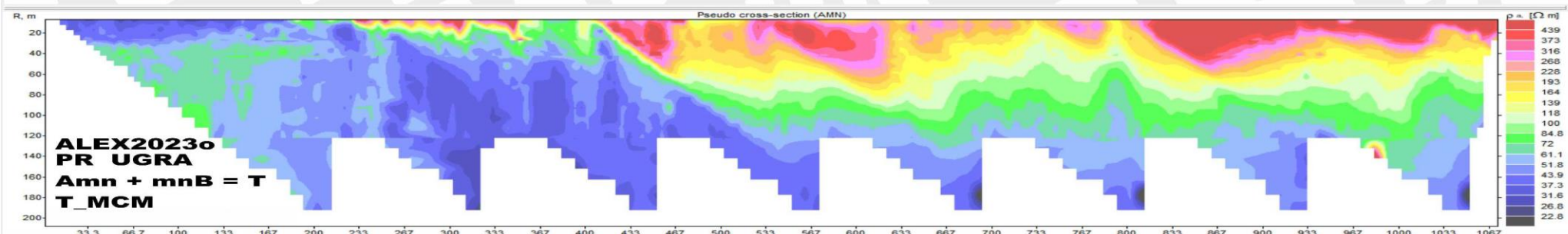
# ПОЛЕВЫЕ ДАННЫЕ И ИХ СОВОКУПНОСТИ

ALEX\_2023 ПР УГРА 1075м (dx=5м)



T\_mn1258dx 22725 отсчетов

# СРАВНЕНИЕ ПОЛЕВЫХ ДАННЫХ СТАНДАРТНЫХ И РАЗДЕЛЬНЫХ ИЗМЕРЕНИЙ AL 23 ПР УГРА (1075м, dx5м)



ФИЛИАЛ МОСКОВСКОГО ГОСУДАРСТВЕННОГО УНИВЕРСИТЕТА  
ИМЕНИ М.В. ЛОМОНОСОВА В ГОРОДЕ ДУШАНБЕ

270 лет МГУ  
1755 2025

15 ФМГУД  
2009 2024

МЕЖДУНАРОДНАЯ НАУЧНО-ПРАКТИЧЕСКАЯ КОНФЕРЕНЦИЯ XIV ЛОМОНОСОВСКИЕ ЧТЕНИЯ «РОЛЬ ФИЛИАЛА  
МОСКОВСКОГО ГОСУДАРСТВЕННОГО УНИВЕРСИТЕТА ИМЕНИ М.В. ЛОМОНОСОВА В ГОРОДЕ ДУШАНБЕ В РАЗВИТИИ  
НАУКИ И ОБРАЗОВАНИЯ»

22 НОЯБРЯ 2024



БОЛЬШАКОВ ДМИТРИЙ КОНСТАНТИНОВИЧ \*

МОДИН ИГОРЬ НИКОЛАЕВИЧ

**ИСПОЛЬЗОВАНИЕ СТАТИСТИЧЕСКИХ АТРИБУТОВ  
ПАРАМЕТРА СХОДСТВА ДЛЯ СРАВНЕНИЯ  
РЕЗУЛЬТАТОВ ПОЛЕВОГО ОПРОБОВАНИЯ  
МЕТОДИК ЭЛЕКТРОТОМОГРАФИИ**

УЧАСТКИ ПОЛЕВОГО ОПРОБОВАНИЯ УСТАНОВОК И АППАРАТУРА ДЛЯ ВЫПОЛНЕНИЯ РАБОТ  
ПОСЛЕДОВАТЕЛЬНОСТИ СТАНДАРТНЫХ И РАЗДЕЛЬНЫХ ИЗМЕРЕНИЙ МЕТОДОМ ЭТ  
ПОЛЕВЫЕ ДАННЫЕ И ИХ СОВОКУПНОСТИ ДЛЯ РАЗНЫХ УСТАНОВОК

**ГЕОМЕТРИЯ МОДЕЛЕЙ ДЛЯ ДВУМЕРНОЙ ИНВЕРСИИ**

РЕЗУЛЬТАТЫ ИНВЕРСИИ ПОЛЕВЫХ ДАННЫХ СТАНДАРТНЫХ И РАЗДЕЛЬНЫХ ИЗМЕРЕНИЙ

КАЧЕСТВЕННОЕ СРАВНЕНИЕ И КОЛИЧЕСТВЕННАЯ ОЦЕНКА СХОДСТВА МОДЕЛЕЙ

КОЛИЧЕСТВЕННЫЙ АНАЛИЗ СХОДСТВА ГЕОЭЛЕКТРИЧЕСКИХ МОДЕЛЕЙ

РЕЗУЛЬТАТЫ ИНВЕРСИИ ПРОРЕЖЕННЫХ ДАННЫХ ТРЕХЭЛЕКТРОДНЫХ УСТАНОВОК

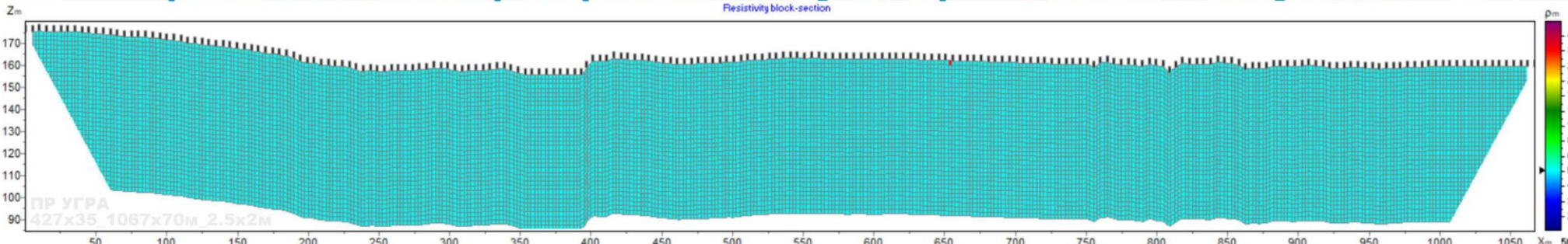
ВЫБОР ПОСЛЕДОВАТЕЛЬНОСТИ ИЗМЕРЕНИЙ ПО РЕЗУЛЬТАТАМ АНАЛИЗА МОДЕЛЕЙ

ЗАКЛЮЧЕНИЕ

# ВЫБОР ЕДИНОЙ МОДЕЛИ ДЛЯ ДВУМЕРНОЙ ИНВЕРСИИ

## ALEX2023 ПР УГРА (1075м, dx5м)

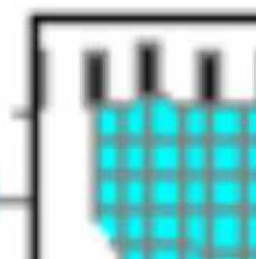
**(9 сегментов) x (24 электрода) = 216 электродов**



**425 x 35 = 14875 ячеек**

вместо **431 x 35 = 15085 ячеек**

**170**



**длина ячейки (oX)  
2.5 метра**

**216 эл + 215 шагов = 431 ячейка  
(dx=5м) \* 0.5 = 2.5 м  
реально 425 (1060 м <>> 1075 м)**

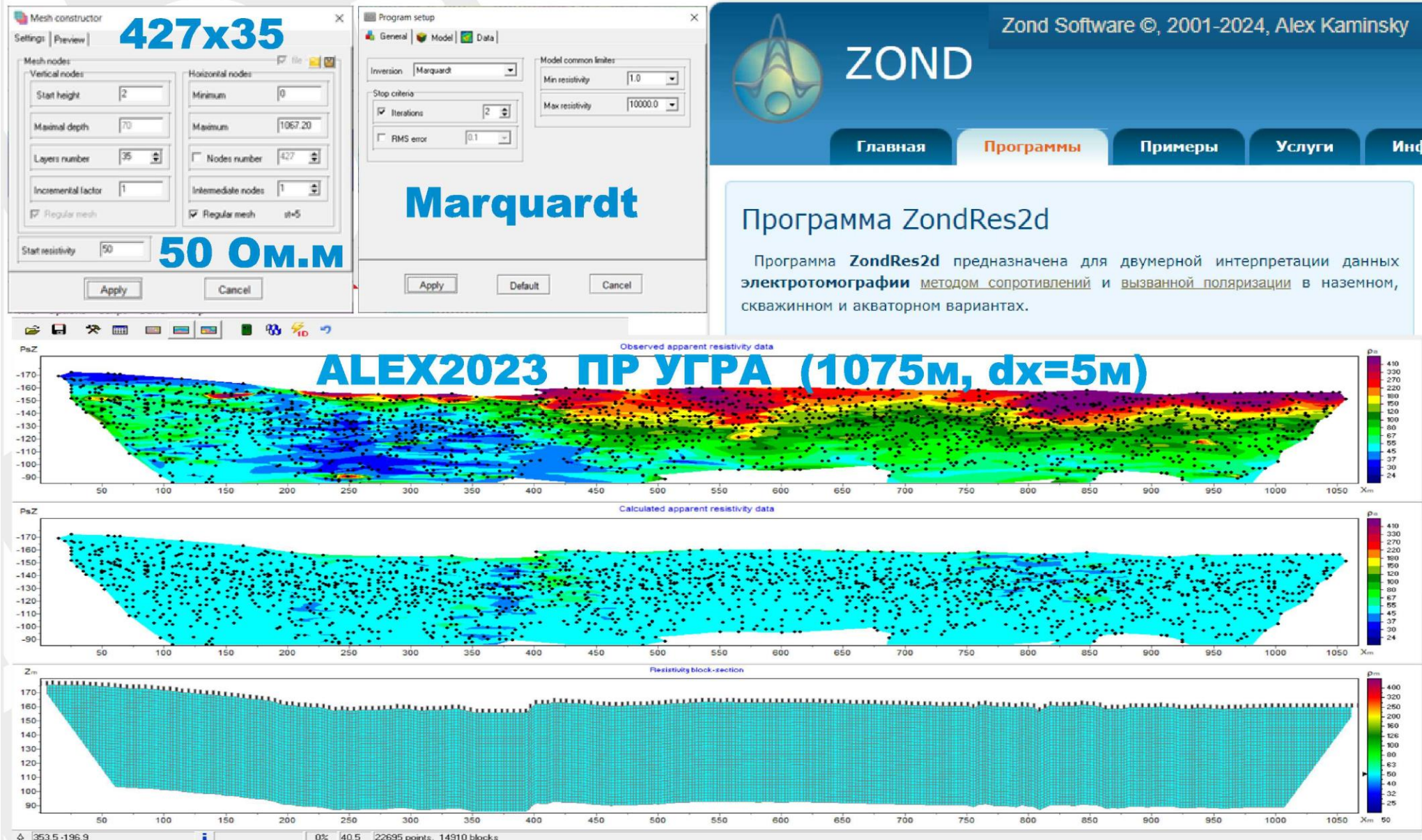
**высота ячейки (oZ)  
2.0 метра**

**пусть Нэфф = 0.4\*АОmax(8dx)  
Нэфф = 0.4\*175 м = 74.4 м ~ 70 м  
~ длина и макс. 40 шт., то 35 шт.  
(70 м) / (35 ячеек) = 2 м**

# ПАРАМЕТРЫ ДВУМЕРНОЙ ИНВЕРСИИ

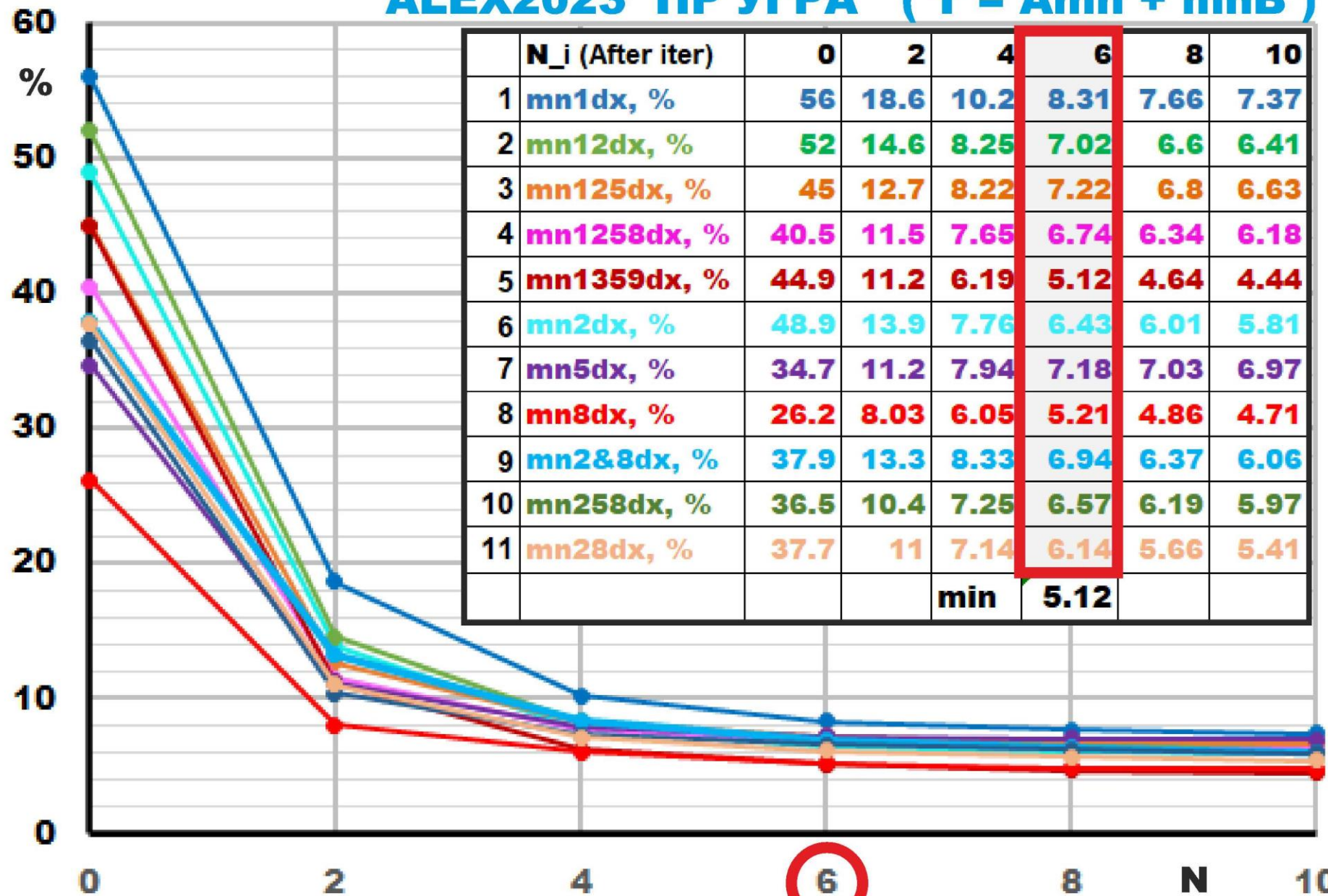
zond-geo.com

ZOND geophysical software: Программа ZondRes2d



# ЗНАЧЕНИЯ НЕВЯЗОК МОДЕЛЕЙ ДЛЯ 10 ИТЕРАЦИЙ

## ALEX2023 ПР УГРА ( Т = Amn + mnB )



ФИЛИАЛ МОСКОВСКОГО ГОСУДАРСТВЕННОГО УНИВЕРСИТЕТА  
ИМЕНИ М.В. ЛОМОНОСОВА В ГОРОДЕ ДУШАНБЕ

270 лет МГУ  
1755 2025

15 ФМГУД  
2009 2024

МЕЖДУНАРОДНАЯ НАУЧНО-ПРАКТИЧЕСКАЯ КОНФЕРЕНЦИЯ XIV ЛОМОНОСОВСКИЕ ЧТЕНИЯ «РОЛЬ ФИЛИАЛА  
МОСКОВСКОГО ГОСУДАРСТВЕННОГО УНИВЕРСИТЕТА ИМЕНИ М.В. ЛОМОНОСОВА В ГОРОДЕ ДУШАНБЕ В РАЗВИТИИ  
НАУКИ И ОБРАЗОВАНИЯ»

22 НОЯБРЯ 2024



БОЛЬШАКОВ ДМИТРИЙ КОНСТАНТИНОВИЧ \*

МОДИН ИГОРЬ НИКОЛАЕВИЧ

**ИСПОЛЬЗОВАНИЕ СТАТИСТИЧЕСКИХ АТРИБУТОВ  
ПАРАМЕТРА СХОДСТВА ДЛЯ СРАВНЕНИЯ  
РЕЗУЛЬТАТОВ ПОЛЕВОГО ОПРОБОВАНИЯ  
МЕТОДИК ЭЛЕКТРОТОМОГРАФИИ**

УЧАСТКИ ПОЛЕВОГО ОПРОБОВАНИЯ УСТАНОВОК И АППАРАТУРА ДЛЯ ВЫПОЛНЕНИЯ РАБОТ  
ПОСЛЕДОВАТЕЛЬНОСТИ СТАНДАРТНЫХ И РАЗДЕЛЬНЫХ ИЗМЕРЕНИЙ МЕТОДОМ ЭТ  
ПОЛЕВЫЕ ДАННЫЕ И ИХ СОВОКУПНОСТИ ДЛЯ РАЗНЫХ УСТАНОВОК

ГЕОМЕТРИЯ МОДЕЛЕЙ ДЛЯ ПОЛУЧЕНИЯ РЕЗУЛЬТАТОВ ДВУМЕРНОЙ ИНВЕРСИИ ДАННЫХ  
**РЕЗУЛЬТАТЫ ИНВЕРСИИ ПОЛЕВЫХ ДАННЫХ**

КАЧЕСТВЕННОЕ СРАВНЕНИЕ И КОЛИЧЕСТВЕННАЯ ОЦЕНКА СХОДСТВА МОДЕЛЕЙ  
КОЛИЧЕСТВЕННЫЙ АНАЛИЗ СХОДСТВА ГЕОЭЛЕКТРИЧЕСКИХ МОДЕЛЕЙ

РЕЗУЛЬТАТЫ ИНВЕРСИИ ПРОРЕЖЕННЫХ ДАННЫХ ТРЕХЭЛЕКТРОДНЫХ УСТАНОВОК

ВЫБОР ПОСЛЕДОВАТЕЛЬНОСТИ ИЗМЕРЕНИЙ ПО РЕЗУЛЬТАТАМ АНАЛИЗА МОДЕЛЕЙ

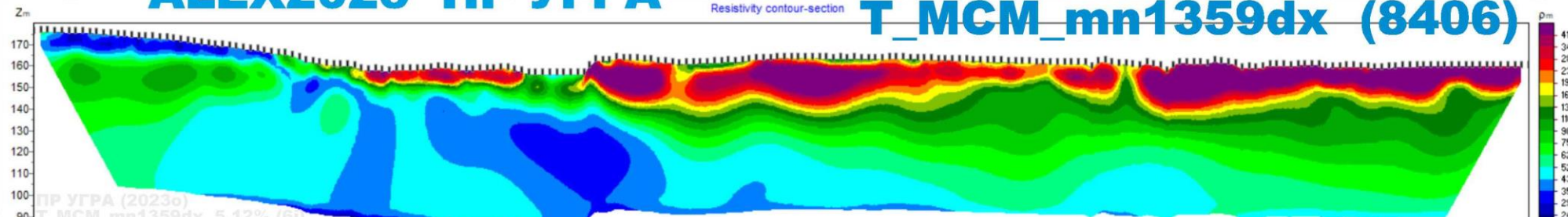
**ЗАКЛЮЧЕНИЕ**

# РЕЗУЛЬТАТЫ ИНВЕРСИИ ДАННЫХ

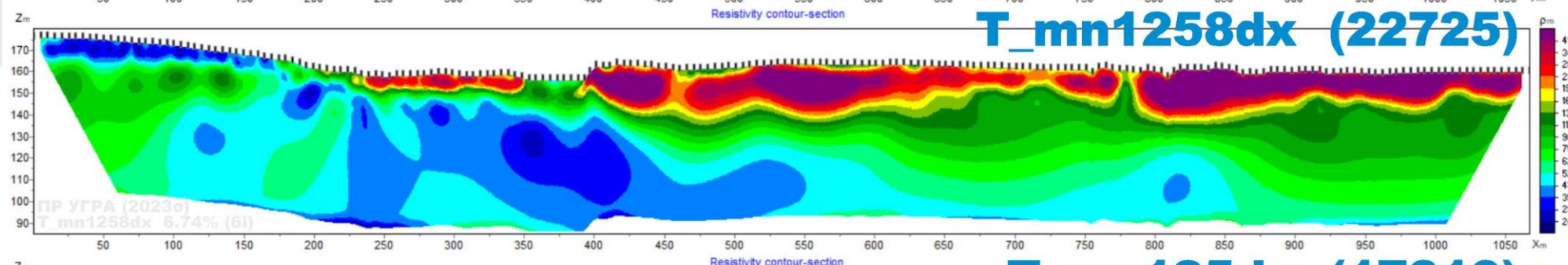
## ALEX2023 ПР УГРА

Resistivity contour-section

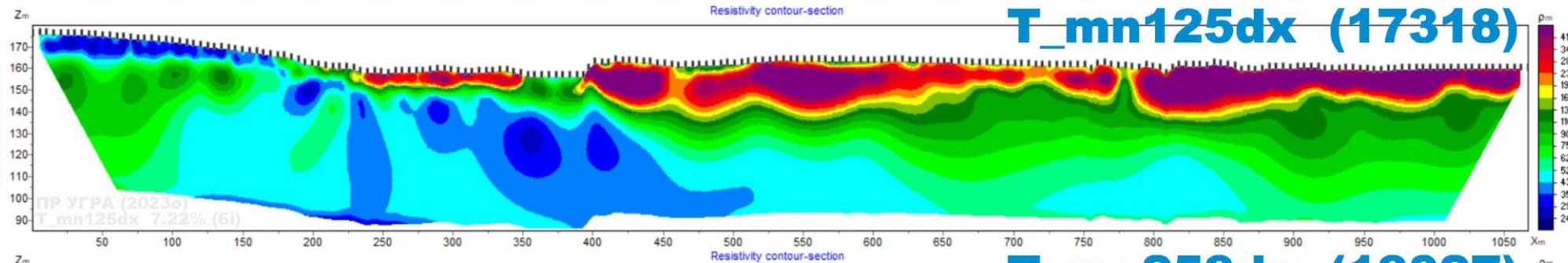
**T\_MCM\_mn1359dx (8406)**



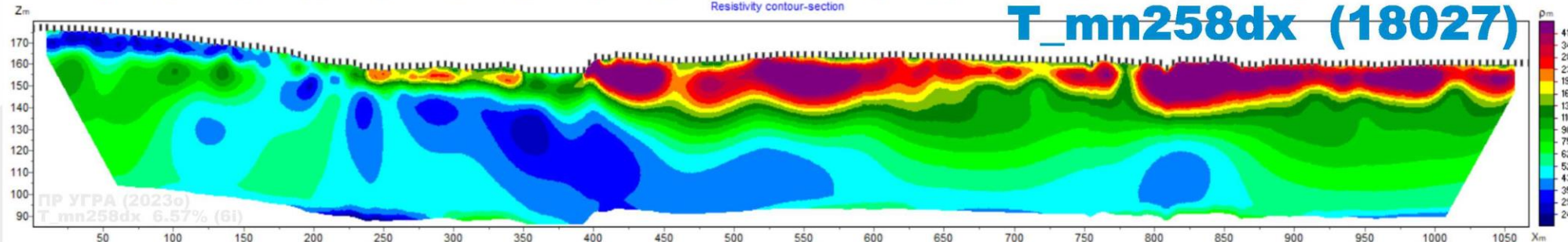
**T\_mn1258dx (22725)**



**T\_mn125dx (17318)**

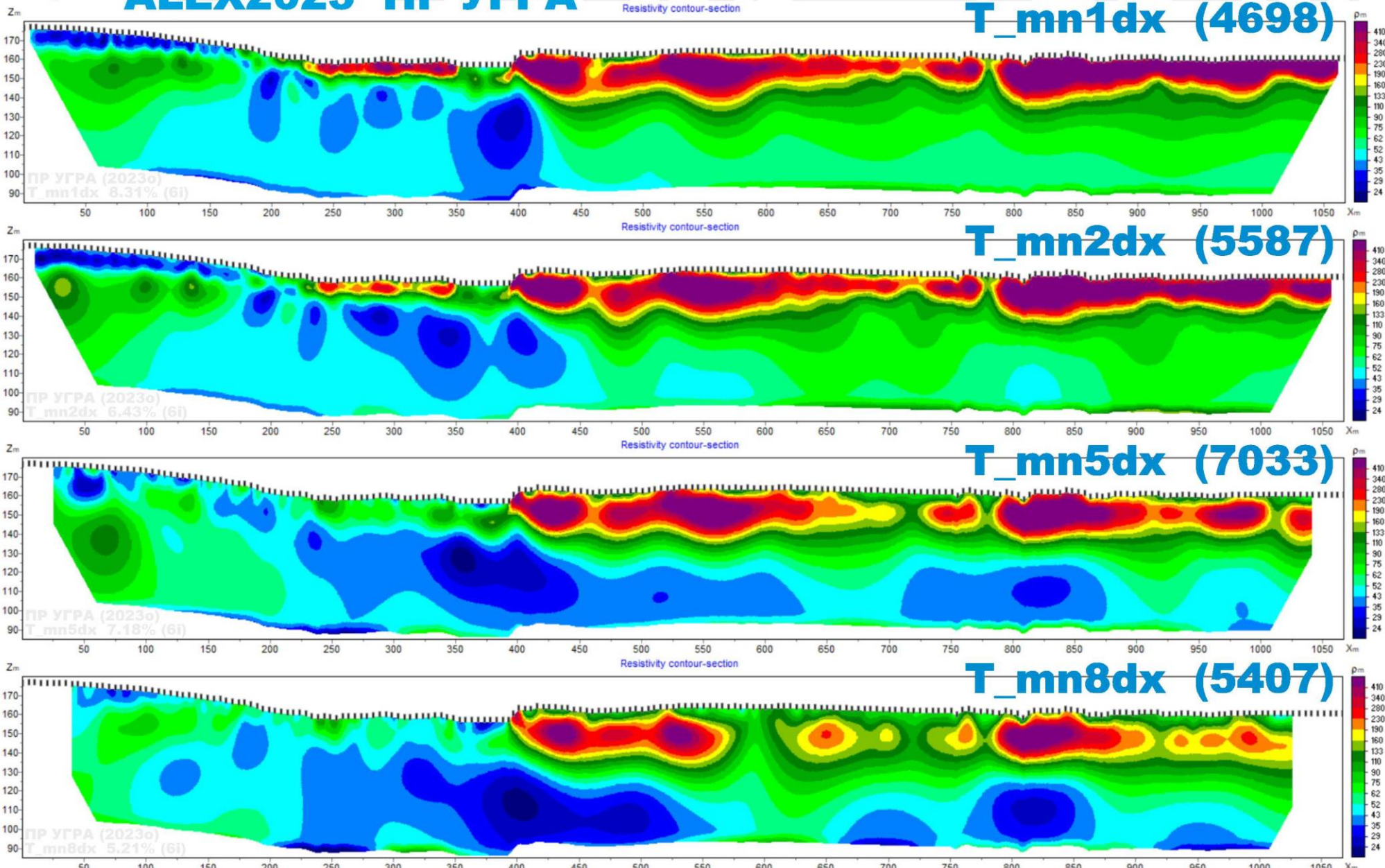


**T\_mn258dx (18027)**

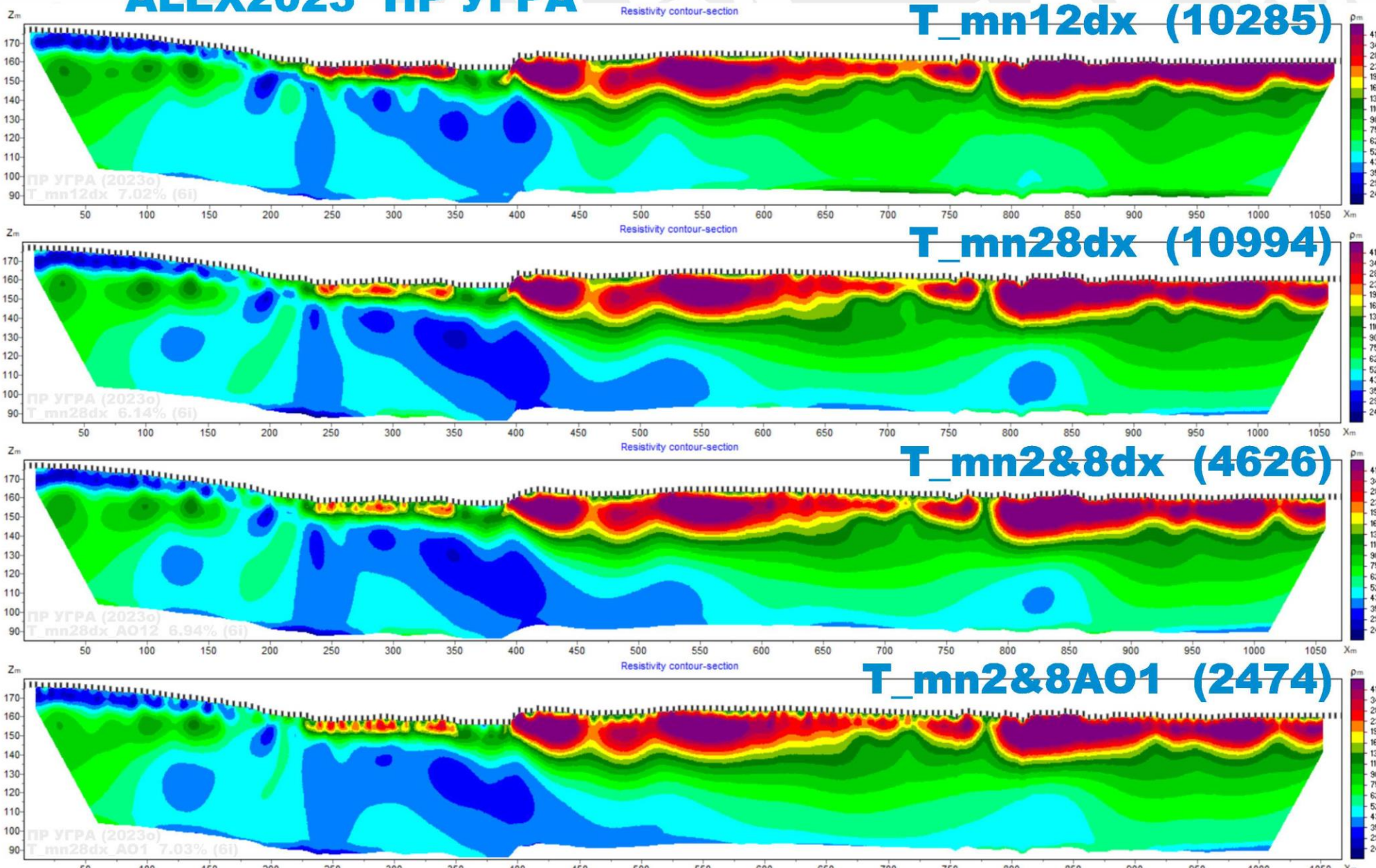


# МОДЕЛИ ДЛЯ ДАННЫХ РАЗДЕЛЬНЫХ ИЗМЕРЕНИЙ

## ALEX2023 ПР УГРА



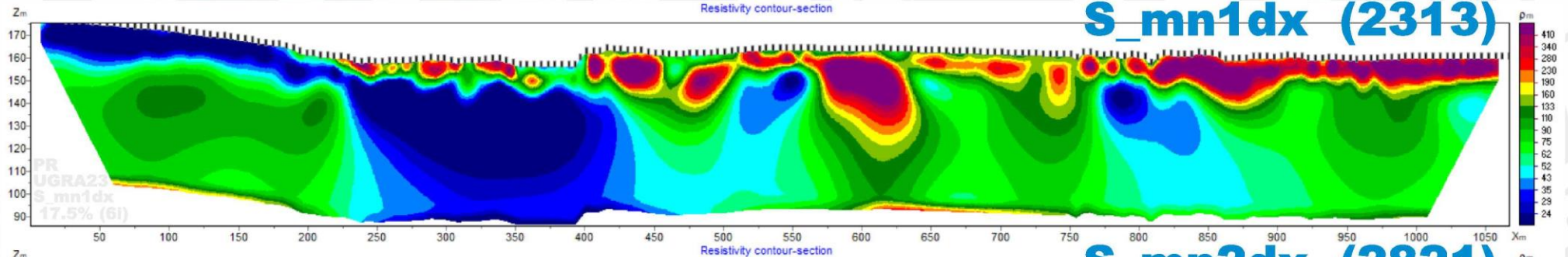
# МОДЕЛИ ДЛЯ ДАННЫХ РАЦИОНАЛЬНЫХ ИЗМЕРЕНИЙ ALEX2023 ПР УГРА



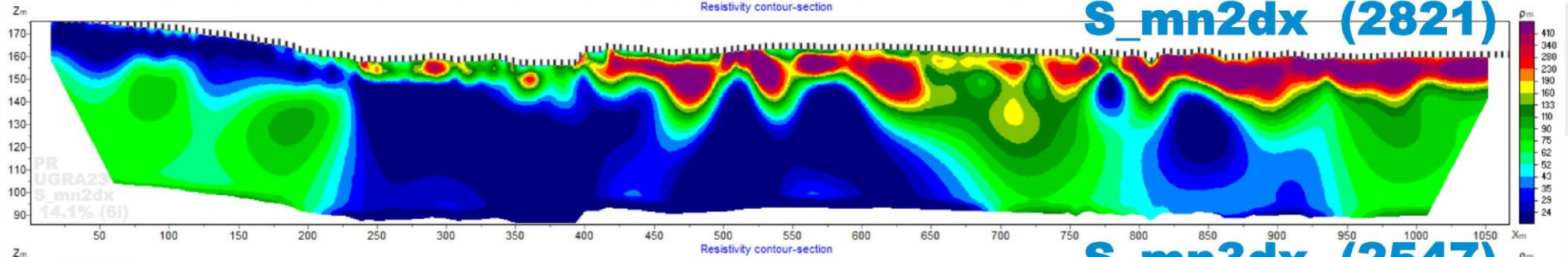
# МОДЕЛИ ДЛЯ РАЗДЕЛЬНЫХ ИЗМЕРЕНИЙ ALEX2023 ПР УГРА

S\_mn1dx  
S\_mn2dx  
S\_mn3dx

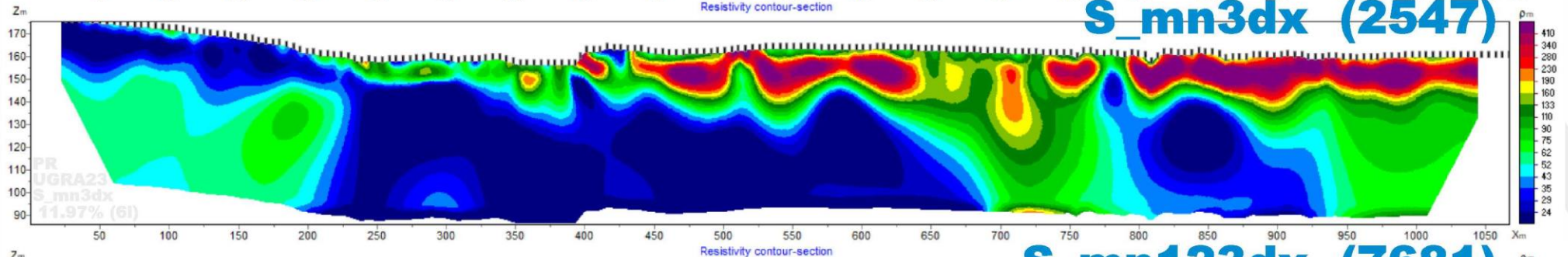
S\_mn1dx (2313)



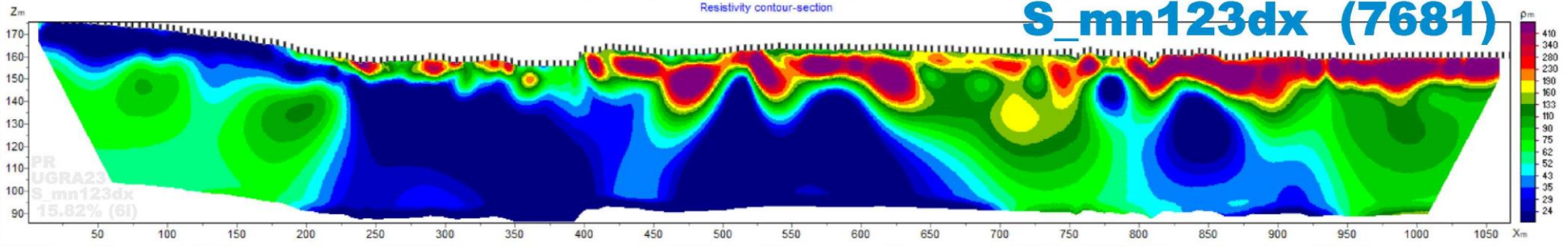
S\_mn2dx (2821)



S\_mn3dx (2547)



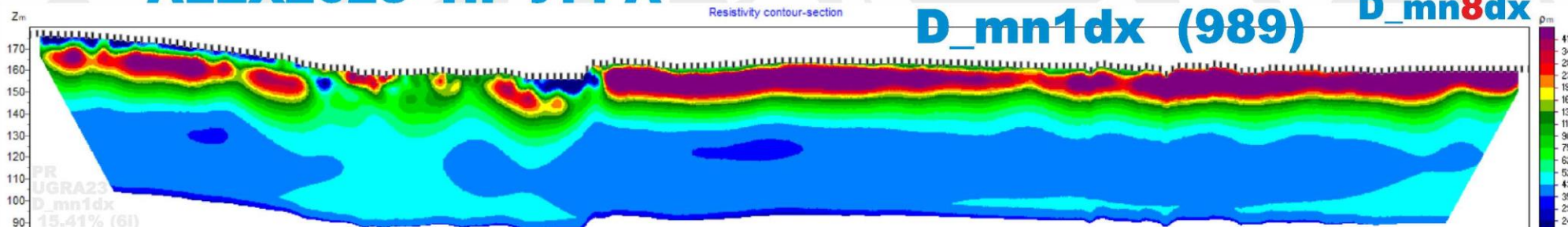
S\_mn123dx (7681)



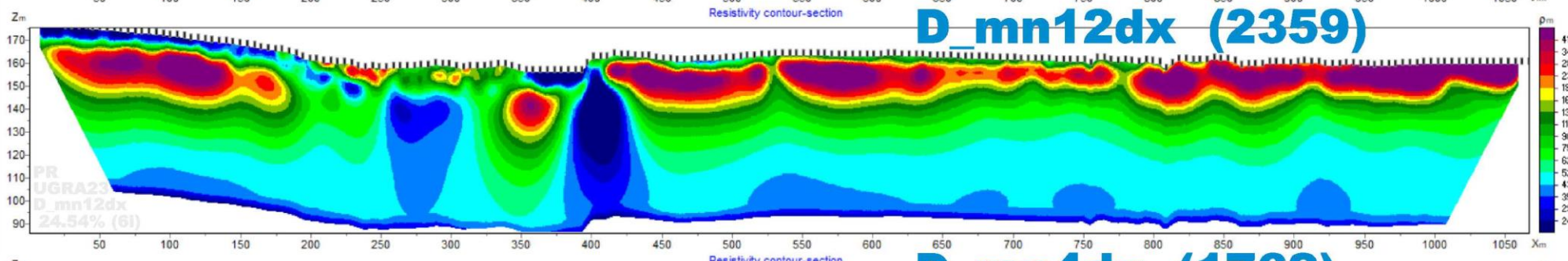
# МОДЕЛИ ДЛЯ РАЗДЕЛЬНЫХ ИЗМЕРЕНИЙ ALEX2023 ПР УГРА

D  
 D\_mn1dx  
 D\_mn2dx  
 D\_mn4dx  
 D\_mn8dx

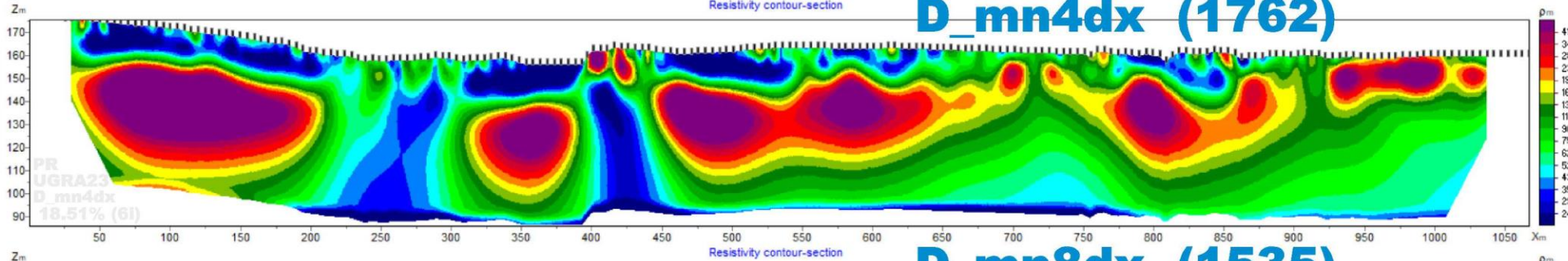
**D\_mn1dx (989)**



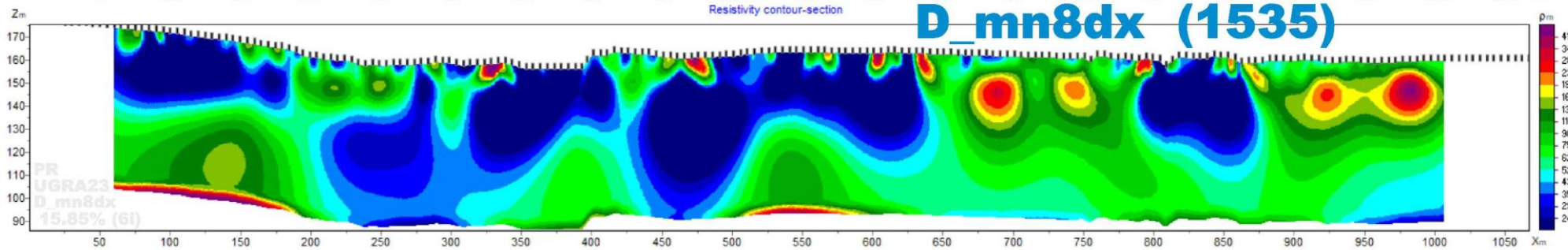
**D\_mn12dx (2359)**



**D\_mn4dx (1762)**



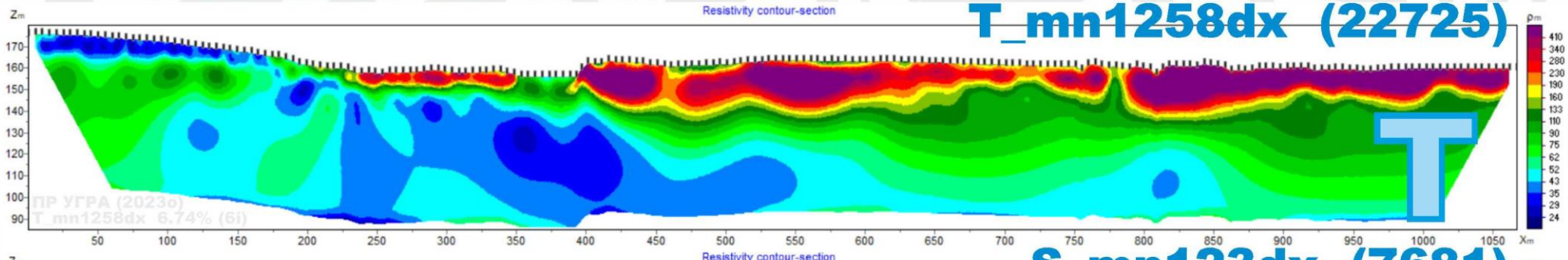
**D\_mn8dx (1535)**



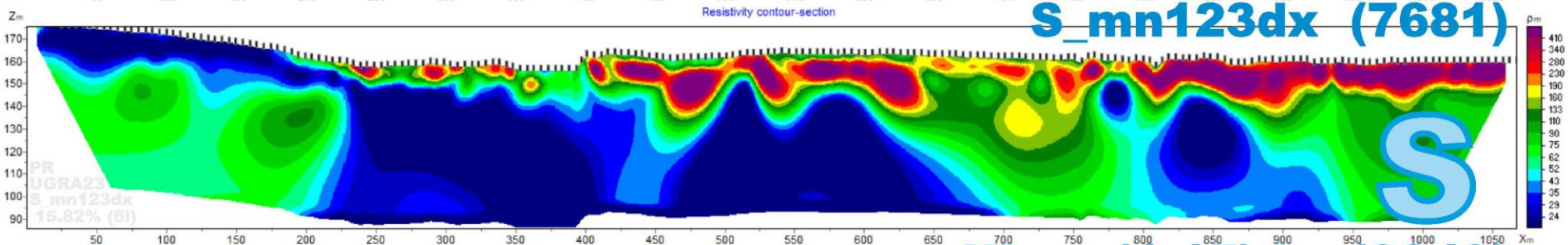
# МОДЕЛИ ДЛЯ СОВОКУПНОСТЕЙ ДАННЫХ ALEX2023 ПР УГРА

Resistivity contour-section

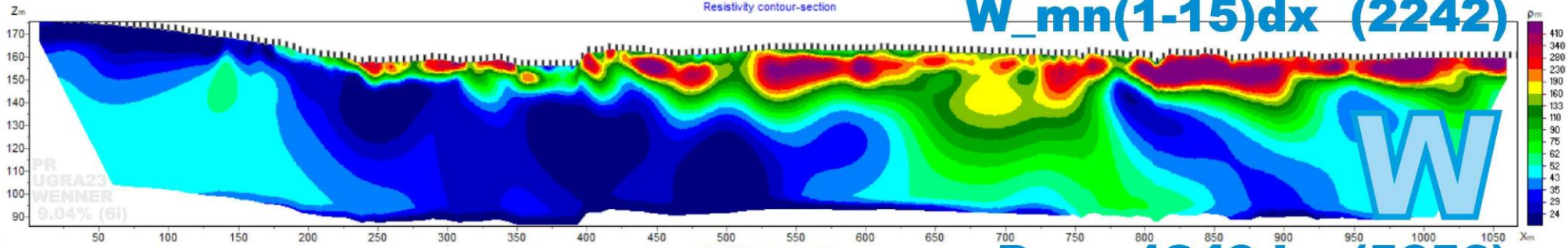
T\_mn1258dx (22725)



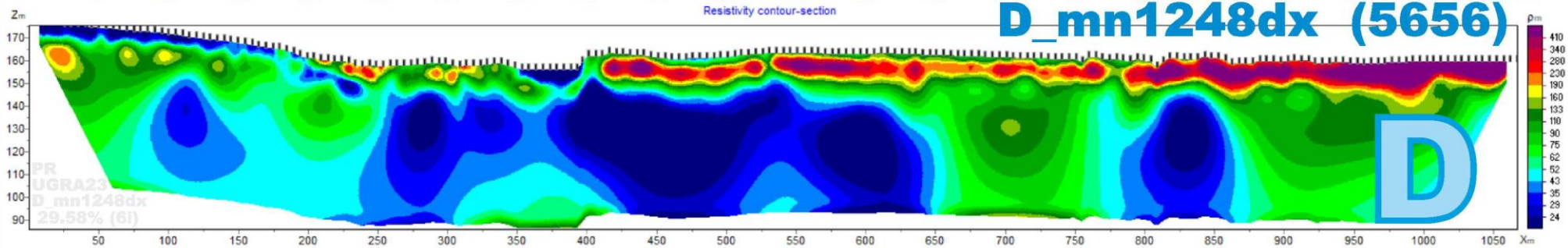
S\_mn123dx (7681)



W\_mn(1-15)dx (2242)



D\_mn1248dx (5656)



**МОДЕЛИ ДЛЯ СОВОКУПНОСТЕЙ ДАННЫХ  
VLGR 2023 ПР 1 (382 м, dx=2 м) T\_mn1258dx**

**T**

**S\_mn123dx**

**S**

**W\_mn(1-15)dx**

**W**

**D\_mn1248dx**

**D**

ФИЛИАЛ МОСКОВСКОГО ГОСУДАРСТВЕННОГО УНИВЕРСИТЕТА  
ИМЕНИ М.В. ЛОМОНОСОВА В ГОРОДЕ ДУШАНБЕ

270 лет МГУ  
1755 2025

15 ФМГУД  
2009 2024

МЕЖДУНАРОДНАЯ НАУЧНО-ПРАКТИЧЕСКАЯ КОНФЕРЕНЦИЯ XIV ЛОМОНОСОВСКИЕ ЧТЕНИЯ «РОЛЬ ФИЛИАЛА  
МОСКОВСКОГО ГОСУДАРСТВЕННОГО УНИВЕРСИТЕТА ИМЕНИ М.В. ЛОМОНОСОВА В ГОРОДЕ ДУШАНБЕ В РАЗВИТИИ  
НАУКИ И ОБРАЗОВАНИЯ»

22 НОЯБРЯ 2024



БОЛЬШАКОВ ДМИТРИЙ КОНСТАНТИНОВИЧ \*

МОДИН ИГОРЬ НИКОЛАЕВИЧ

**ИСПОЛЬЗОВАНИЕ СТАТИСТИЧЕСКИХ АТРИБУТОВ  
ПАРАМЕТРА СХОДСТВА ДЛЯ СРАВНЕНИЯ  
РЕЗУЛЬТАТОВ ПОЛЕВОГО ОПРОБОВАНИЯ  
МЕТОДИК ЭЛЕКТРОТОМОГРАФИИ**

УЧАСТКИ ПОЛЕВОГО ОПРОБОВАНИЯ УСТАНОВОК И АППАРАТУРА ДЛЯ ВЫПОЛНЕНИЯ РАБОТ  
ПОСЛЕДОВАТЕЛЬНОСТИ СТАНДАРТНЫХ И РАЗДЕЛЬНЫХ ИЗМЕРЕНИЙ МЕТОДОМ ЭТ

ПОЛЕВЫЕ ДАННЫЕ И ИХ СОВОКУПНОСТИ ДЛЯ РАЗНЫХ УСТАНОВОК

ГЕОМЕТРИЯ МОДЕЛЕЙ ДЛЯ ПОЛУЧЕНИЯ РЕЗУЛЬТАТОВ ДВУМЕРНОЙ ИНВЕРСИИ ДАННЫХ

РЕЗУЛЬТАТЫ ИНВЕРСИИ ПОЛЕВЫХ ДАННЫХ СТАНДАРТНЫХ И РАЗДЕЛЬНЫХ ИЗМЕРЕНИЙ

**КАЧЕСТВЕННОЕ И КОЛИЧЕСТВЕННОЕ СХОДСТВО**

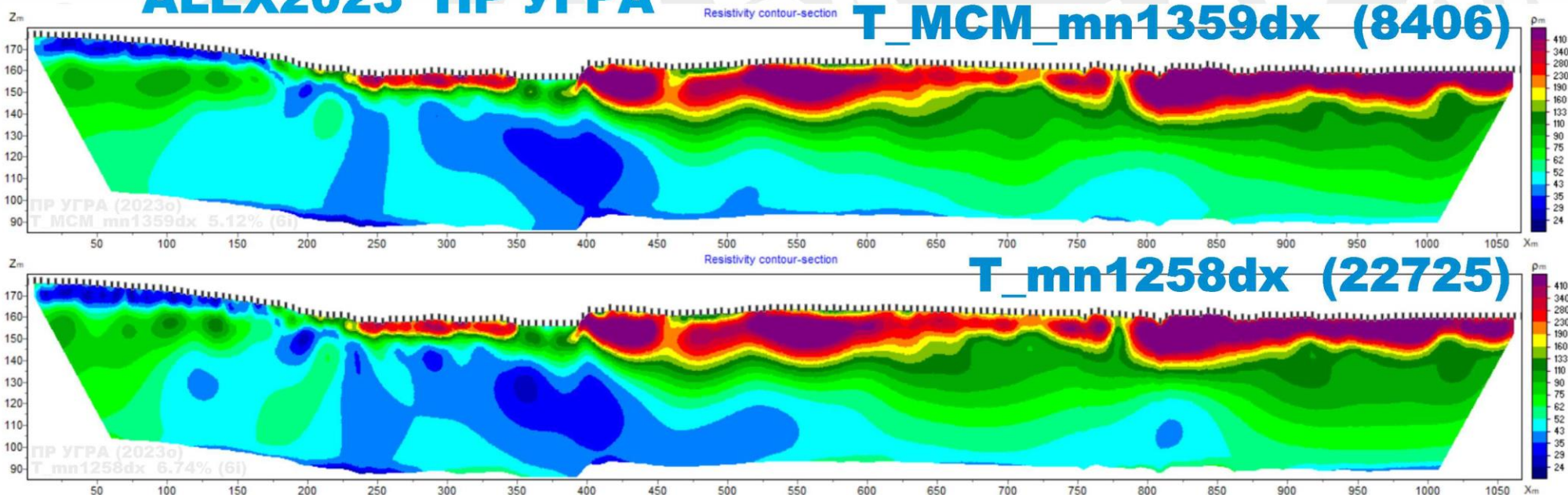
КОЛИЧЕСТВЕННЫЙ АНАЛИЗ СХОДСТВА ГЕОЭЛЕКТРИЧЕСКИХ МОДЕЛЕЙ

РЕЗУЛЬТАТЫ ИНВЕРСИИ ПРОРЕЖЕННЫХ ДАННЫХ ТРЕХЭЛЕКТРОДНЫХ УСТАНОВОК

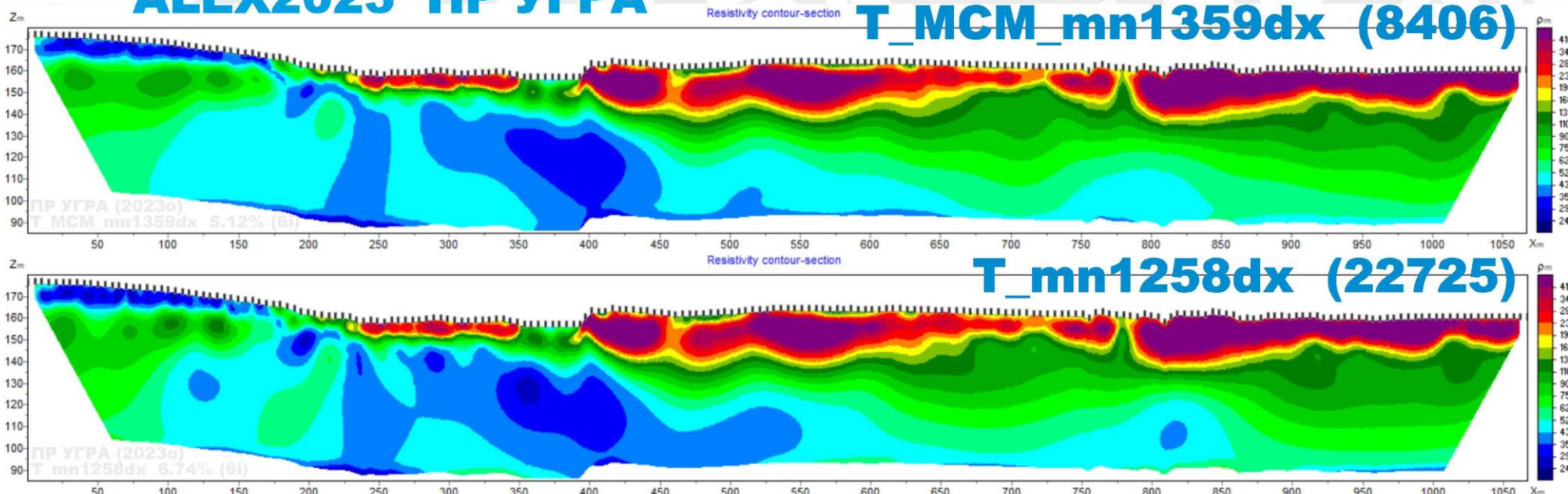
ВЫБОР ПОСЛЕДОВАТЕЛЬНОСТИ ИЗМЕРЕНИЙ ПО РЕЗУЛЬТАТАМ АНАЛИЗА МОДЕЛЕЙ

ЗАКЛЮЧЕНИЕ

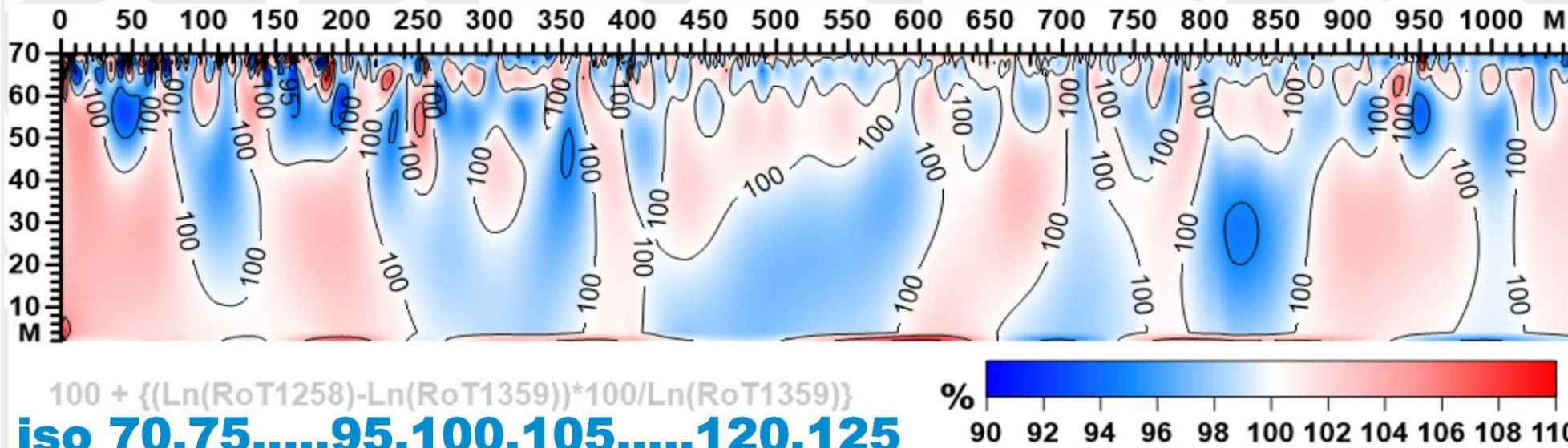
# КАЧЕСТВЕННОЕ СХОДСТВО РЕЗУЛЬТАТОВ ИНВЕРСИИ ALEX2023 ПР УГРА



# КАЧЕСТВЕННОЕ И КОЛИЧЕСТВЕННОЕ СХОДСТВО ALEX2023 ПР УГРА



## РАЗРЕЗ ПАРАМЕТРА СХОДСТВА (Sim, %)



ФИЛИАЛ МОСКОВСКОГО ГОСУДАРСТВЕННОГО УНИВЕРСИТЕТА  
ИМЕНИ М.В. ЛОМОНОСОВА В ГОРОДЕ ДУШАНБЕ

270 лет МГУ  
1755 2025

15 ФМГУД  
2009 2024

МЕЖДУНАРОДНАЯ НАУЧНО-ПРАКТИЧЕСКАЯ КОНФЕРЕНЦИЯ XIV ЛОМОНОСОВСКИЕ ЧТЕНИЯ «РОЛЬ ФИЛИАЛА  
МОСКОВСКОГО ГОСУДАРСТВЕННОГО УНИВЕРСИТЕТА ИМЕНИ М.В. ЛОМОНОСОВА В ГОРОДЕ ДУШАНБЕ В РАЗВИТИИ  
НАУКИ И ОБРАЗОВАНИЯ»

22 НОЯБРЯ 2024



БОЛЬШАКОВ ДМИТРИЙ КОНСТАНТИНОВИЧ \*

МОДИН ИГОРЬ НИКОЛАЕВИЧ

**ИСПОЛЬЗОВАНИЕ СТАТИСТИЧЕСКИХ АТРИБУТОВ  
ПАРАМЕТРА СХОДСТВА ДЛЯ СРАВНЕНИЯ  
РЕЗУЛЬТАТОВ ПОЛЕВОГО ОПРОБОВАНИЯ  
МЕТОДИК ЭЛЕКТРОТОМОГРАФИИ**

УЧАСТКИ ПОЛЕВОГО ОПРОБОВАНИЯ УСТАНОВОК И АППАРАТУРА ДЛЯ ВЫПОЛНЕНИЯ РАБОТ  
ПОСЛЕДОВАТЕЛЬНОСТИ СТАНДАРТНЫХ И РАЗДЕЛЬНЫХ ИЗМЕРЕНИЙ МЕТОДОМ ЭТ

ПОЛЕВЫЕ ДАННЫЕ И ИХ СОВОКУПНОСТИ ДЛЯ РАЗНЫХ УСТАНОВОК

ГЕОМЕТРИЯ МОДЕЛЕЙ ДЛЯ ПОЛУЧЕНИЯ РЕЗУЛЬТАТОВ ДВУМЕРНОЙ ИНВЕРСИИ ДАННЫХ  
РЕЗУЛЬТАТЫ ИНВЕРСИИ ПОЛЕВЫХ ДАННЫХ СТАНДАРТНЫХ И РАЗДЕЛЬНЫХ ИЗМЕРЕНИЙ

КАЧЕСТВЕННОЕ СРАВНЕНИЕ И КОЛИЧЕСТВЕННАЯ ОЦЕНКА СХОДСТВА МОДЕЛЕЙ

**КОЛИЧЕСТВЕННЫЙ АНАЛИЗ СХОДСТВА МОДЕЛЕЙ**

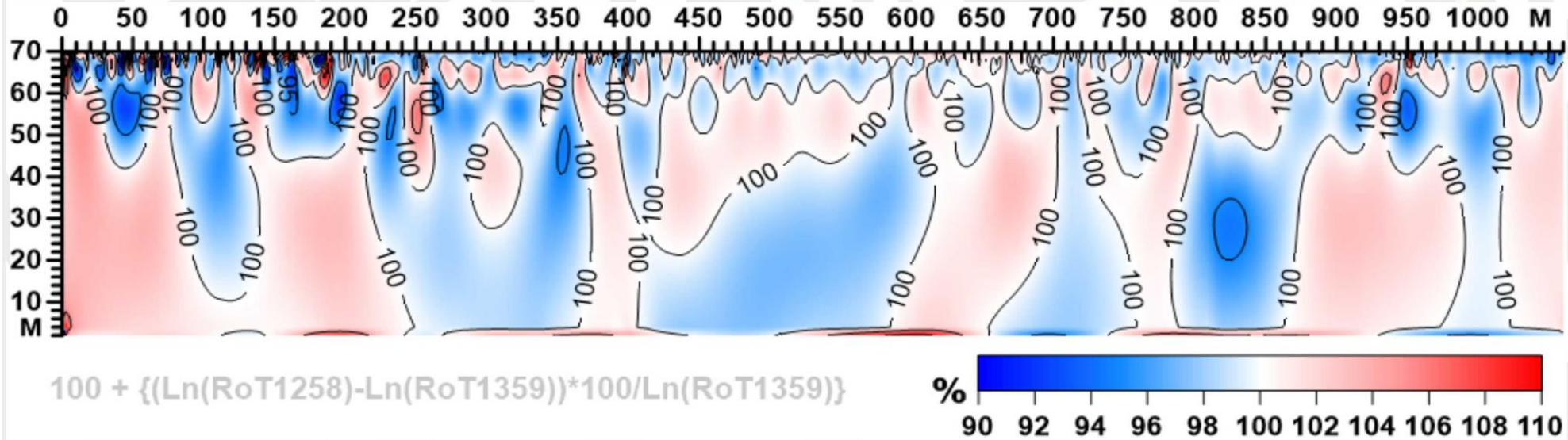
РЕЗУЛЬТАТЫ ИНВЕРСИИ ПРОРЕЖЕННЫХ ДАННЫХ ТРЕХЭЛЕКТРОДНЫХ УСТАНОВОК

ВЫБОР ПОСЛЕДОВАТЕЛЬНОСТИ ИЗМЕРЕНИЙ ПО РЕЗУЛЬТАТАМ АНАЛИЗА МОДЕЛЕЙ

ЗАКЛЮЧЕНИЕ

# АНАЛИЗ ЗНАЧЕНИЙ ПАРАМЕТРА СХОДСТВА МОДЕЛЕЙ

## РАЗРЕЗ ПАРАМЕТРА СХОДСТВА Sim(T1258,T1359), %



## ОЦЕНКА ВЕРОЯТНЫХ ЗНАЧЕНИЙ Sim(T1258,T1359)

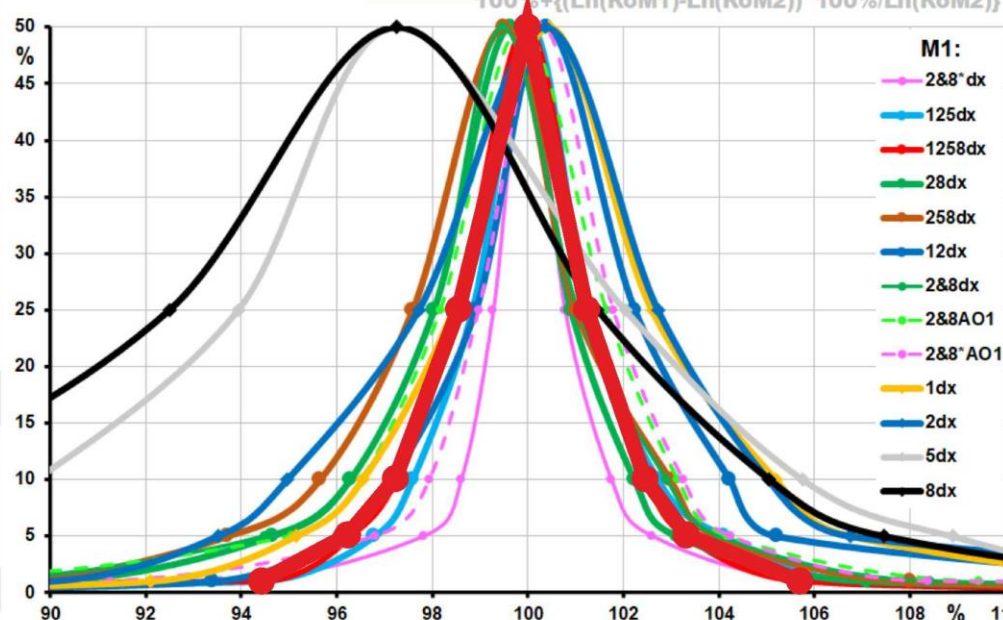
n \ N	0	1	2	3	4	5	6	7	8	9	10	11	12	13
0	% \ name	2&8*dx	125dx	1258dx	28dx	258dx	12dx	2&8dx	2&8AO1	2&8*AO1	1dx	2dx	5dx	8dx
1	0 (min)	29.12	53.28	4.29	8.19	13.23	79.14	2.39	34.84	74.50	76.90	73.40	62.18	0.00
2	1	93.57	94.33	94.44	89.69	88.75	93.39	87.71	86.43	91.24	92.09	89.96	75.94	70.21
3	5	97.82	96.79	96.29	94.64	93.71	96.08	94.48	95.06	96.81	95.15	93.51	87.30	81.19
4	10	98.60	97.59	97.25	96.29	95.65	97.17	96.26	96.51	97.94	96.55	94.97	89.71	86.62
5	25	99.27	98.85	98.52	98.04	97.59	98.91	98.04	98.17	98.97	98.44	97.72	93.94	92.49
6	50 (med)	100.00	100.07	99.98	99.63	99.50	100.39	99.47	99.87	100.31	100.45	100.37	97.27	97.26
7	75	100.77	101.28	101.26	100.91	101.01	102.24	101.05	101.64	101.79	102.61	102.73	102.04	101.46
8	90	101.74	102.72	102.50	102.24	102.98	104.23	102.90	103.14	103.25	105.20	105.04	105.76	105.06
9	95	102.59	104.11	103.31	103.13	103.94	105.20	104.00	104.17	104.25	106.78	106.75	108.89	107.46
10	99	106.09	106.82	105.69	107.10	108.00	116.13	108.42	109.45	108.37	115.18	120.30	114.42	115.73
11	100 (max)	129.33	120.81	119.40	132.95	131.72	132.14	151.70	177.91	425.87	262.93	136.31	145.38	140.48
12	StDev	2.20	2.36	2.42	3.06	3.48	3.66	3.69	3.81	4.01	4.18	4.85	7.09	8.29

# АНАЛИЗ ЗНАЧЕНИЙ ПАРАМЕТРА СХОДСТВА МОДЕЛЕЙ

## ОЦЕНКА ВЕРОЯТНЫХ ЗНАЧЕНИЙ Sim(T1258,T1359)

n \ N	0	1	2	3	4	5	6	7	8	9	10	11	12	13
0	% \ name	2&8*dx	125dx	1258dx	28dx	258dx	12dx	2&8dx	2&8AO1	2&8*AO1	1dx	2dx	5dx	8dx
1	0 (min)	29.12	53.28	4.29	8.19	13.23	79.14	2.39	34.84	74.50	76.90	73.40	62.18	0.00
2	1	93.57	94.33	94.44	89.69	88.75	93.39	87.71	86.43	91.24	92.09	89.96	75.94	70.21
3	5	97.82	96.79	96.29	94.64	93.71	96.08	94.48	95.06	96.81	95.15	93.51	87.30	81.19
4	10	98.60	97.59	97.25	96.29	95.65	97.17	96.26	96.51	97.94	96.55	94.97	89.71	86.62
5	25	99.27	98.85	98.52	98.04	97.59	98.91	98.04	98.17	98.97	98.44	97.72	93.94	92.49
6	50 (med)	100.00	100.07	99.98	99.63	99.50	100.39	99.47	99.87	100.31	100.45	100.37	97.27	97.26
7	75	100.77	101.28	101.26	100.91	101.01	102.24	101.05	101.64	101.79	102.61	102.73	102.04	101.46
8	90	101.74	102.72	102.50	102.24	102.98	104.23	102.90	103.14	103.25	105.20	105.04	105.76	105.06
9	95	102.59	104.11	103.31	103.13	103.94	105.20	104.00	104.17	104.25	106.78	106.75	108.89	107.46
10	99	106.09	106.82	105.69	107.10	108.00	116.13	108.42	109.45	108.37	115.18	120.30	114.42	115.73
11	100 (max)	129.33	120.81	119.40	132.95	131.72	132.14	151.70	177.91	425.87	262.93	136.31	145.38	140.48
12	StDev	2.20	2.36	2.42	3.06	3.48	3.66	3.69	3.81	4.01	4.18	4.85	7.09	8.29

ОЦЕНКА ПЛОТНОСТИ  
РАСПРЕДЕЛЕНИЯ  
ЗНАЧЕНИЙ  
Sim(T1258,T1359)

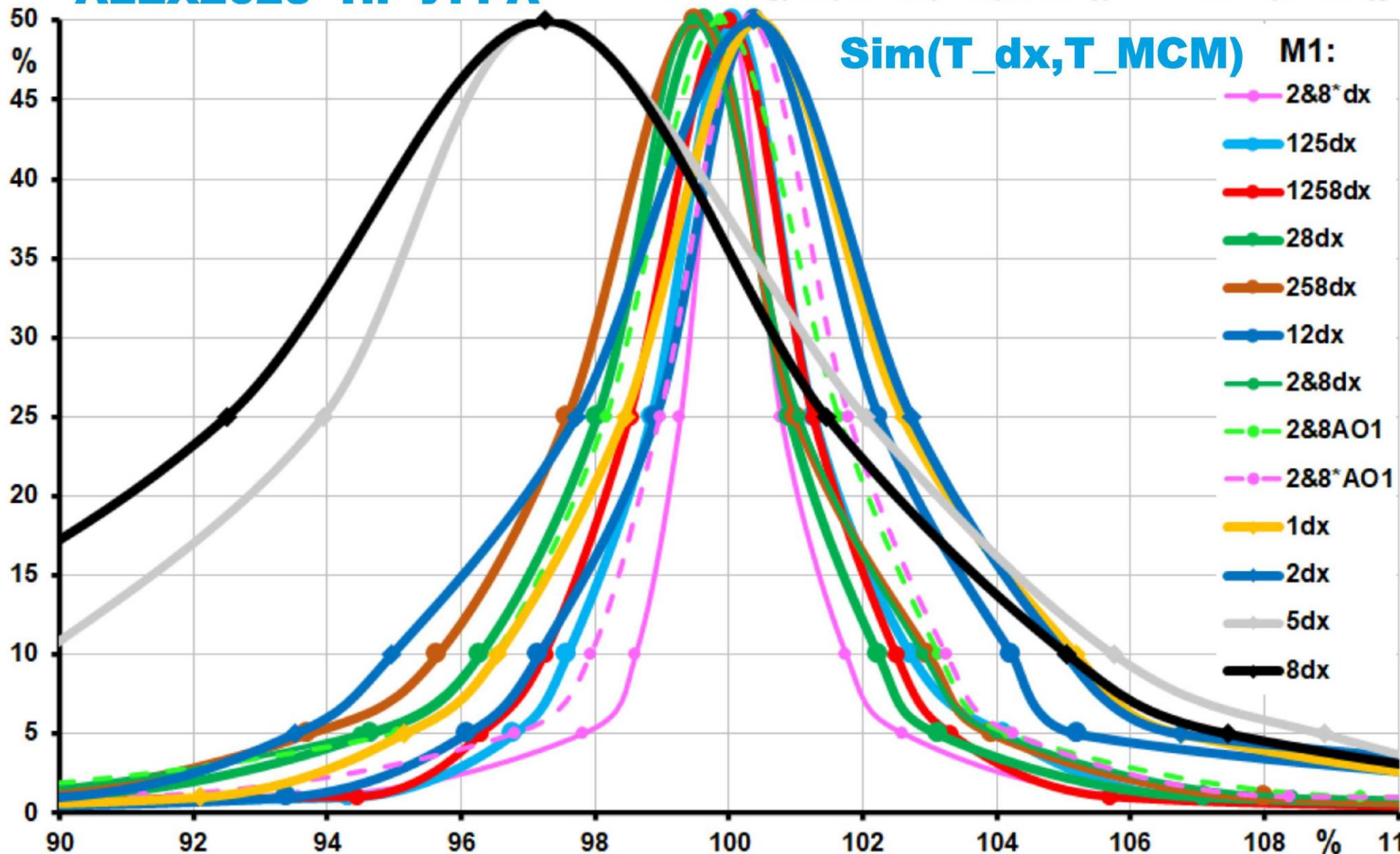


# ОЦЕНКА ПЛОТНОСТИ РАСПРЕДЕЛЕНИЯ СХОДСТВА

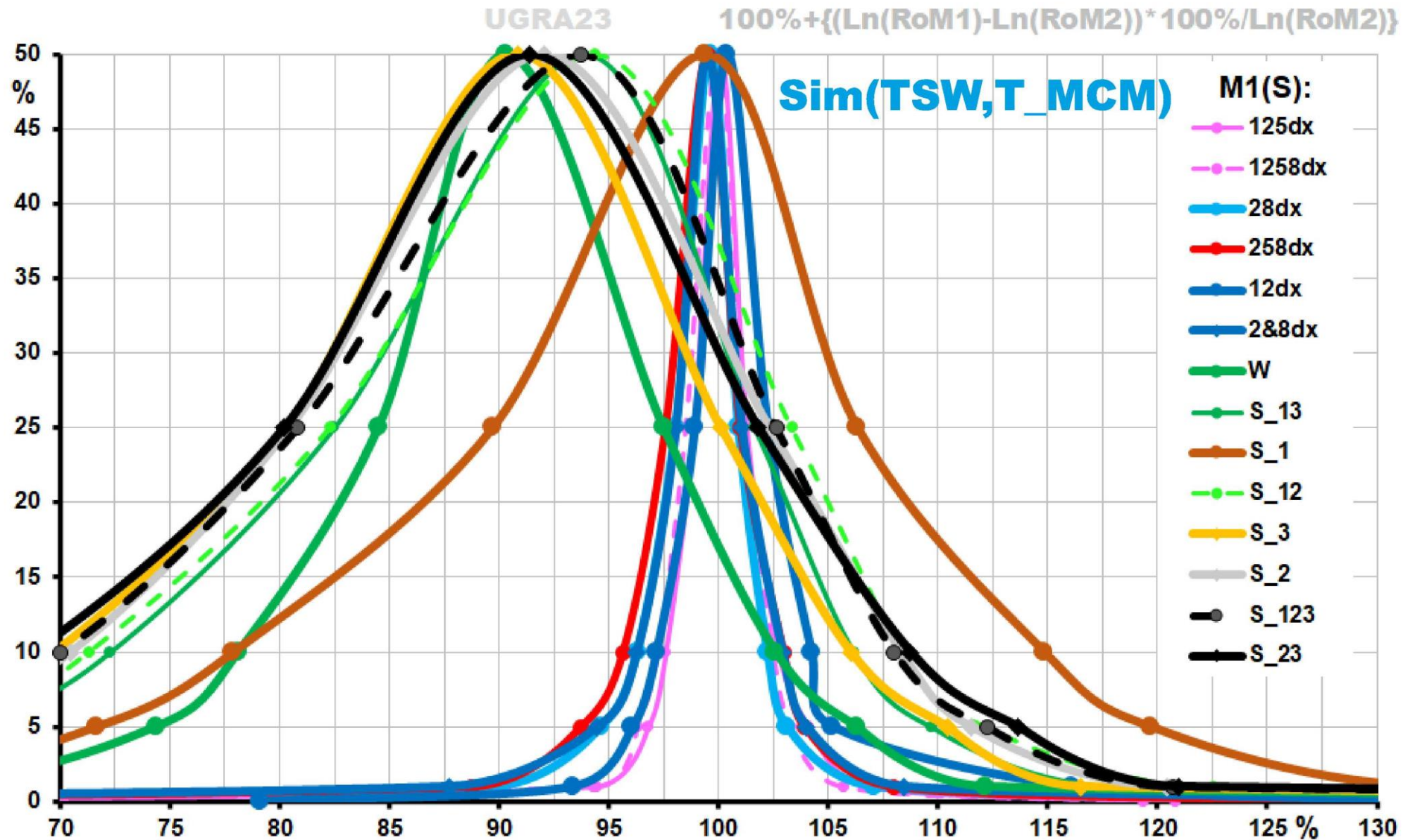
ALEX2023 ПР УГРА

$$100\% + \{( \ln(RoM1) - \ln(RoM2) ) * 100\% / \ln(RoM2) \}$$

Sim(T\_dx, T\_MCM)



# ОЦЕНКА ПЛОТНОСТИ РАСПРЕДЕЛЕНИЯ СХОДСТВА ALEX2023 ПР УГРА



# ОЦЕНКА ПЛОТНОСТИ РАСПРЕДЕЛЕНИЯ СХОДСТВА

## ALEX2023 ПР УГРА

n \ N	0	1	2	3	4	5	6	7	8
0	% \ name	W	S_13	S_1	S_12	S_3	S_2	S_123	S_23
1	0 (min)	33.15	11.68	40.57	21.67	3.35	20.27	0.25	0.00
2	1	63.34	55.25	60.68	52.74	40.95	43.74	48.70	42.46
3	5	74.38	65.64	71.68	64.89	63.05	62.84	61.14	60.90
4	10	78.13	72.28	77.90	71.32	69.76	70.47	70.01	68.77
5	25	84.50	82.48	89.70	82.30	80.31	80.45	80.82	80.18
6	50 (med)	90.33	93.88	99.37	94.39	90.84	92.04	93.70	91.38
7	75	97.50	101.64	106.31	103.36	100.10	102.31	102.63	101.80
8	90	102.61	106.16	114.82	108.44	106.02	108.32	108.01	108.74
9	95	106.31	109.69	119.69	112.21	110.43	111.51	112.25	113.66
10	99	112.15	118.06	132.70	122.57	116.51	120.42	120.69	120.95
11	100 (max)	213.93	263.17	475.22	359.31	270.36	365.54	298.86	354.95
12	StDev	10.16	14.32	14.70	15.28	15.73	15.92	16.39	17.01
13	NdU	2242	4860	2313	5134	2547	2821	7681	5368

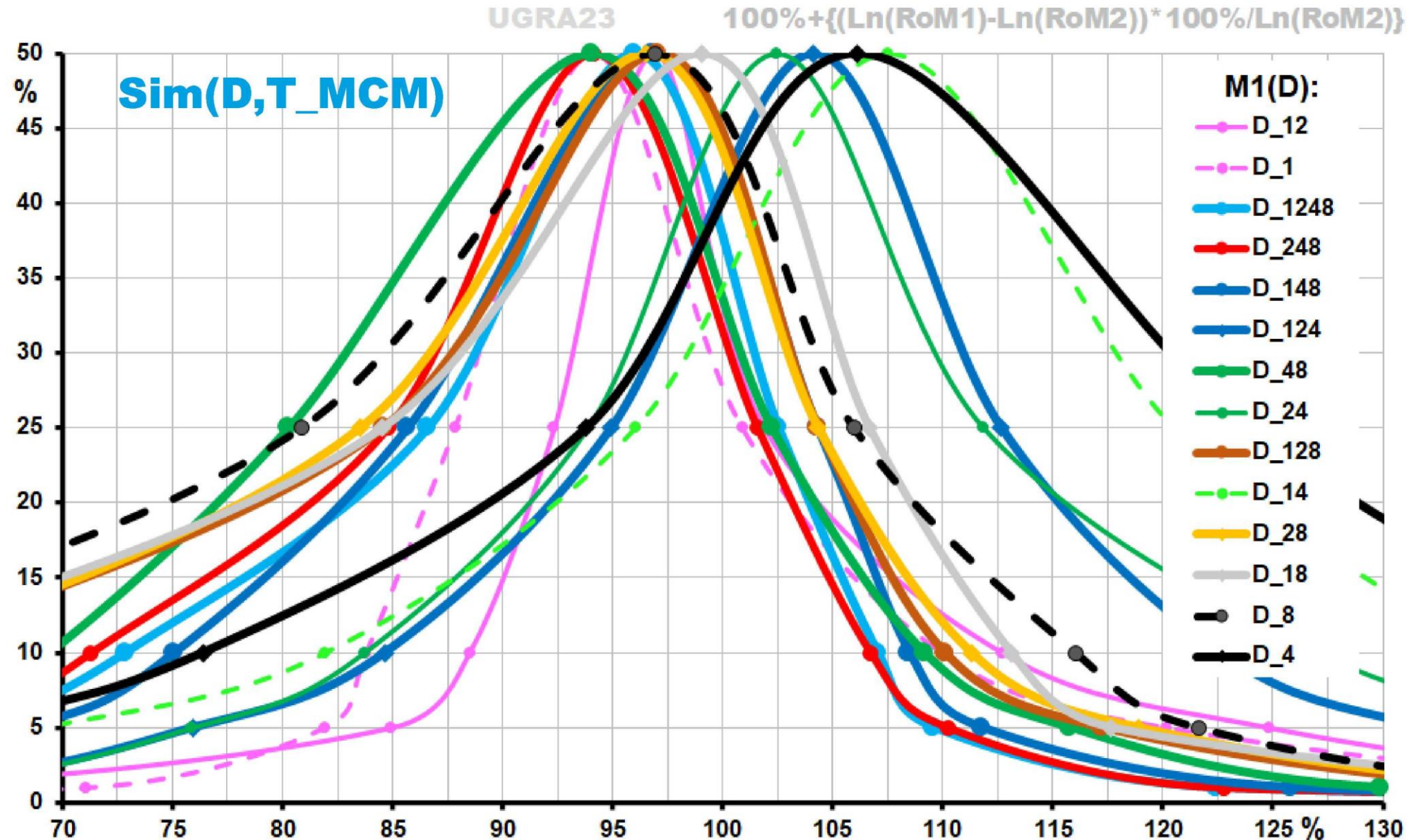
S W

n \ N	0	1	2	3	4	5	6	7	8	9	10	11	12	13	14
0	% \ name	D_12	D_1	D_1248	D_248	D_148	D_124	D_48	D_24	D_128	D_14	D_28	D_18	D_8	D_4
1	0 (min)	13.66	21.13	20.94	19.36	19.11	0.00	0.00	0.00	13.29	0.00	0.00	5.21	0.00	0.00
2	1	60.60	71.08	58.34	57.03	51.83	61.33	48.77	61.83	26.80	51.98	22.54	24.31	28.15	44.30
3	5	84.96	81.91	66.16	65.37	68.16	75.93	63.23	75.90	48.63	69.07	46.73	45.88	45.13	63.71
4	10	88.50	83.80	72.86	71.29	75.07	84.64	69.43	83.72	61.78	81.93	61.81	59.99	56.64	76.37
5	25	92.35	87.84	86.61	84.79	85.68	94.93	80.29	93.87	84.58	96.03	83.53	84.55	80.84	93.81
6	50 (med)	96.90	94.12	96.00	94.15	96.78	104.15	94.08	102.46	97.07	107.54	96.55	99.03	96.92	106.10
7	75	101.90	100.90	102.53	101.59	104.30	112.66	102.23	111.85	104.35	120.51	104.33	106.67	105.96	123.90
8	90	112.70	109.95	107.04	106.73	108.48	122.68	109.16	127.06	110.10	134.82	111.29	113.13	116.05	142.06
9	95	124.82	120.18	109.61	110.27	111.77	132.01	115.80	139.67	117.24	143.53	118.88	117.66	121.62	156.72
10	99	143.85	146.25	122.47	122.77	125.84	148.03	129.92	157.65	136.37	160.33	139.33	143.69	139.70	179.46
11	100 (max)	158.80	185.91	191.13	205.18	178.69	163.78	186.03	187.83	166.77	181.91	187.49	190.03	183.31	201.03
12	StDev	12.99	13.17	13.51	13.89	14.41	16.40	16.51	18.23	20.68	21.54	21.63	22.49	23.34	26.76
13	NdU	2359	989	5656	4667	4286	4121	3297	3132	3894	2751	2905	2524	1535	1762

D

# ОЦЕНКА ПЛОТНОСТИ РАСПРЕДЕЛЕНИЯ СХОДСТВА ALEX2023 ПР УГРА

D



# ОЦЕНКА ПЛОТНОСТИ РАСПРЕДЕЛЕНИЯ СХОДСТВА

## ALEX2023 ПР УГРА

n \ N	0	1	2	3	4	5	6	7	8	9	10	11	12	13	14
0	% \ name	D_12	D_1	D_1248	D_248	D_148	D_124	D_48	D_24	D_128	D_14	D_28	D_18	D_8	D_4
1	0 (min)	13.66	21.13	20.94	19.36	19.11	0.00	0.00	0.00	13.29	0.00	0.00	5.21	0.00	0.00
2	1	60.60	71.08	58.34	57.03	51.83	61.33	48.77	61.83	26.80	51.98	22.54	24.31	28.15	44.30
3	5	84.96	81.91	66.16	65.37	68.16	75.93	63.23	75.90	48.63	69.07	46.73	45.88	45.13	63.71
4	10	88.50	83.80	72.86	71.29	75.07	84.64	69.43	83.72	61.78	81.93	61.81	59.99	56.64	76.37
5	25	92.35	87.84	86.61	84.79	85.68	94.93	80.29	93.87	84.58	96.03	83.53	84.55	80.84	93.81
6	50 (med)	96.90	94.12	96.00	94.15	96.78	104.15	94.08	102.46	97.07	107.54	96.55	99.03	96.92	106.10
7	75	101.90	100.90	102.53	101.59	104.30	112.66	102.23	111.85	104.35	120.51	104.33	106.67	105.96	123.90
8	90	112.70	109.95	107.04	106.73	108.48	122.68	109.16	127.06	110.10	134.82	111.29	113.13	116.05	142.06
9	95	124.82	120.18	109.61	110.27	111.77	132.01	115.80	139.67	117.24	143.53	118.88	117.66	121.62	156.72
10	99	143.85	146.25	122.47	122.77	125.84	148.03	129.92	157.65	136.37	160.33	139.33	143.69	139.70	179.46
11	100 (max)	158.80	185.91	191.13	205.18	178.69	163.78	186.03	187.83	166.77	181.91	187.49	190.03	183.31	201.03
12	StDev	12.99	13.17	13.51	13.89	14.41	16.40	16.51	18.23	20.68	21.54	21.63	22.49	23.34	26.76
13	NdU	2359	989	5656	4667	4286	4121	3297	3132	3894	2751	2905	2524	1535	1762

D

## VLGR 2023 ПР 1 (382 м, dx=2 м)

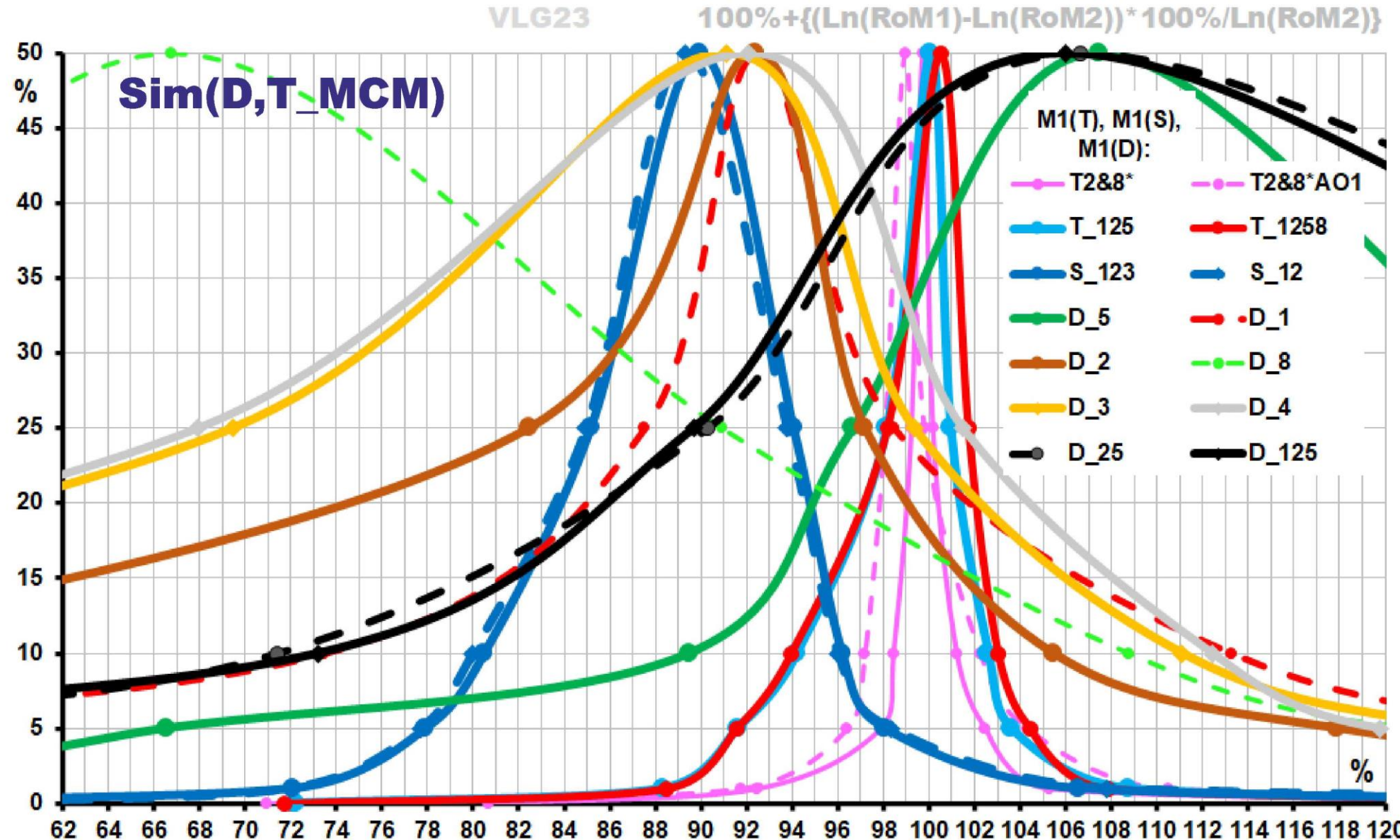
n \ N	0	1	2	3	4	5	6	7	8
0	% \ name	D_5	D_1	D_2	D_8	D_3	D_4	D_25	D_125
1	0 (min)	-72.99	-149.34	-130.38	-135.18	-113.21	-115.67	-72.99	-86.20
2	1	44.85	-21.43	-50.76	-20.14	-50.96	-56.94	21.86	-9.86
3	5	66.56	38.41	10.29	5.37	0.05	-6.01	46.64	33.06
4	10	89.50	73.49	45.97	19.85	27.29	25.35	71.40	73.23
5	25	96.68	87.54	82.47	44.72	69.47	67.95	90.26	89.69
6	50 (med)	107.46	92.49	92.38	66.75	91.10	92.10	106.65	105.97
7	75	127.97	98.48	97.20	90.93	99.35	101.46	147.49	143.80
8	90	143.78	113.29	105.45	108.79	111.11	112.41	187.74	187.67
9	95	150.71	129.13	117.93	121.62	124.04	119.79	200.35	204.78
10	99	163.19	175.90	145.58	180.85	156.78	151.48	222.30	226.94
11	100 (max)	307.09	307.55	226.98	366.86	284.56	328.98	262.01	249.67
12	StDev	24.7	29.2	33.8	38.1	38.5	39.7	45.0	48.2
13	NdU	1795	907	1193	1559	1498	1561	2988	3895

D

# ОЦЕНКА ПЛОТНОСТИ РАСПРЕДЕЛЕНИЯ СХОДСТВА

## VLGR 2023 ПР 1 (382 м, dx=2 м)

D



# ОЦЕНКА ПЛОТНОСТИ РАСПРЕДЕЛЕНИЯ СХОДСТВА

## VLGR 2023 ПР 1 (382 м, dx=2 м)

n \ N	0	1	2	3	4	5	6	7	8	9	10	11	12	13	14
0	% \ name	T2&8*	T2&8*AO1	T_125	T_1258	T_12	T_2	T_28	T_2&8	T_258	T2&8AO1	T_1	T_5	T_58	T_8
1	0 (min)	80.68	70.94	72.23	71.74	71.77	58.09	55.90	49.44	54.81	41.90	67.48	32.51	28.82	31.25
2	1	92.47	91.74	88.32	88.50	86.14	76.39	75.79	73.24	74.74	73.86	76.41	64.43	64.44	65.38
3	5	97.88	96.40	91.60	91.57	89.59	89.93	91.19	91.01	90.96	90.92	86.43	85.21	84.71	84.25
4	10	98.44	97.18	94.21	93.96	92.82	92.34	93.42	93.54	93.45	93.09	88.08	91.80	92.33	90.65
5	25	99.22	98.06	98.15	98.18	95.46	96.21	97.97	98.06	97.90	97.40	90.96	98.21	98.19	95.92
6	50 (med)	99.73	98.95	100.08	100.52	97.90	98.64	100.74	100.30	101.07	99.54	94.64	100.37	100.73	99.68
7	75	100.17	99.78	100.96	101.74	99.93	100.93	101.87	101.47	102.48	100.67	99.41	101.65	102.79	101.99
8	90	101.22	102.24	102.61	103.05	102.50	102.84	103.84	103.56	104.24	103.27	104.66	104.09	105.19	105.66
9	95	102.48	104.33	103.61	104.45	103.97	104.29	105.66	105.00	106.37	104.88	107.44	107.85	107.82	112.44
10	99	105.26	110.50	108.74	107.83	108.26	112.46	113.11	113.31	113.18	117.37	114.54	117.75	117.99	138.02
11	100 (max)	140.58	166.39	144.19	148.95	136.38	165.79	173.02	186.91	177.68	200.91	142.84	264.51	274.27	303.73
12	StDev	1.94	3.07	3.74	4.02	4.24	5.62	5.76	6.04	6.05	6.25	7.03	8.92	9.18	11.38
13	NdU	4565	2265	15274	21086	8921	4895	10707	4565	17060	2265	4026	6353	12165	5812

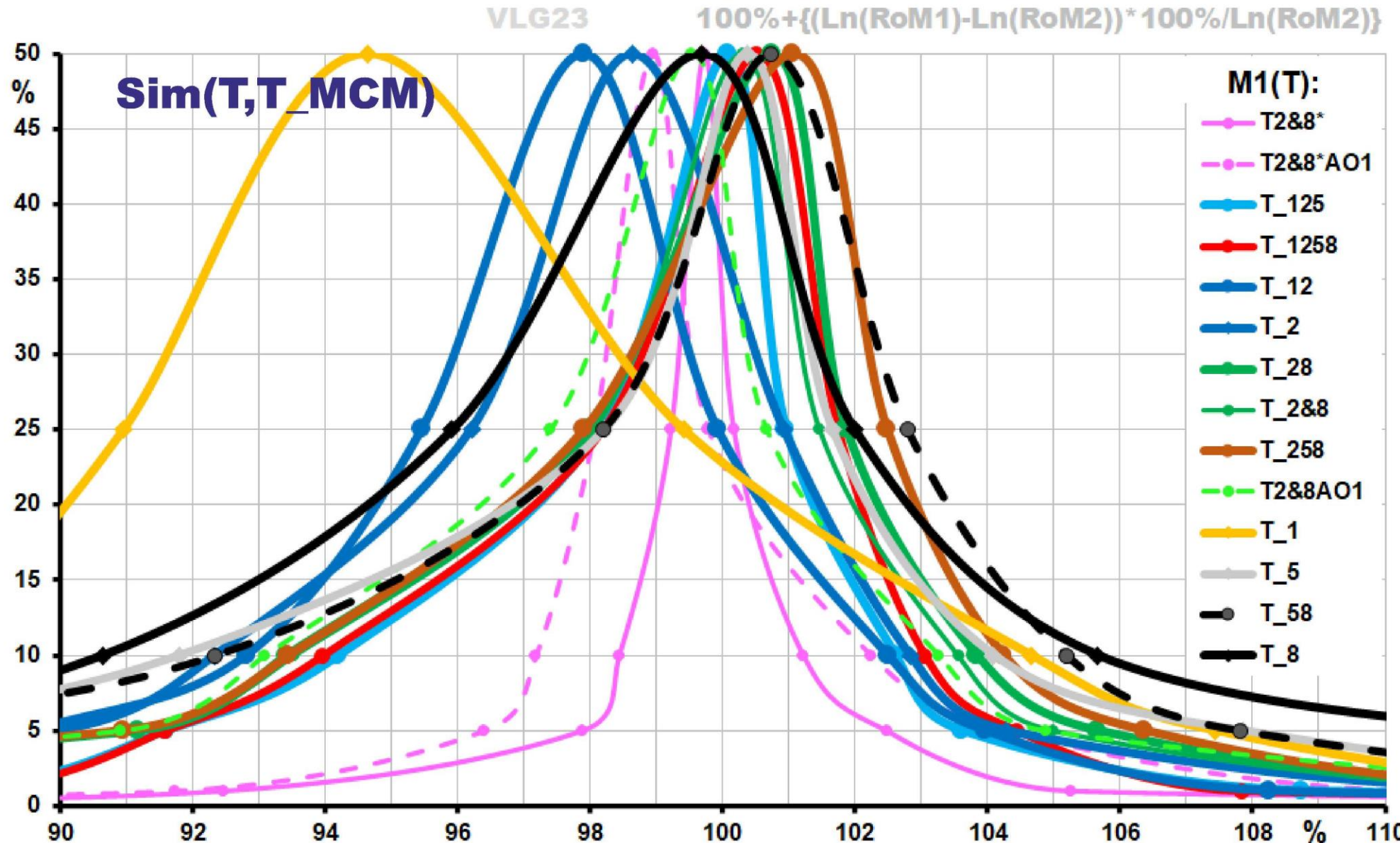
n \ N	0	1	2	3	4	5	6	7	8
0	% \ name	S_123	S_12	S_13	W	S_2	S_23	S_3	S_1
1	0 (min)	45.68	56.62	46.94	36.03	48.35	39.58	24.10	52.36
2	1	72.13	72.00	72.09	72.53	69.13	68.04	64.29	67.12
3	5	77.92	77.69	77.39	78.47	76.78	77.01	75.58	75.27
4	10	80.50	79.98	79.98	80.78	79.47	79.98	79.35	77.84
5	25	85.16	84.95	85.05	85.33	85.24	85.64	85.55	82.66
6	50 (med)	89.94	89.33	89.93	90.27	90.57	91.83	91.58	87.62
7	75	94.05	93.77	93.80	94.04	94.85	95.79	95.21	92.05
8	90	96.18	96.00	95.95	97.35	96.93	98.13	97.83	96.56
9	95	98.05	98.31	98.21	99.31	99.07	99.38	99.09	101.86
10	99	106.56	107.78	108.41	109.02	107.37	106.49	109.49	114.93
11	100 (max)	153.28	187.03	162.91	191.16	156.51	141.74	146.80	196.97
12	StDev	6.76	6.96	6.98	7.03	7.53	7.67	8.26	8.70
13	NdU	6510	4337	4140	1888	2370	4543	2173	1967

S W

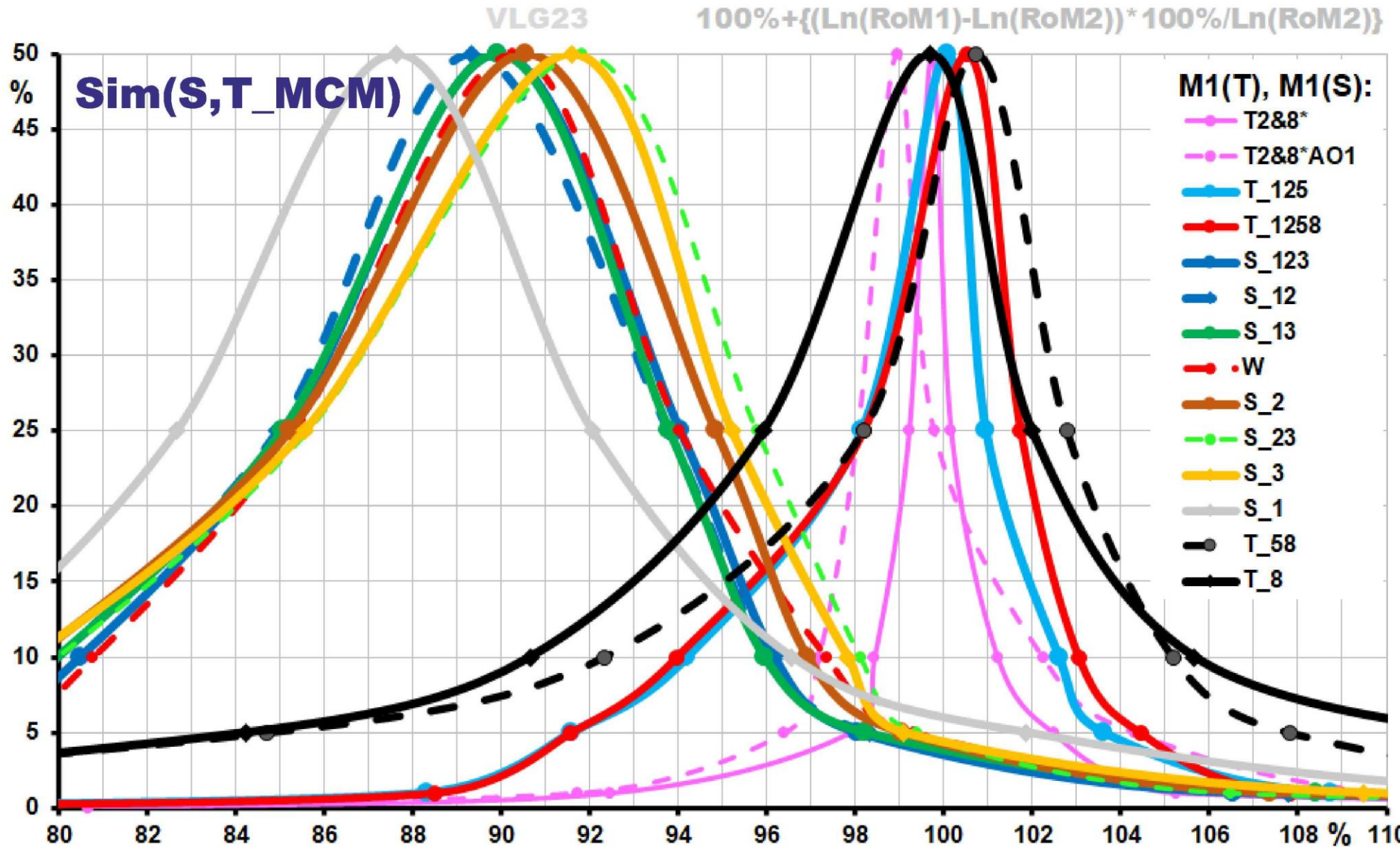
# ОЦЕНКА ПЛОТНОСТИ РАСПРЕДЕЛЕНИЯ СХОДСТВА

## VLGR 2023 ПР 1 (382 м, dx=2 м)

T



**ОЦЕНКА ПЛОТНОСТИ РАСПРЕДЕЛЕНИЯ СХОДСТВА**  
**VLGR 2023 ПР 1 (382 м, dx=2 м)** **T S W**



# ОЦЕНКА ПЛОТНОСТИ РАСПРЕДЕЛЕНИЯ СХОДСТВА ALEX2023 ПР УГРА

**T T - mn28dx ?!**

n \ N	0	1	2	3	4	5	6	7	8	9	10	11	12	13
0	% \ name	2&8*dx	125dx	1258dx	28dx	258dx	12dx	2&8dx	2&8AO1	2&8*AO1	1dx	2dx	5dx	8dx
1	0 (min)	29.12	53.28	4.29	8.19	13.23	79.14	2.39	34.84	74.50	76.90	73.40	62.18	0.00
2	1	93.57	94.33	94.44	89.69	88.75	93.39	87.71	86.43	91.24	92.09	89.96	75.94	70.21
3	5	97.82	96.79	96.29	94.64	93.71	96.08	94.48	95.06	96.81	95.15	93.51	87.30	81.19
4	10	98.60	97.59	97.25	96.29	95.65	97.17	96.26	96.51	97.94	96.55	94.97	89.71	86.62
5	25	99.27	98.85	98.52	98.04	97.59	98.91	98.04	98.17	98.97	98.44	97.72	93.94	92.49
6	50 (med)	100.00	100.07	99.98	99.63	99.50	100.39	99.47	99.87	100.31	100.45	100.37	97.27	97.26
7	75	100.77	101.28	101.26	100.91	101.01	102.24	101.05	101.64	101.79	102.61	102.73	102.04	101.46
8	90	101.74	102.72	102.50	102.24	102.98	104.23	102.90	103.14	103.25	105.20	105.04	105.76	105.06
9	95	102.59	104.11	103.31	103.13	103.94	105.20	104.00	104.17	104.25	106.78	106.75	108.89	107.46
10	99	106.09	106.82	105.69	107.10	108.00	116.13	108.42	109.45	108.37	115.18	120.30	114.42	115.73
11	100 (max)	129.33	120.81	119.40	132.95	131.72	132.14	151.70	177.91	425.87	262.93	136.31	145.38	140.48
12	StDev	2.20	2.36	2.42	3.06	3.48	3.66	3.69	3.81	4.01	4.18	4.85	7.09	8.29
13	NdU	4626	17318	22725	10994	18027	10285	4626	2474	2474	4698	5587	7033	5407

n \ N	0	1	2	3	4	5	6	7	n \ N	0	1	2	3	4	5	6	7	8
0	% \ name	D_12	D_1	D_1248	D_248	D_148	D_124	D_48	0	% \ name	W	S_13	S_1	S_12	S_3	S_2	S_12	S_23
1	0 (min)	13.66	21.13	20.94	19.36	19.11	0.00	0.00	1	0 (min)	33.15	11.68	40.57	21.67	3.35	20.27	0.25	0.00
2	1	60.60	71.08	58.34	57.03	51.83	61.33	48.77	2	1	63.34	55.25	60.68	52.74	40.95	43.74	41.24	42.46
3	5	84.96	81.91	66.16	65.37	68.16	75.93	63.23	3	5	74.38	65.64	71.68	64.89	63.05	62.84	61.84	60.90
4	10	88.50	83.80	72.86	71.29	75.07	84.64	69.43	4	10	78.13	72.28	77.90	71.32	69.76	70.47	70.47	68.77
5	25	92.35	87.84	86.61	84.79	85.68	94.93	80.29	5	25	84.50	82.48	89.70	82.30	80.31	80.45	80.82	80.18
6	50 (med)	96.90	94.12	96.00	94.15	96.78	104.15	94.08	6	50 (med)	90.33	93.88	99.37	94.39	90.84	92.04	93.70	91.38
7	75	101.90	100.90	102.53	101.59	104.30	112.66	102.23	7	75	97.50	101.64	106.31	103.36	100.10	102.31	102.63	101.80
8	90	112.70	109.95	107.04	106.73	108.48	122.68	109.16	8	90	102.61	106.16	114.82	108.44	106.02	108.32	108.01	108.74
9	95	124.82	120.18	109.61	110.27	111.77	132.01	115.80	9	95	106.31	109.69	119.69	112.21	110.43	111.51	112.25	113.66
10	99	143.85	146.25	122.47	122.77	125.84	148.03	129.92	10	99	112.15	118.06	132.70	122.57	116.51	120.42	120.69	120.95
11	100 (max)	158.80	185.91	191.13	205.18	178.69	163.78	186.03	11	100 (max)	213.93	263.17	475.22	359.31	270.36	365.54	298.86	354.95
12	StDev	12.99	13.17	13.51	13.89	14.41	16.40	16.51	12	StDev	10.16	14.32	14.70	15.28	15.73	15.92	16.39	17.01
13	NdU	2359	989	5656	4667	4286	4121	3297	13	NdU	2242	4860	2313	5134	2547	2821	7681	5368

# ОЦЕНКА ПЛОТНОСТИ РАСПРЕДЕЛЕНИЯ СХОДСТВА VLGR 2023 ПР 1 (382м,dx=2м) T\_mn28dx ?!

n \ N	0	1	2	3	4	5	6	7	T	9	10	11	12	13	14
0	% \ name	T2&8*	T2&8*AO1	T_125	T_1258	T_12	T_2	T_28	T	T_258	T2&8AO1	T_1	T_5	T_58	T_8
1	0 (min)	80.68	70.94	72.23	71.74	71.77	58.09	55.90	49.44	54.81	41.90	67.48	32.51	28.82	31.25
2	1	92.47	91.74	88.32	88.50	86.14	76.39	75.79	73.24	74.74	73.86	76.41	64.43	64.44	65.38
3	5	97.88	96.40	91.60	91.57	89.59	89.93	91.19	91.01	90.96	90.92	86.43	85.21	84.71	84.25
4	10	98.44	97.18	94.21	93.96	92.82	92.34	93.42	93.54	93.45	93.09	88.08	91.80	92.33	90.65
5	25	99.22	98.06	98.15	98.18	95.46	96.21	97.07	98.06	97.90	97.40	90.96	98.21	98.19	95.92
6	50 (med)	99.73	98.95	100.08	100.52	97.90	98.64	100.74	100.30	101.07	99.54	94.64	100.37	100.73	99.68
7	75	100.17	99.78	100.96	101.74	99.93	100.93	101.87	101.47	102.48	100.67	99.41	101.65	102.79	101.99
8	90	101.22	102.24	102.61	103.05	102.50	102.84	103.84	103.56	104.24	103.27	104.66	104.09	105.19	105.66
9	95	102.48	104.33	103.61	104.45	103.97	104.29	105.66	105.00	106.37	104.88	107.44	107.85	107.82	112.44
10	99	105.26	110.50	108.74	107.83	108.26	112.46	113.11	113.31	113.18	117.37	114.54	117.75	117.99	138.02
11	100 (max)	140.58	166.39	144.19	148.95	136.38	165.79	173.02	186.91	177.68	200.91	142.84	264.51	274.27	303.73
12	StDev	1.94	3.07	3.74	4.02	4.24	5.62	5.76	6.04	6.05	6.25	7.03	8.92	9.18	11.38
13	NdU	4565	2265	15274	21086	8921	4895	10707	4565	17060	2265	4026	6353	12165	5812

n \ N	0	1	2	3	4	5	D	7	n \ N	0	1	2	3	4	5	7	8	
0	% \ name	D_5	D_1	D_2	D_8	D_3	D	D_1	0	% \ name	S_123	S_12	S_13	W	S_2	S_3	S_1	
1	0 (min)	-72.99	-149.34	-130.38	-135.18	-113.21	-115.67	-72.	1	0 (min)	45.68	56.62	46.94	36.03	48.35	39.58	24.10	52.36
2	1	44.85	-21.43	-50.76	-20.14	-50.96	-56.94	21.8	2	1	72.13	72.00	72.09	72.53	69.13	68.62	64.29	67.12
3	5	66.56	38.41	10.29	5.37	0.05	-6.01	46.0	3	5	77.92	77.69	77.39	78.47	76.78	73.82	75.58	75.27
4	10	89.50	73.49	45.97	19.85	27.29	25.35	71.4	4	10	80.50	79.98	79.98	80.78	79.47	79.00	79.35	77.84
5	25	96.68	87.54	82.47	44.72	69.47	67.95	90.1	5	25	85.16	84.95	85.05	85.33	85.24	85.64	85.55	82.66
6	50 (med)	107.46	92.49	92.38	66.75	91.10	92.10	106.	6	50 (med)	89.94	89.33	89.93	90.27	90.57	91.83	91.58	87.62
7	75	127.97	98.48	97.20	90.93	99.35	101.46	147.	7	75	94.05	93.77	93.80	94.04	94.85	95.79	95.21	92.05
8	90	143.78	113.29	105.45	108.79	111.11	112.41	187.	8	90	96.18	96.00	95.95	97.35	96.93	98.13	97.83	96.56
9	95	150.71	129.13	117.93	121.62	124.04	119.79	200.	9	95	98.05	98.31	98.21	99.31	99.07	99.38	99.09	101.86
10	99	163.19	175.90	145.58	180.85	156.78	151.48	222.	10	99	106.56	107.78	108.41	109.02	107.37	106.49	109.49	114.93
11	100 (max)	307.09	307.55	226.98	366.86	284.56	328.98	262.	11	100 (max)	153.28	187.03	162.91	191.16	156.51	141.74	146.80	196.97
12	StDev	24.7	29.2	33.8	38.1	38.5	39.7	45.	12	StDev	6.76	6.96	6.98	7.03	7.53	7.67	8.26	8.70
13	NdU	1795	907	1193	1559	1498	1561	298	13	NdU	6510	4337	4140	1888	2370	4543	2173	1967

ФИЛИАЛ МОСКОВСКОГО ГОСУДАРСТВЕННОГО УНИВЕРСИТЕТА  
ИМЕНИ М.В. ЛОМОНОСОВА В ГОРОДЕ ДУШАНБЕ

270 лет МГУ  
1755 2025

15 ФМГУД  
2009 2024

МЕЖДУНАРОДНАЯ НАУЧНО-ПРАКТИЧЕСКАЯ КОНФЕРЕНЦИЯ XIV ЛОМОНОСОВСКИЕ ЧТЕНИЯ «РОЛЬ ФИЛИАЛА  
МОСКОВСКОГО ГОСУДАРСТВЕННОГО УНИВЕРСИТЕТА ИМЕНИ М.В. ЛОМОНОСОВА В ГОРОДЕ ДУШАНБЕ В РАЗВИТИИ  
НАУКИ И ОБРАЗОВАНИЯ»

22 НОЯБРЯ 2024



БОЛЬШАКОВ ДМИТРИЙ КОНСТАНТИНОВИЧ \*

МОДИН ИГОРЬ НИКОЛАЕВИЧ

**ИСПОЛЬЗОВАНИЕ СТАТИСТИЧЕСКИХ АТРИБУТОВ  
ПАРАМЕТРА СХОДСТВА ДЛЯ СРАВНЕНИЯ  
РЕЗУЛЬТАТОВ ПОЛЕВОГО ОПРОБОВАНИЯ  
МЕТОДИК ЭЛЕКТРОТОМОГРАФИИ**

УЧАСТКИ ПОЛЕВОГО ОПРОБОВАНИЯ УСТАНОВОК И АППАРАТУРА ДЛЯ ВЫПОЛНЕНИЯ РАБОТ  
ПОСЛЕДОВАТЕЛЬНОСТИ СТАНДАРТНЫХ И РАЗДЕЛЬНЫХ ИЗМЕРЕНИЙ МЕТОДОМ ЭТ

ПОЛЕВЫЕ ДАННЫЕ И ИХ СОВОКУПНОСТИ ДЛЯ РАЗНЫХ УСТАНОВОК

ГЕОМЕТРИЯ МОДЕЛЕЙ ДЛЯ ПОЛУЧЕНИЯ РЕЗУЛЬТАТОВ ДВУМЕРНОЙ ИНВЕРСИИ ДАННЫХ

РЕЗУЛЬТАТЫ ИНВЕРСИИ ПОЛЕВЫХ ДАННЫХ СТАНДАРТНЫХ И РАЗДЕЛЬНЫХ ИЗМЕРЕНИЙ

КАЧЕСТВЕННОЕ СРАВНЕНИЕ И КОЛИЧЕСТВЕННАЯ ОЦЕНКА СХОДСТВА МОДЕЛЕЙ

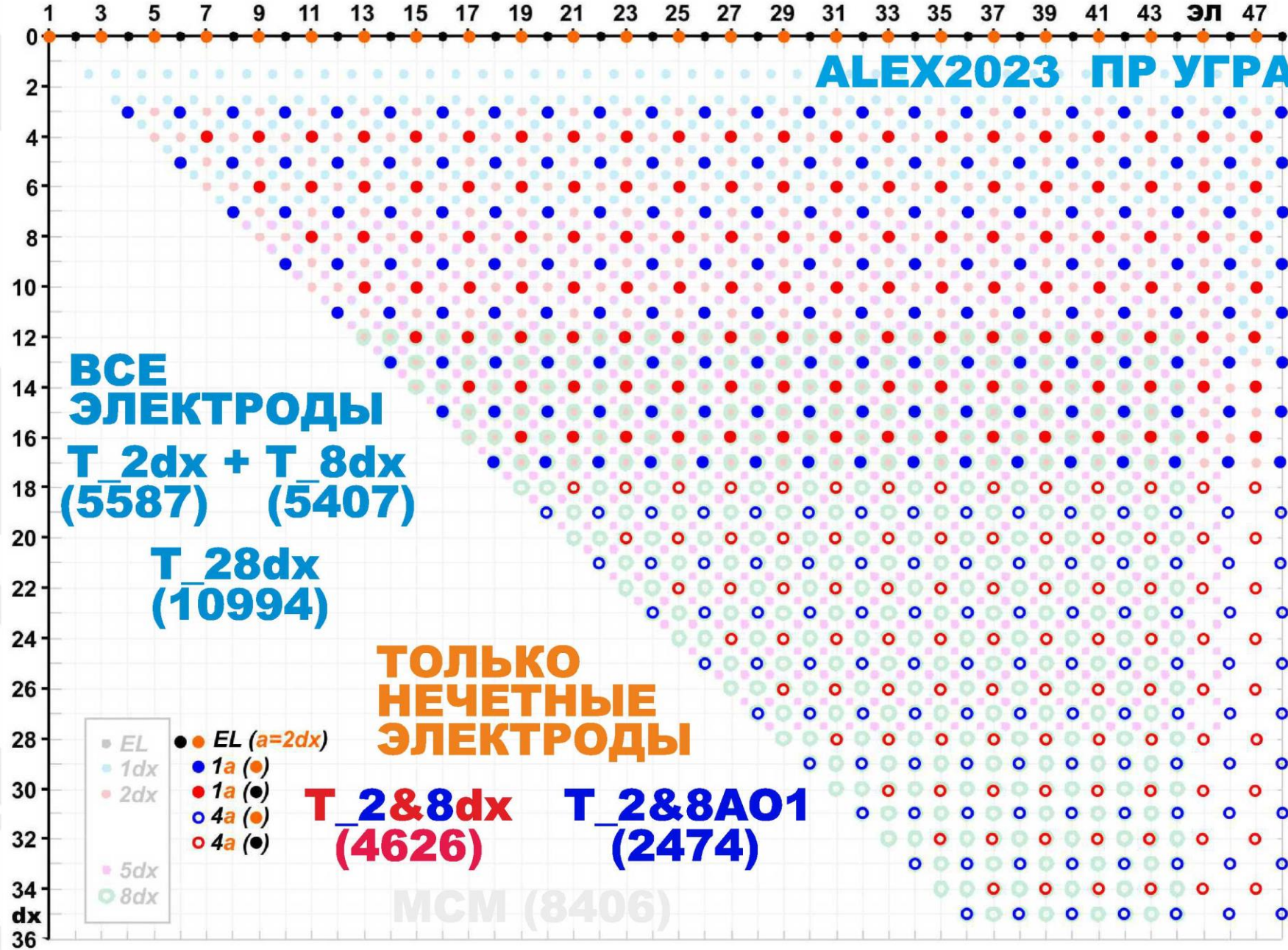
КОЛИЧЕСТВЕННЫЙ АНАЛИЗ СХОДСТВА ГЕОЭЛЕКТРИЧЕСКИХ МОДЕЛЕЙ

**РЕЗУЛЬТАТЫ ИНВЕРСИИ ПРОРЕЖЕННЫХ ДАННЫХ**

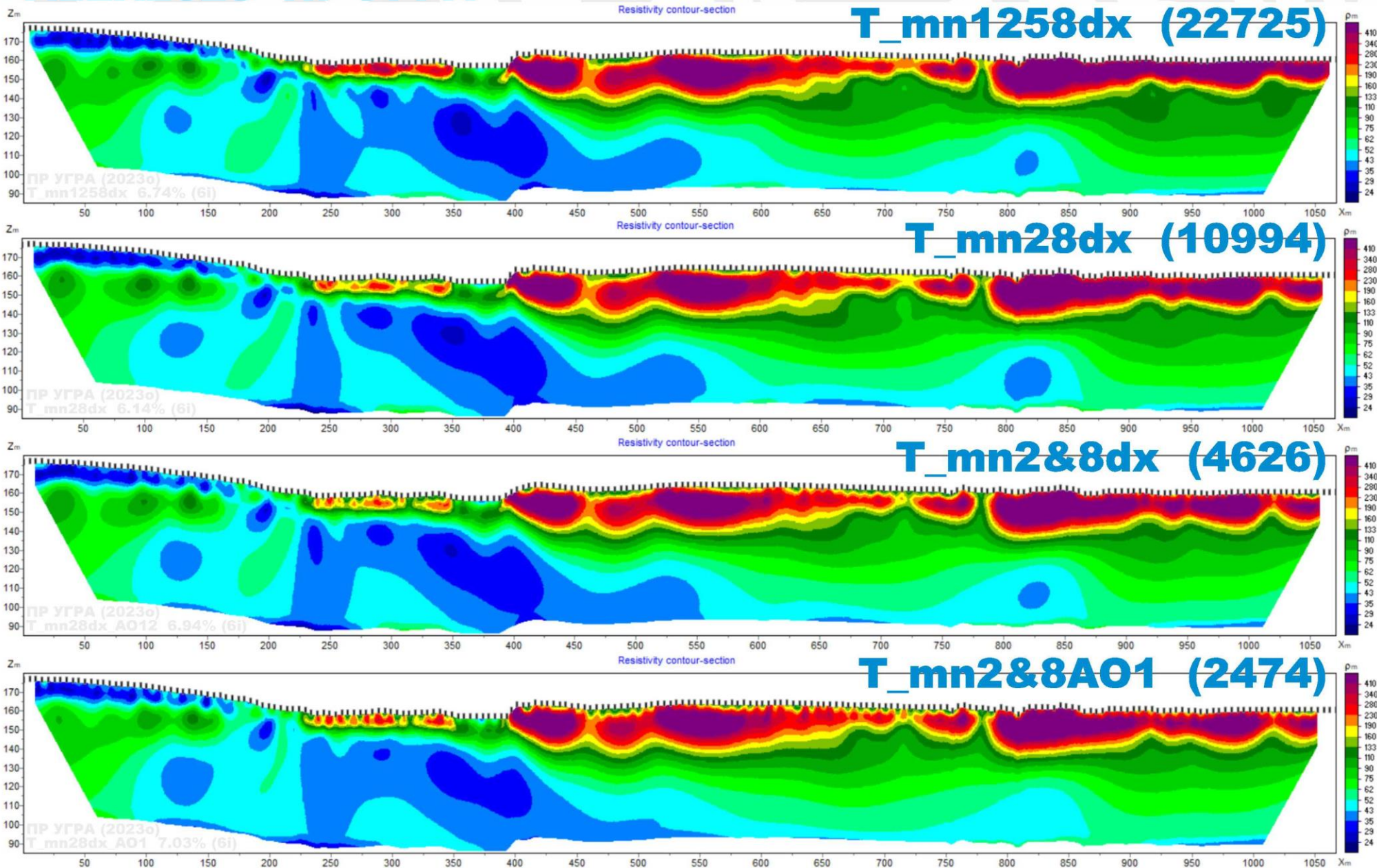
ВЫБОР ПОСЛЕДОВАТЕЛЬНОСТИ ИЗМЕРЕНИЙ ПО РЕЗУЛЬТАТАМ АНАЛИЗА МОДЕЛЕЙ

ЗАКЛЮЧЕНИЕ

# ПРОРЕЖЕННЫЕ ДАННЫЕ (НЕЧЕТНЫЕ ЭЛЕКТРОДЫ)

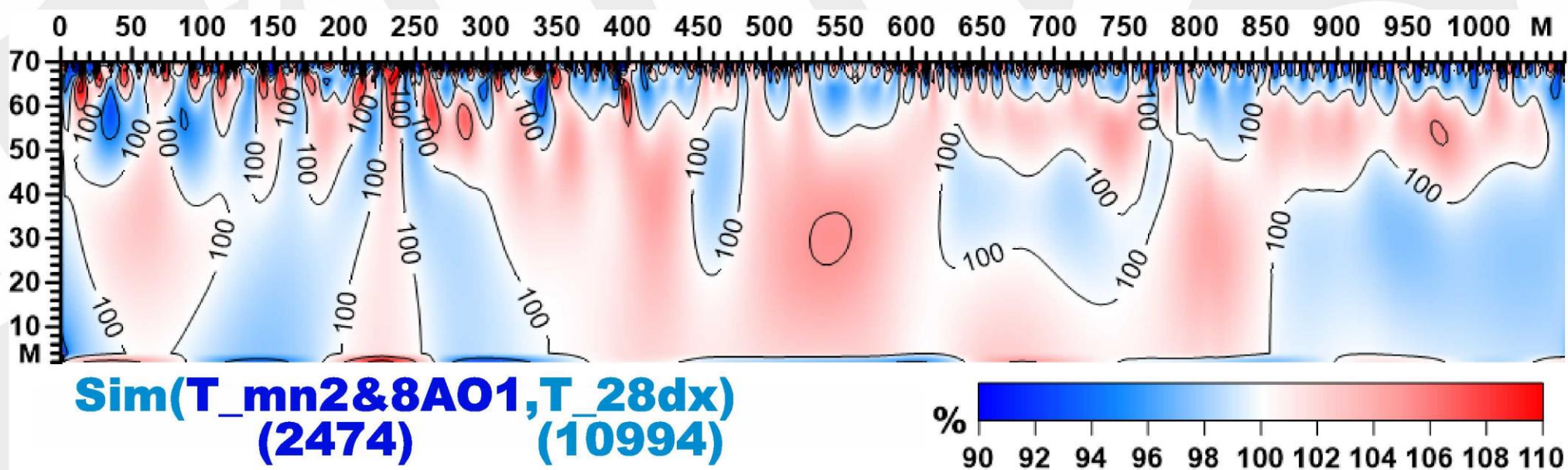
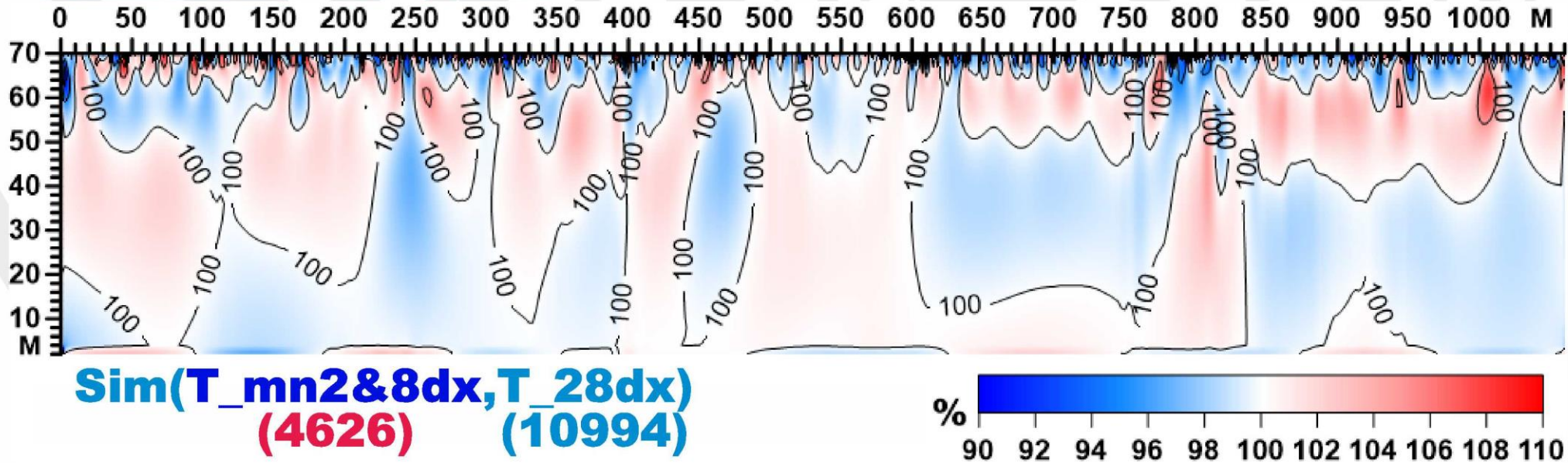


# РЕЗУЛЬТАТЫ ИНВЕРСИИ ПРОРЕЖЕННЫХ ДАННЫХ ALEX2023 ПР УГРА



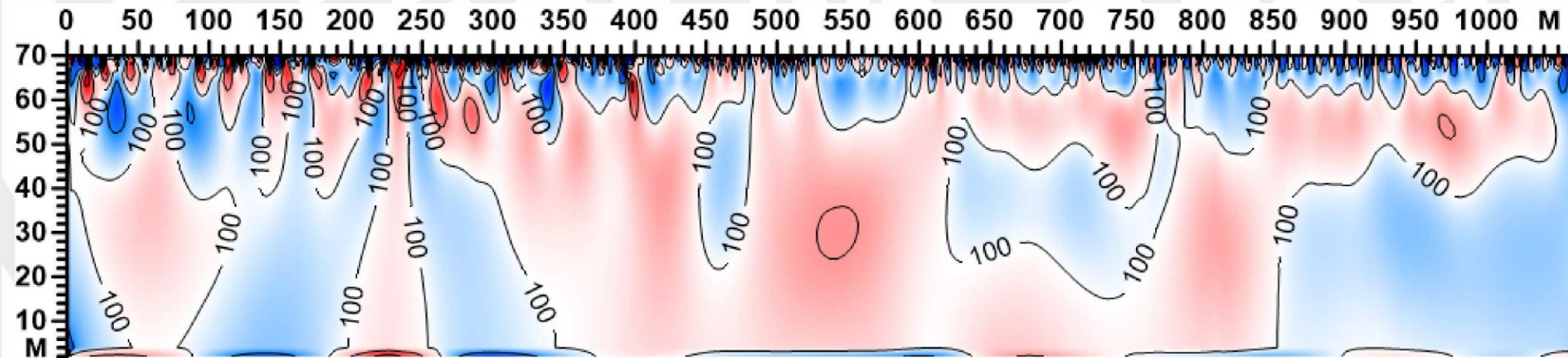
# РАЗРЕЗЫ СХОДСТВА МОДЕЛИ T\_2&8dx(AO1) С T\_28dx

## ALEX2023 ПР УГРА

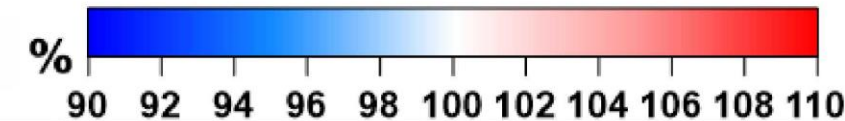


# АНАЛИЗ СХОДСТВА МОДЕЛИ Т\_mn2&8АО1 С Т\_28dx

## ALEX2023 ПР УГРА



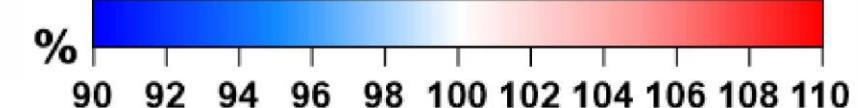
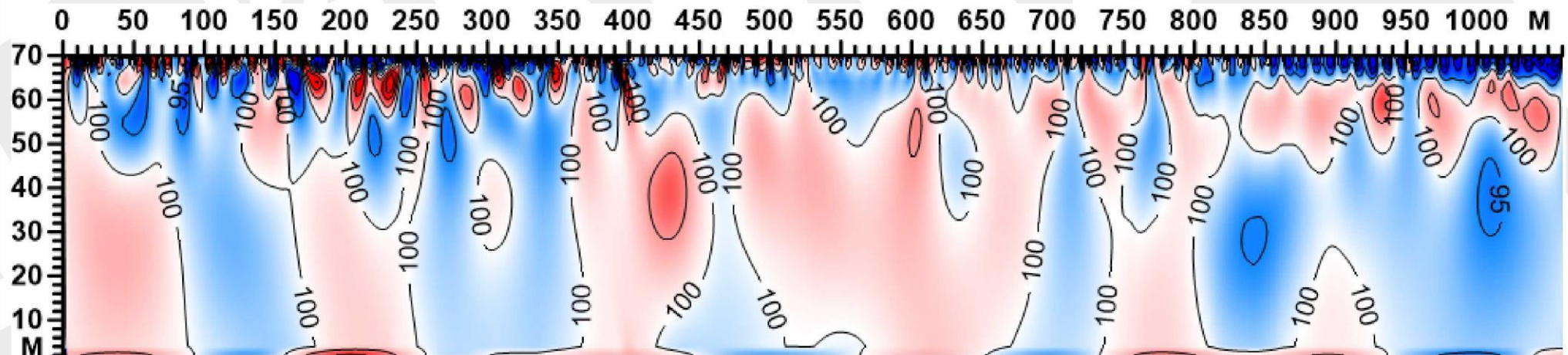
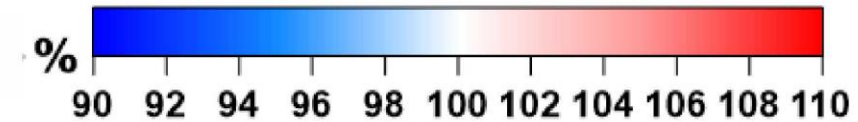
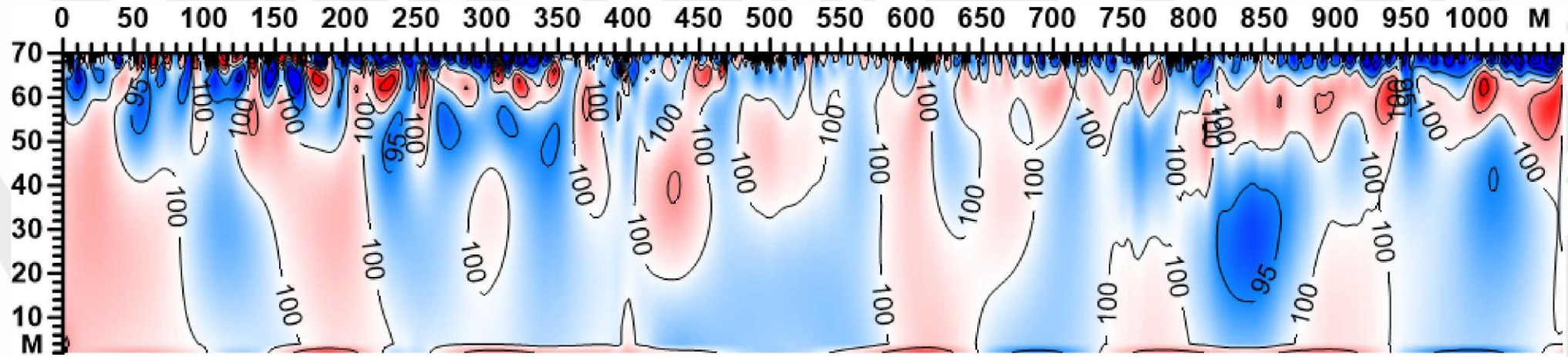
**Sim(T\_mn2&8АО1, T\_28dx)**  
**(2474) (10994)**



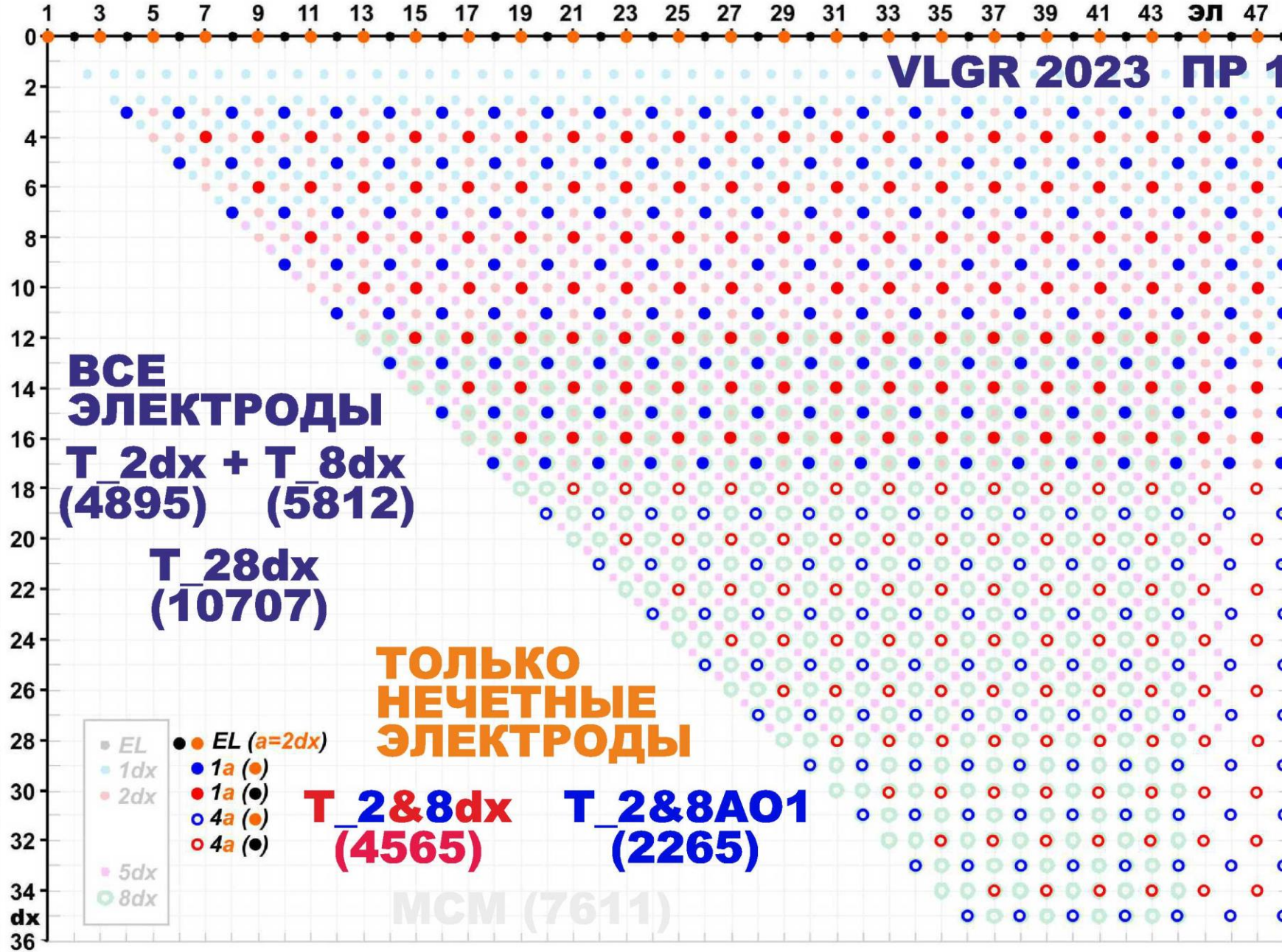
n \ N	0	1	2	3	4	5	6	7	8	9	10	11	12	13
0	% \ name	2&8*dx	125dx	1258dx	28dx	258dx	12dx	2&8dx	2&8AO1	2&8*AO1	1dx	2dx	5dx	8dx
1	0 (min)	29.12	53.28	4.29	8.19	13.23	79.14	2.39	34.84	74.50	76.90	73.40	62.18	0.00
2	1	93.57	94.33	94.44	89.69	88.75	93.39	87.71	86.43	91.24	92.09	89.96	75.94	70.21
3	5	97.82	96.79	96.29	94.64	93.71	96.08	94.48	95.06	96.81	95.15	93.51	87.30	81.19
4	10	98.60	97.59	97.25	96.29	95.65	97.17	96.26	96.51	97.94	96.55	94.97	89.71	86.62
5	25	99.27	98.85	98.52	98.04	97.59	98.91	98.04	98.17	98.97	98.44	97.72	93.94	92.49
6	50 (med)	100.00	100.07	99.98	99.63	99.50	100.39	99.47	99.87	100.31	100.45	100.37	97.27	97.26
7	75	100.77	101.28	101.26	100.91	101.01	102.24	101.05	101.64	101.79	102.61	102.73	102.04	101.46
8	90	101.74	102.72	102.50	102.24	102.98	104.23	102.90	103.14	103.25	105.20	105.04	105.76	105.06
9	95	102.59	104.11	103.31	103.13	103.94	105.20	104.00	104.17	104.25	106.78	106.75	108.89	107.46
10	99	106.09	106.82	105.69	107.10	108.00	116.13	108.42	109.45	108.37	115.18	120.30	114.42	115.73
11	100 (max)	129.33	120.81	119.40	132.95	131.72	132.14	151.70	177.91	425.87	262.93	136.31	145.38	140.48
12	StDev	2.20	2.36	2.42	3.06	3.48	3.66	3.69	3.81	4.01	4.18	4.85	7.09	8.29
13	NdU	4626	17318	22725	10994	18027	10285	4626	2474	2474	4698	5587	7033	5407

# РАЗРЕЗЫ СХОДСТВА МОДЕЛИ T\_2&8dx(АО1) С Т\_MCM

## ALEX2023 ПР УГРА

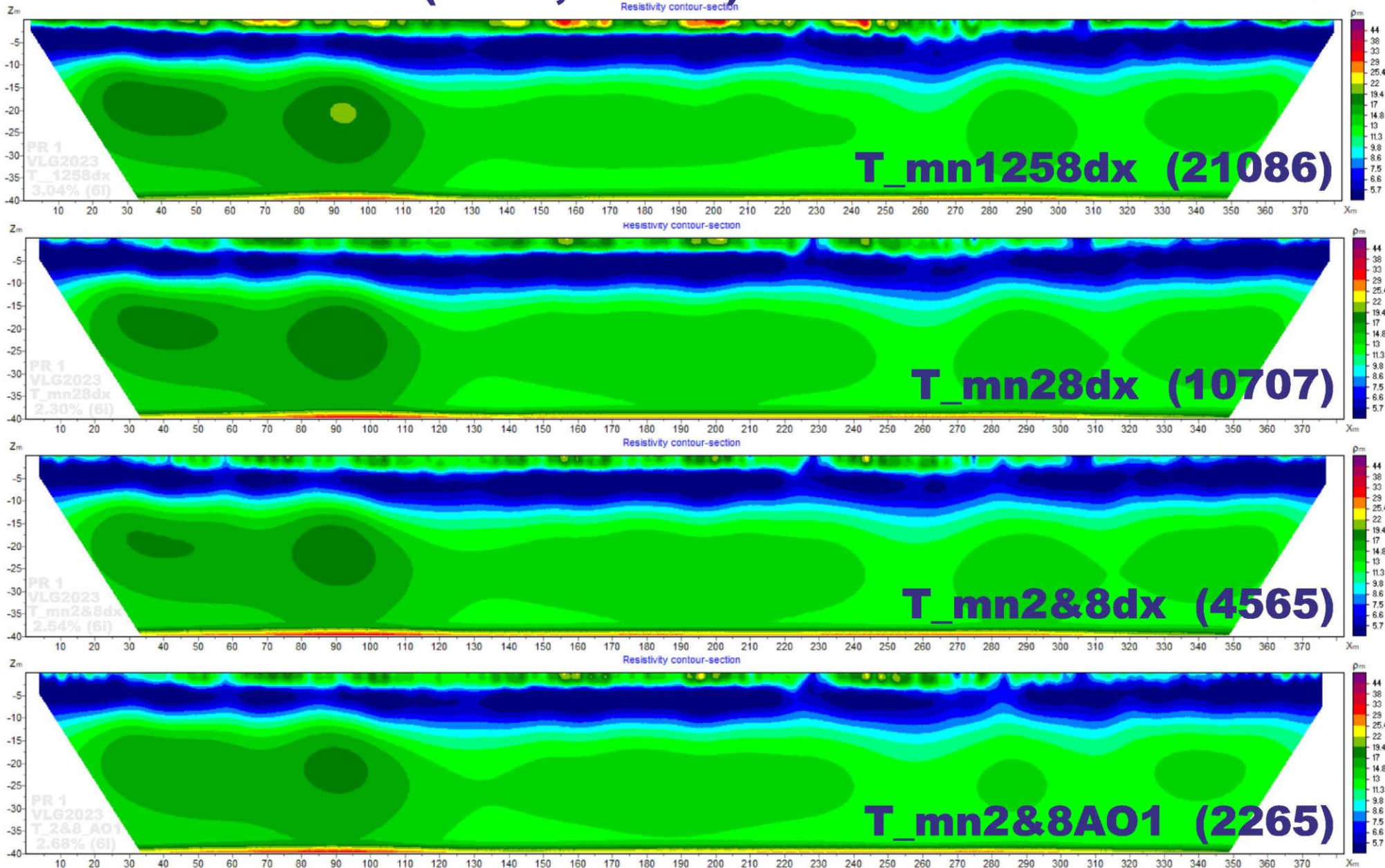


# ПРОРЕЖЕННЫЕ ДАННЫЕ (НЕЧЕТНЫЕ ЭЛЕКТРОДЫ)



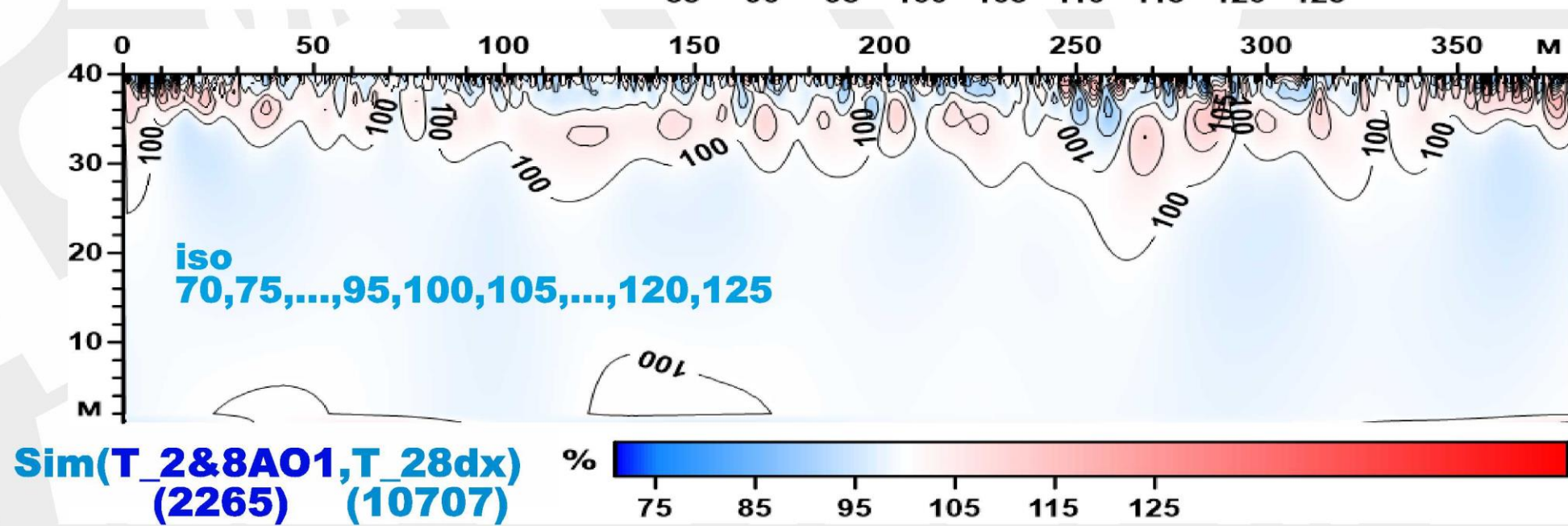
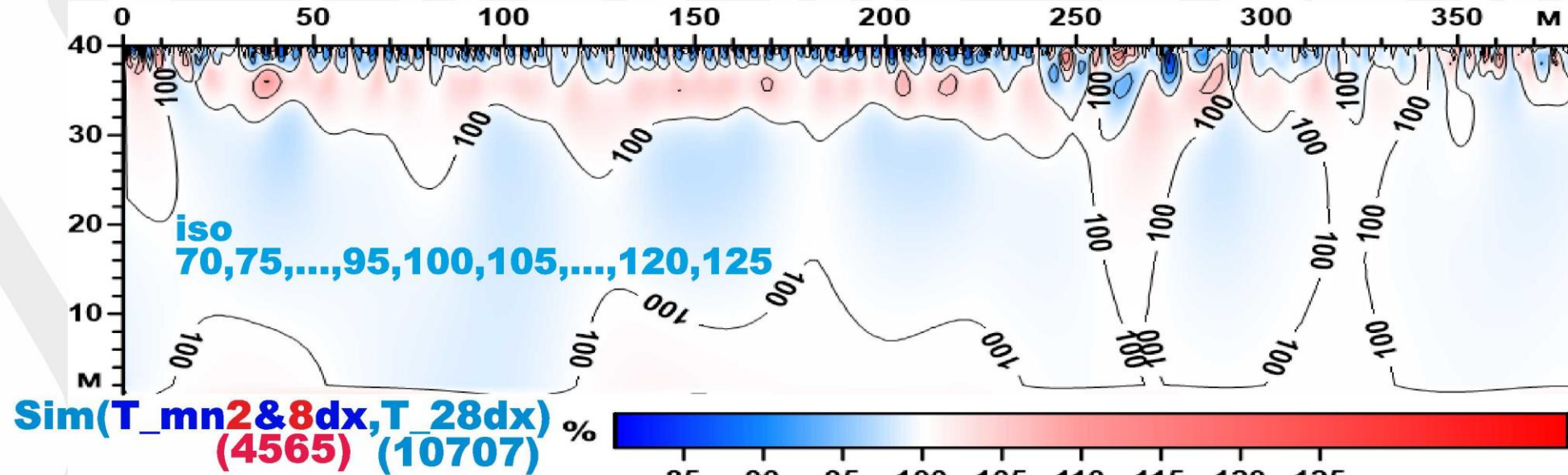
# РЕЗУЛЬТАТЫ ИНВЕРСИИ ПРОРЕЖЕННЫХ ДАННЫХ

## VLGR2023 ПР 1 (382м, dx=2м)



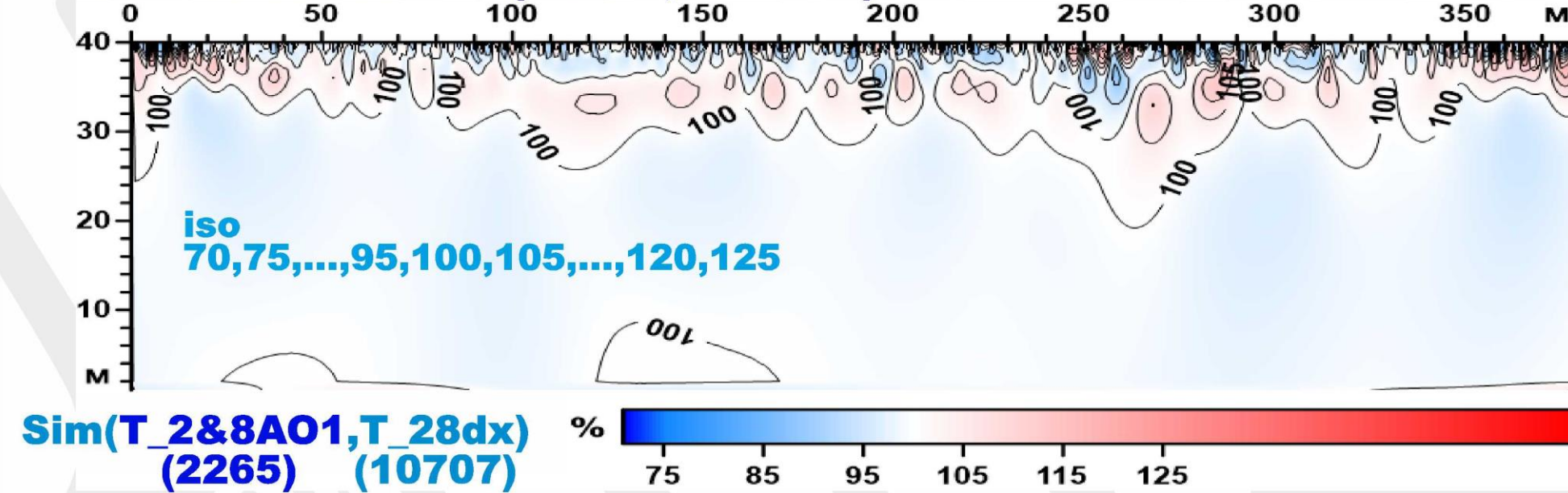
# РАЗРЕЗЫ СХОДСТВА МОДЕЛИ T\_2&8dx(AO1) С T\_28dx

## VLGR2023 ПР 1 (382м, dx=2м)



# АНАЛИЗ СХОДСТВА МОДЕЛИ T\_mn2&8АО1 С T\_28dx

## VLGR2023 ПР 1 (382м, dx=2м)



n \ N	0	1	2	3	4	5	6	7	8	9	10	11	12	13	14
0	% \ name	T2&8*	T2&8*AO1	T_125	T_1258	T_12	T_2	T_28	T_2&8	T_258	T2&8AO1	T_1	T_5	T_58	T_8
1	0 (min)	80.68	70.94	72.23	71.74	71.77	58.09	55.90	49.44	54.81	41.90	67.48	32.51	28.82	31.25
2	1	92.47	91.74	88.32	88.50	86.14	76.39	75.79	73.24	74.74	73.86	76.41	64.43	64.44	65.38
3	5	97.88	96.40	91.60	91.57	89.59	89.93	91.19	91.01	90.96	90.92	86.43	85.21	84.71	84.25
4	10	98.44	97.18	94.21	93.96	92.82	92.34	93.42	93.54	93.45	93.09	88.08	91.80	92.33	90.65
5	25	99.22	98.06	98.15	98.18	95.46	96.21	97.97	98.06	97.90	97.40	90.96	98.21	98.19	95.92
6	50 (med)	99.73	98.95	100.08	100.52	97.90	98.64	100.74	100.30	101.07	99.54	94.64	100.37	100.73	99.68
7	75	100.17	99.78	100.96	101.74	99.93	100.93	101.87	101.47	102.48	100.67	99.41	101.65	102.79	101.99
8	90	101.22	102.24	102.61	103.05	102.50	102.84	103.84	103.56	104.24	103.27	104.66	104.09	105.19	105.66
9	95	102.48	104.33	103.61	104.45	103.97	104.29	105.66	105.00	106.37	104.88	107.44	107.85	107.82	112.44
10	99	105.26	110.50	108.74	107.83	108.26	112.46	113.11	113.31	113.18	117.37	114.54	117.75	117.99	138.02
11	100 (max)	140.58	166.39	144.19	148.95	136.38	165.79	173.02	186.91	177.68	200.91	142.84	264.51	274.27	303.73
12	StDev	<b>1.94</b>	<b>3.07</b>	<b>3.74</b>	<b>4.02</b>	<b>4.24</b>	<b>5.62</b>	<b>5.76</b>	<b>6.04</b>	<b>6.05</b>	<b>6.25</b>	<b>7.03</b>	<b>8.92</b>	<b>9.18</b>	<b>11.38</b>
13	NdU	<b>4565</b>	<b>2265</b>	<b>15274</b>	<b>21086</b>	<b>8921</b>	<b>4895</b>	<b>10707</b>	<b>4565</b>	<b>17060</b>	<b>2265</b>	<b>4026</b>	<b>6353</b>	<b>12165</b>	<b>5812</b>

ФИЛИАЛ МОСКОВСКОГО ГОСУДАРСТВЕННОГО УНИВЕРСИТЕТА  
ИМЕНИ М.В. ЛОМОНОСОВА В ГОРОДЕ ДУШАНБЕ

270 лет МГУ  
1755 2025

15 ФМГУД  
2009 2024

МЕЖДУНАРОДНАЯ НАУЧНО-ПРАКТИЧЕСКАЯ КОНФЕРЕНЦИЯ XIV ЛОМОНОСОВСКИЕ ЧТЕНИЯ «РОЛЬ ФИЛИАЛА  
МОСКОВСКОГО ГОСУДАРСТВЕННОГО УНИВЕРСИТЕТА ИМЕНИ М.В. ЛОМОНОСОВА В ГОРОДЕ ДУШАНБЕ В РАЗВИТИИ  
НАУКИ И ОБРАЗОВАНИЯ»

22 НОЯБРЯ 2024



**БОЛЬШАКОВ ДМИТРИЙ КОНСТАНТИНОВИЧ \***

**МОДИН ИГОРЬ НИКОЛАЕВИЧ**

**ИСПОЛЬЗОВАНИЕ СТАТИСТИЧЕСКИХ АТРИБУТОВ  
ПАРАМЕТРА СХОДСТВА ДЛЯ СРАВНЕНИЯ  
РЕЗУЛЬТАТОВ ПОЛЕВОГО ОПРОБОВАНИЯ  
МЕТОДИК ЭЛЕКТРОТОМОГРАФИИ**

**УЧАСТКИ ПОЛЕВОГО ОПРОБОВАНИЯ УСТАНОВОК И АППАРАТУРА ДЛЯ ВЫПОЛНЕНИЯ РАБОТ  
ПОСЛЕДОВАТЕЛЬНОСТИ СТАНДАРТНЫХ И РАЗДЕЛЬНЫХ ИЗМЕРЕНИЙ МЕТОДОМ ЭТ**

**ПОЛЕВЫЕ ДАННЫЕ И ИХ СОВОКУПНОСТИ ДЛЯ РАЗНЫХ УСТАНОВОК**

**ГЕОМЕТРИЯ МОДЕЛЕЙ ДЛЯ ПОЛУЧЕНИЯ РЕЗУЛЬТАТОВ ДВУМЕРНОЙ ИНВЕРСИИ ДАННЫХ**

**РЕЗУЛЬТАТЫ ИНВЕРСИИ ПОЛЕВЫХ ДАННЫХ СТАНДАРТНЫХ И РАЗДЕЛЬНЫХ ИЗМЕРЕНИЙ**

**КАЧЕСТВЕННОЕ СРАВНЕНИЕ И КОЛИЧЕСТВЕННАЯ ОЦЕНКА СХОДСТВА МОДЕЛЕЙ**

**КОЛИЧЕСТВЕННЫЙ АНАЛИЗ СХОДСТВА ГЕОЭЛЕКТРИЧЕСКИХ МОДЕЛЕЙ**

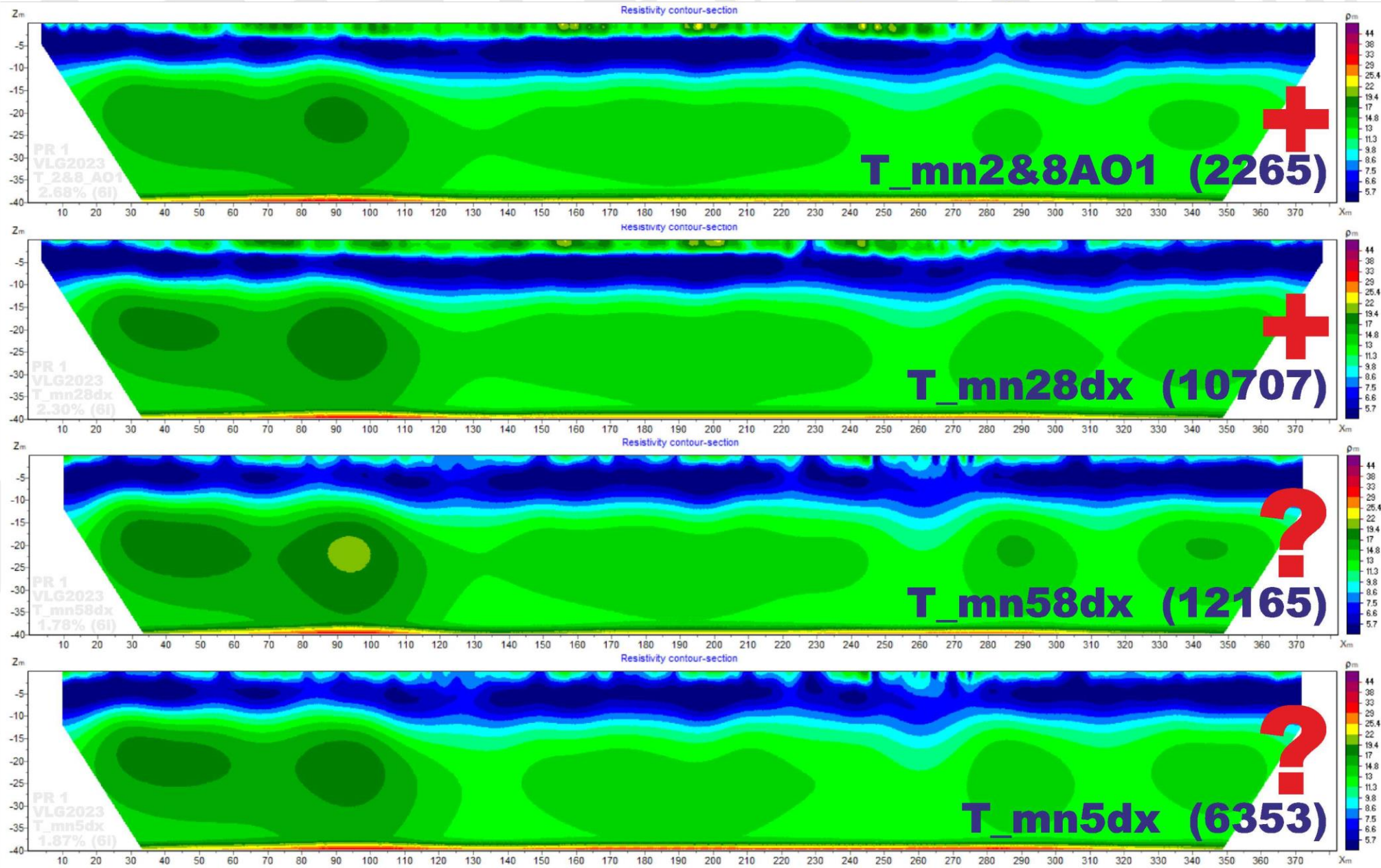
**РЕЗУЛЬТАТЫ ИНВЕРСИИ ПРОРЕЖЕННЫХ ДАННЫХ ТРЕХЭЛЕКТРОДНЫХ УСТАНОВОК**

**ВЫБОР ПОСЛЕДОВАТЕЛЬНОСТИ ИЗМЕРЕНИЙ**

**ЗАКЛЮЧЕНИЕ**

# ВЫБОР ПОСЛЕДОВАТЕЛЬНОСТИ ИЗМЕРЕНИЙ

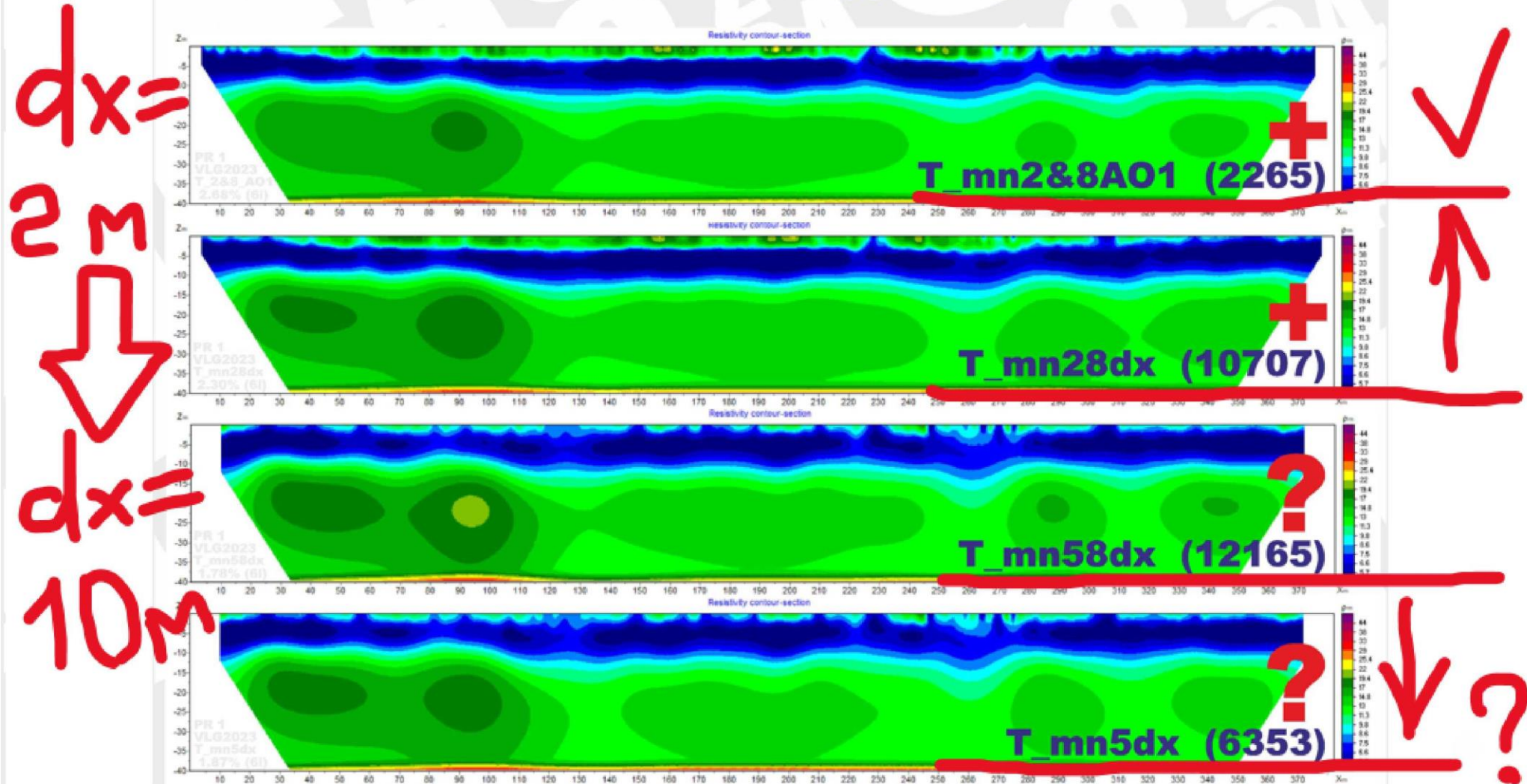
## VLGR2023 ПР 1 (382м, dx=2м)



# ВЫБОР ПОСЛЕДОВАТЕЛЬНОСТИ ИЗМЕРЕНИЙ

VLGR2023 ПР 1 (382м,  $dx=2\text{м}$ )

## ВЫБОР ОПТИМАЛЬНОЙ ПОСЛЕДОВАТЕЛЬНОСТИ



# ВЫБОР ПОСЛЕДОВАТЕЛЬНОСТИ ИЗМЕРЕНИЙ

## ALEX2023 ПР УГРА

n \ N	0	1	2	3	4	5	6	7	8	9	10	11	12	13
0	% \ name	2&8*dx	125dx	1258dx	28dx	258dx	12dx	2&8dx	2&8AO1	2&8*AO1	1dx	2dx	5dx	8dx
1	0 (min)	29.12	53.28	4.29	8.19	13.23	79.14	2.39	34.84	74.50	76.90	73.40	62.18	0.00
2	1	93.57	94.33	94.44	89.69	88.75	93.39	87.71	86.43	91.24	92.09	89.96	75.94	70.21
3	5	97.82	96.79	96.29	94.64	93.71	96.08	94.48	95.06	96.81	95.15	93.51	87.30	81.19
4	10	98.60	97.59	97.25	96.29	95.65	97.17	96.26	96.51	97.94	96.55	94.97	89.71	86.62
5	25	99.27	98.85	98.52	98.04	97.59	98.91	98.04	98.17	98.97	98.44	97.72	93.94	92.49
6	50 (med)	100.00	100.07	99.98	99.63	99.50	100.39	99.47	99.87	100.31	100.45	100.37	97.27	97.26
7	75	100.77	101.28	101.26	100.91	101.01	102.24	101.05	101.64	101.79	102.61	102.73	102.04	101.46
8	90	101.74	102.72	102.50	102.24	102.98	104.23	102.90	103.14	103.25	105.20	105.04	105.76	105.06
9	95	102.59	104.11	103.31	103.13	103.94	105.20	104.00	104.17	104.25	106.78	106.75	108.89	107.46
10	99	106.09	106.82	105.69	107.10	108.00	116.13	108.42	109.45	108.37	115.18	120.30	114.42	115.73
11	100 (max)	129.33	120.81	119.40	132.95	131.72	132.14	151.70	177.91	425.87	262.93	136.31	145.38	140.48
12	StDev	2.20	2.36	2.42	3.06	3.48	3.66	3.69	3.81	4.01	4.18	4.85	7.09	8.29
13	NdU	4626	17318	22725	10994	18027	10285	4626	2474	2474	4698	5587	7033	5407

## VLGR2023 ПР 1 (382м, dx=2м)

n \ N	0	1	2	3	4	5	6	7	8	9	10	11	12	13	14
0	% \ name	T2&8*	T2&8*AO1	T_125	T_1258	T_12	T_2	T_28	T_2&8	T_258	T2&8AO1	T_1	T_5	T_58	T_8
1	0 (min)	80.68	70.94	72.23	71.74	71.77	58.09	55.90	49.44	54.81	41.90	67.48	32.51	28.82	31.25
2	1	92.47	91.74	88.32	88.50	86.14	76.39	75.79	73.24	74.74	73.86	76.41	64.43	64.44	65.38
3	5	97.88	96.40	91.60	91.57	89.59	89.93	91.19	91.01	90.96	90.92	86.43	85.21	84.71	84.25
4	10	98.44	97.18	94.21	93.96	92.82	92.34	93.42	93.54	93.45	93.09	88.08	91.80	92.33	90.65
5	25	99.22	98.06	98.15	98.18	95.46	96.21	97.97	98.06	97.90	97.40	90.96	98.21	98.19	95.92
6	50 (med)	99.73	98.95	100.08	100.52	97.90	98.64	100.74	100.30	101.07	99.54	94.64	100.37	100.73	99.68
7	75	100.17	99.78	100.96	101.74	99.93	100.93	101.87	101.47	102.48	100.67	99.41	101.65	102.79	101.99
8	90	101.22	102.24	102.61	103.05	102.50	102.84	103.84	103.56	104.24	103.27	104.66	104.09	105.19	105.66
9	95	102.48	104.33	103.61	104.45	103.97	104.29	105.66	105.00	106.37	104.88	107.44	107.85	107.82	112.44
10	99	105.26	110.50	108.74	107.83	108.26	112.46	113.11	113.31	113.18	117.37	114.54	117.75	117.99	138.02
11	100 (max)	140.58	166.39	144.19	148.95	136.38	165.79	173.02	186.91	177.68	200.91	142.84	264.51	274.27	303.73
12	StDev	1.94	3.07	3.74	4.02	4.24	5.62	5.76	6.04	6.05	6.25	7.03	8.92	9.18	11.38
13	NdU	4565	2265	15274	21086	8921	4895	10707	4565	17060	2265	4026	6353	12165	5812

ФИЛИАЛ МОСКОВСКОГО ГОСУДАРСТВЕННОГО УНИВЕРСИТЕТА  
ИМЕНИ М.В. ЛОМОНОСОВА В ГОРОДЕ ДУШАНБЕ

270 лет МГУ  
1755 2025

15 ФМГУД  
2009 2024

МЕЖДУНАРОДНАЯ НАУЧНО-ПРАКТИЧЕСКАЯ КОНФЕРЕНЦИЯ XIV ЛОМОНОСОВСКИЕ ЧТЕНИЯ «РОЛЬ ФИЛИАЛА  
МОСКОВСКОГО ГОСУДАРСТВЕННОГО УНИВЕРСИТЕТА ИМЕНИ М.В. ЛОМОНОСОВА В ГОРОДЕ ДУШАНБЕ В РАЗВИТИИ  
НАУКИ И ОБРАЗОВАНИЯ»

22 НОЯБРЯ 2024



БОЛЬШАКОВ ДМИТРИЙ КОНСТАНТИНОВИЧ \*

МОДИН ИГОРЬ НИКОЛАЕВИЧ

**ИСПОЛЬЗОВАНИЕ СТАТИСТИЧЕСКИХ АТРИБУТОВ  
ПАРАМЕТРА СХОДСТВА ДЛЯ СРАВНЕНИЯ  
РЕЗУЛЬТАТОВ ПОЛЕВОГО ОПРОБОВАНИЯ  
МЕТОДИК ЭЛЕКТРОТОМОГРАФИИ**

УЧАСТКИ ПОЛЕВОГО ОПРОБОВАНИЯ УСТАНОВОК И АППАРАТУРА ДЛЯ ВЫПОЛНЕНИЯ РАБОТ  
ПОСЛЕДОВАТЕЛЬНОСТИ СТАНДАРТНЫХ И РАЗДЕЛЬНЫХ ИЗМЕРЕНИЙ МЕТОДОМ ЭТ

ПОЛЕВЫЕ ДАННЫЕ И ИХ СОВОКУПНОСТИ ДЛЯ РАЗНЫХ УСТАНОВОК

ГЕОМЕТРИЯ МОДЕЛЕЙ ДЛЯ ПОЛУЧЕНИЯ РЕЗУЛЬТАТОВ ДВУМЕРНОЙ ИНВЕРСИИ ДАННЫХ

РЕЗУЛЬТАТЫ ИНВЕРСИИ ПОЛЕВЫХ ДАННЫХ СТАНДАРТНЫХ И РАЗДЕЛЬНЫХ ИЗМЕРЕНИЙ

КАЧЕСТВЕННОЕ СРАВНЕНИЕ И КОЛИЧЕСТВЕННАЯ ОЦЕНКА СХОДСТВА МОДЕЛЕЙ

КОЛИЧЕСТВЕННЫЙ АНАЛИЗ СХОДСТВА ГЕОЭЛЕКТРИЧЕСКИХ МОДЕЛЕЙ

РЕЗУЛЬТАТЫ ИНВЕРСИИ ПРОРЕЖЕННЫХ ДАННЫХ ТРЕХЭЛЕКТРОДНЫХ УСТАНОВОК

ВЫБОР ПОСЛЕДОВАТЕЛЬНОСТИ ИЗМЕРЕНИЙ ПО РЕЗУЛЬТАТАМ АНАЛИЗА МОДЕЛЕЙ

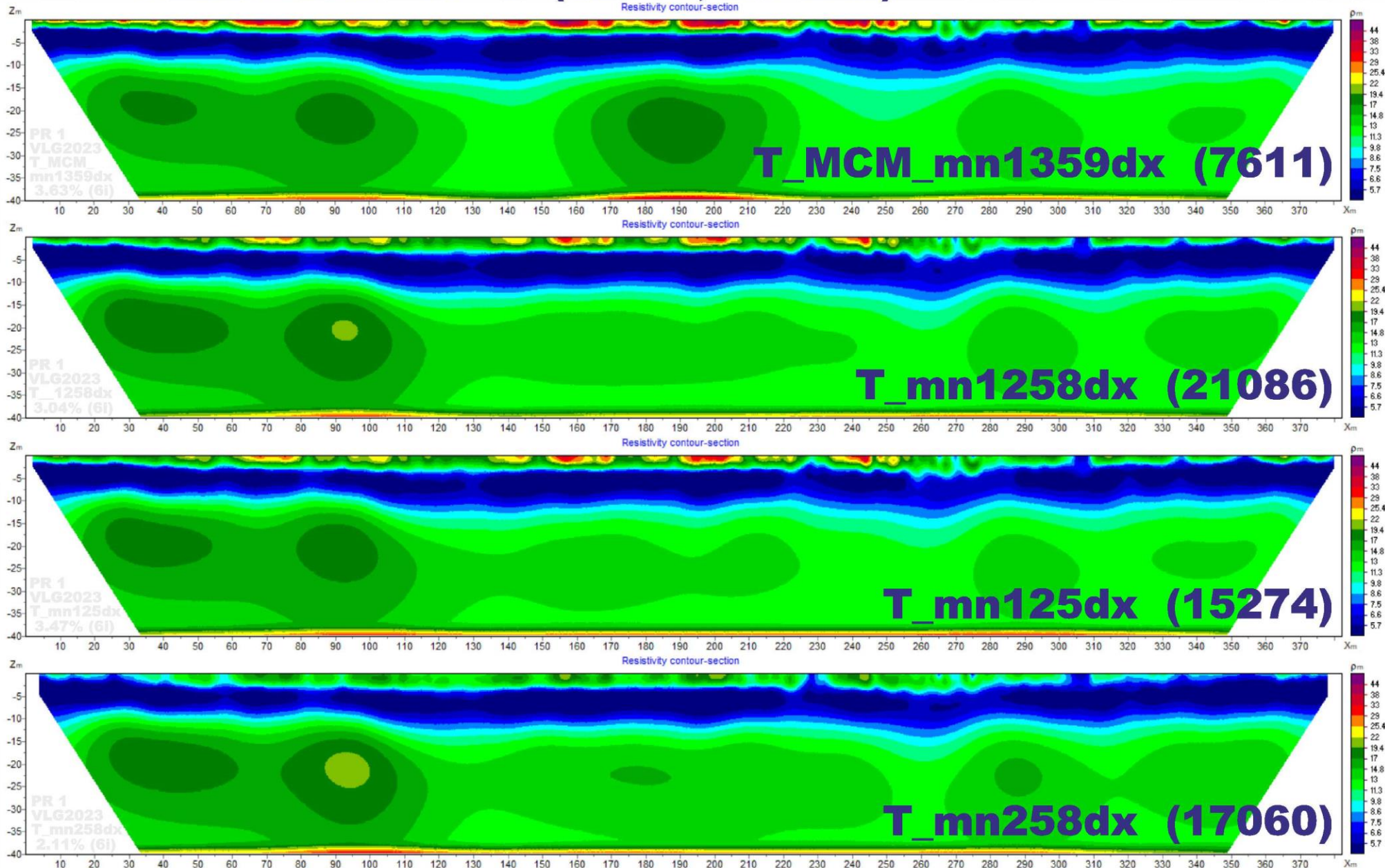
**ЗАКЛЮЧЕНИЕ**

## ЗАКЛЮЧЕНИЕ

ОПРОБОВАНЫ РАЗДЕЛЬНЫЕ ИЗМЕРЕНИЯ С ПРИЕМНЫМИ ЛИНИЯМИ ПОСТОЯННОЙ ДЛИНЫ  
ПОЛУЧЕНЫ ПРЕДСТАВИТЕЛЬНЫЕ ПОЛЕВЫЕ ДАННЫЕ ДЛЯ ТРЕХЭЛЕКТРОДНЫХ УСТАНОВОК  
**ПО РЕЗУЛЬТАТАМ РАЗДЕЛЬНЫХ ИЗМЕРЕНИЙ ВОЗМОЖНО ПОЛУЧЕНИЕ КОМБИНАЦИЙ ДАННЫХ**  
КОМБИНАЦИИ ДАННЫХ ПОЗВОЛЯЮТ СМЕЩАТЬ МЕТОДИЧЕСКИЕ ЭФФЕКТЫ  
РЕЗУЛЬТАТЫ РАЗДЕЛЬНЫХ И СТАНДАРТНЫХ ИЗМЕРЕНИЙ ПРЕДСТАВЛЕНЫ СОВМЕСТНО  
ВЫПОЛНЕН КАЧЕСТВЕННЫЙ АНАЛИЗ РЕЗУЛЬТАТОВ СТАНДАРТНЫХ И РАЗДЕЛЬНЫХ ИЗМЕРЕНИЙ  
**БОЛЬШИНСТВО МОДЕЛЕЙ ВИЗУАЛЬНО СОВПАДАЮТ И ОТЛИЧАЮТСЯ ЛИШЬ ДЕТАЛЯМИ**  
ДЛЯ КОЛИЧЕСТВЕННОГО СРАВНЕНИЯ МОДЕЛЕЙ ПРЕДЛОЖЕН И РАССЧИТАН ПАРАМЕТР СХОДСТВА  
РЕЗУЛЬТАТЫ КОЛИЧЕСТВЕННОГО АНАЛИЗА АНАЛОГИЧНЫ РЕЗУЛЬТАТАМ КАЧЕСТВЕННОГО  
ИЗМЕНЕНИЯ УДЕЛЬНЫХ СОПРОТИВЛЕНИЙ ОТ МОДЕЛИ К МОДЕЛИ НЕЗНАЧИТЕЛЬНЫ (< 5%)  
**АНАЛИЗ ЗНАЧЕНИЙ СХОДСТВА УКАЗЫВАЕТ НА ЭКВИВАЛЕНТНОСТЬ ПОЛУЧЕННЫХ МОДЕЛЕЙ**  
САМЫЕ БЛИЗКИЕ К МОДЕЛИ СТАНДАРТНЫХ ДАННЫХ МОДЕЛИ ПО ДАННЫМ 125 И 1258  
ПОЛУЧЕНИЕ ДОСТОВЕРНЫХ РЕЗУЛЬТАТОВ ВОЗМОЖНО ДЛЯ ИЗМЕРЕНИЙ МЕНЬШЕГО ОБЪЕМА  
ПРЕДЛОЖЕНЫ И ОПРОБОВАНЫ НЕСКОЛЬКО ВАРИАНТОВ МЕТОДИКИ РАЗДЕЛЬНЫХ ИЗМЕРЕНИЙ  
**ПРЕДПОЧТИТЕЛЬНЫМИ ЯВЛЯЮТСЯ ВАРИАНТЫ С НАИМЕНЬШИМ ЧИСЛОМ ИЗМЕРЕНИЙ**

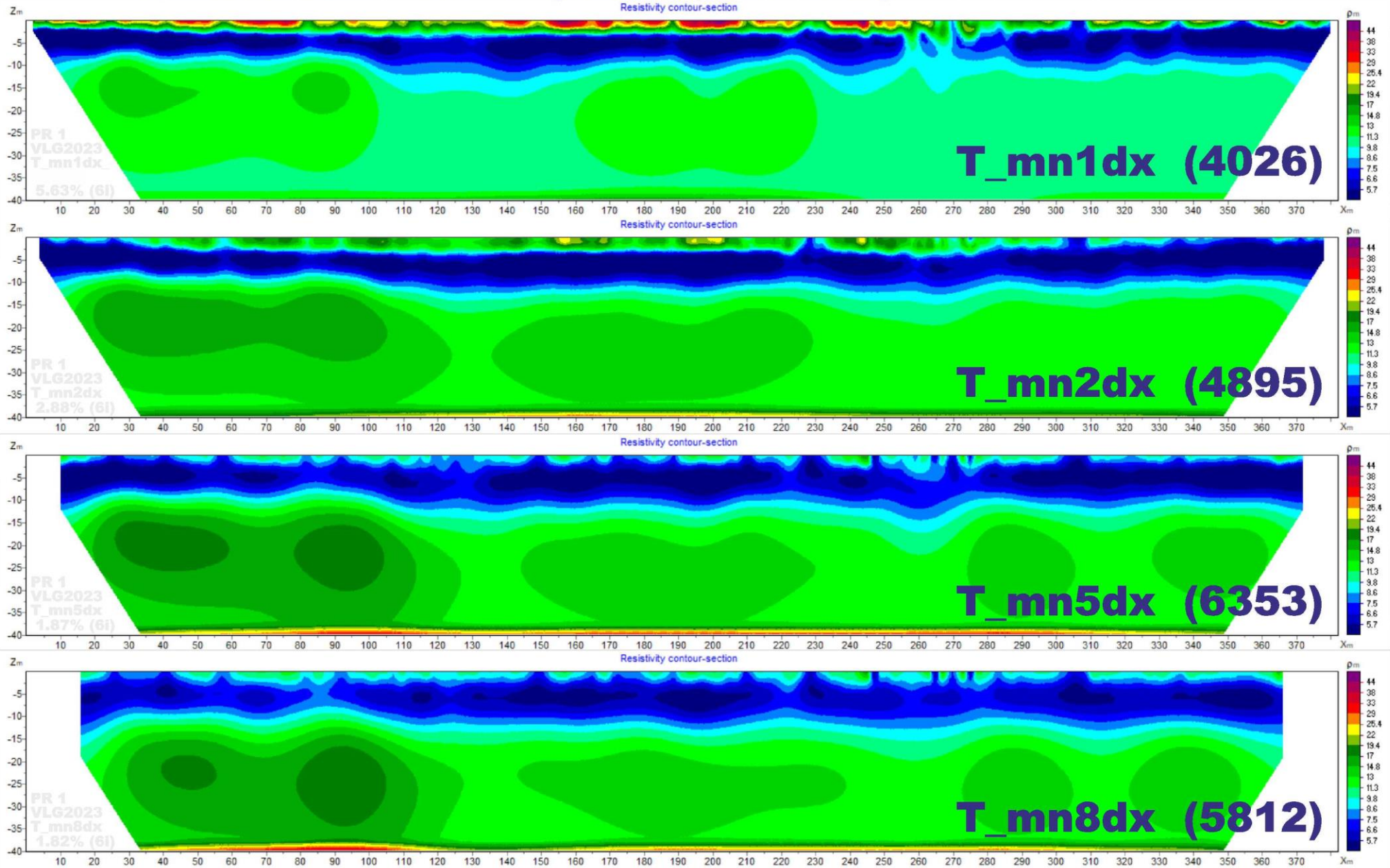
# РЕЗУЛЬТАТЫ ИНВЕРСИИ

## VLGR 2023 ПР 1 (382 м, dx=2 м)



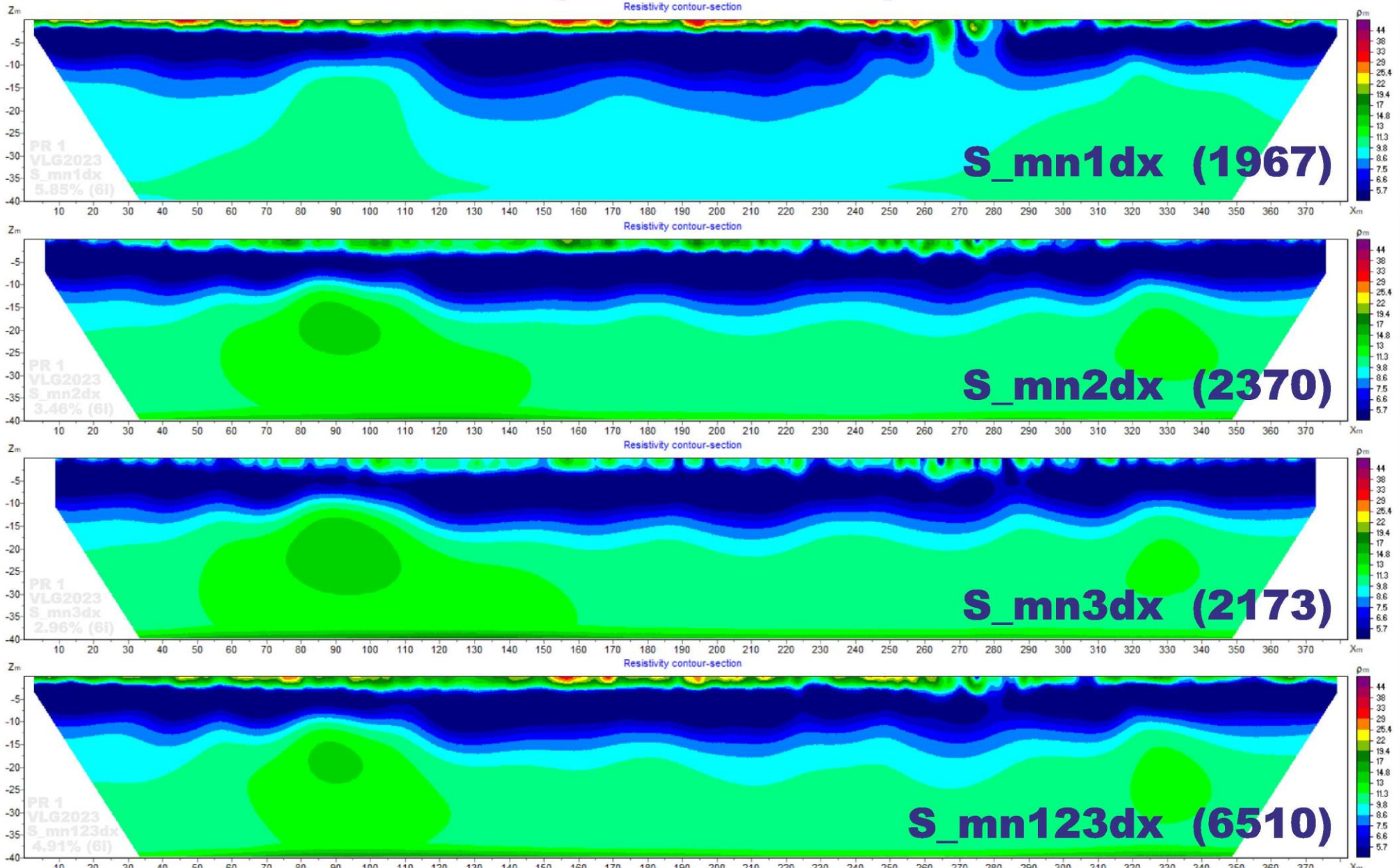
# МОДЕЛИ ДЛЯ ДАННЫХ РАЗДЕЛЬНЫХ ИЗМЕРЕНИЙ

## VLGR 2023 ПР 1 (382 м, dx=2 м)



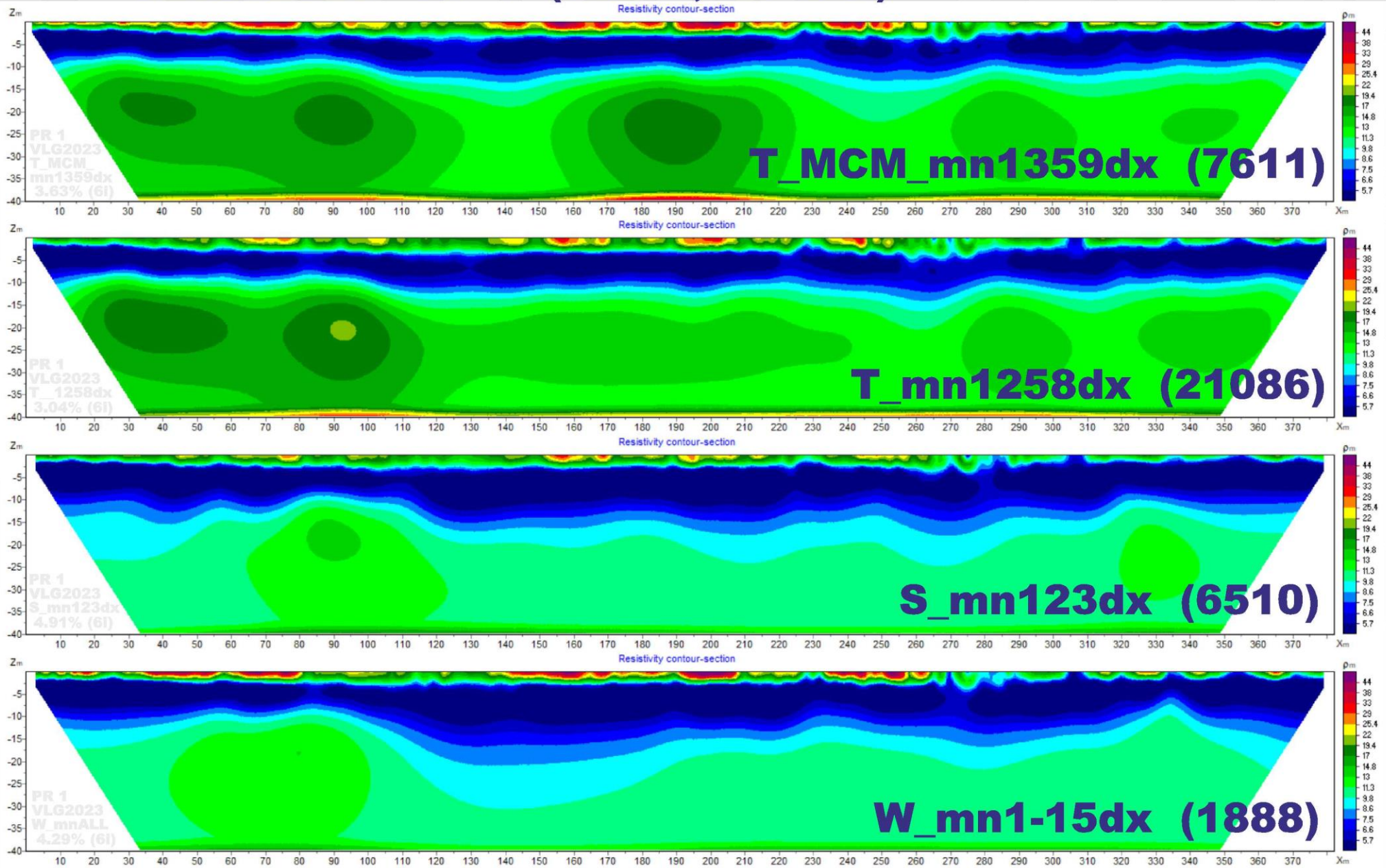
# МОДЕЛИ ДЛЯ ДАННЫХ РАЗДЕЛЬНЫХ ИЗМЕРЕНИЙ

## VLGR 2023 ПР 1 (382 м, dx=2 м)

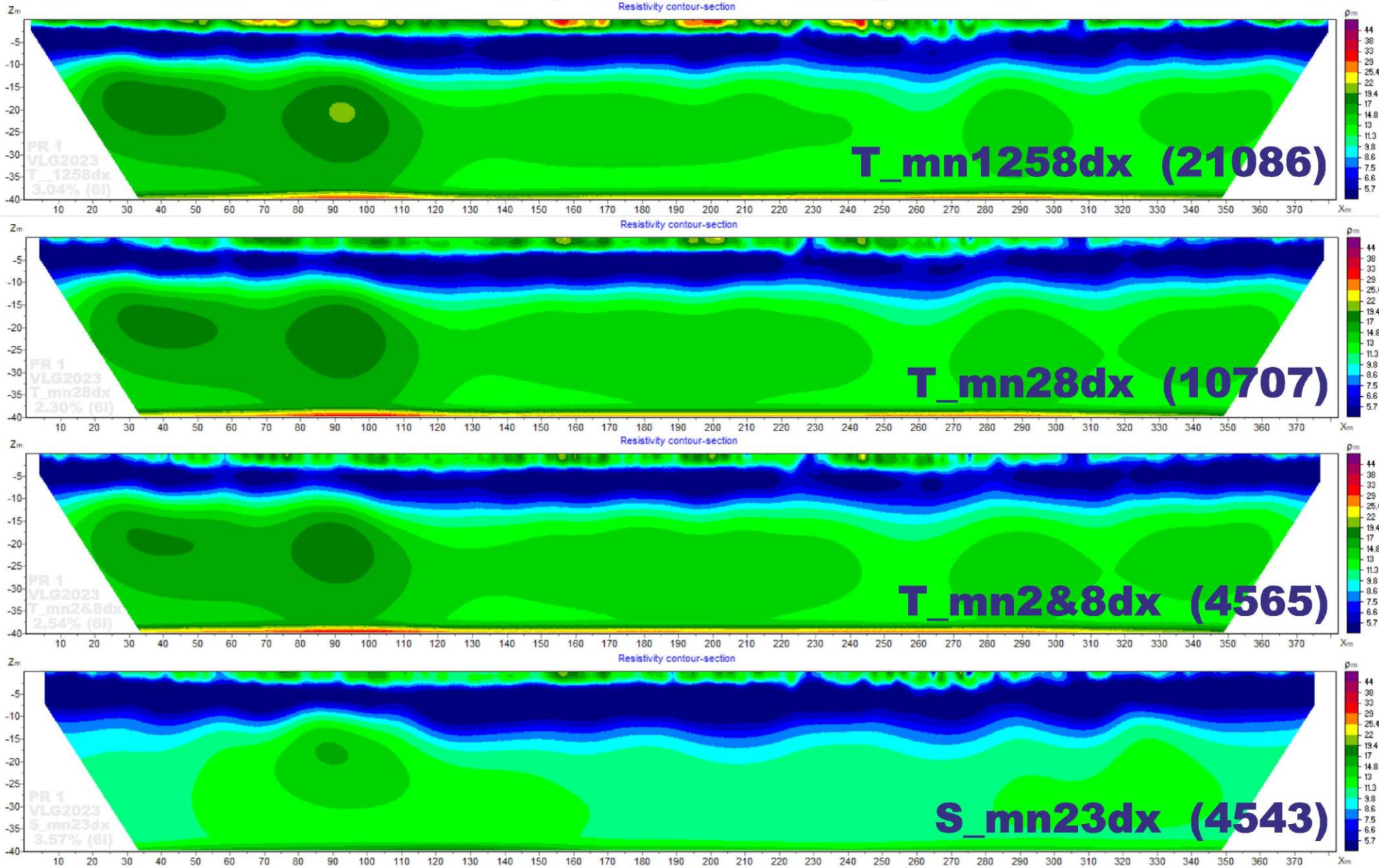


# МОДЕЛИ ДЛЯ ДАННЫХ РАЗНЫХ УСТАНОВОК

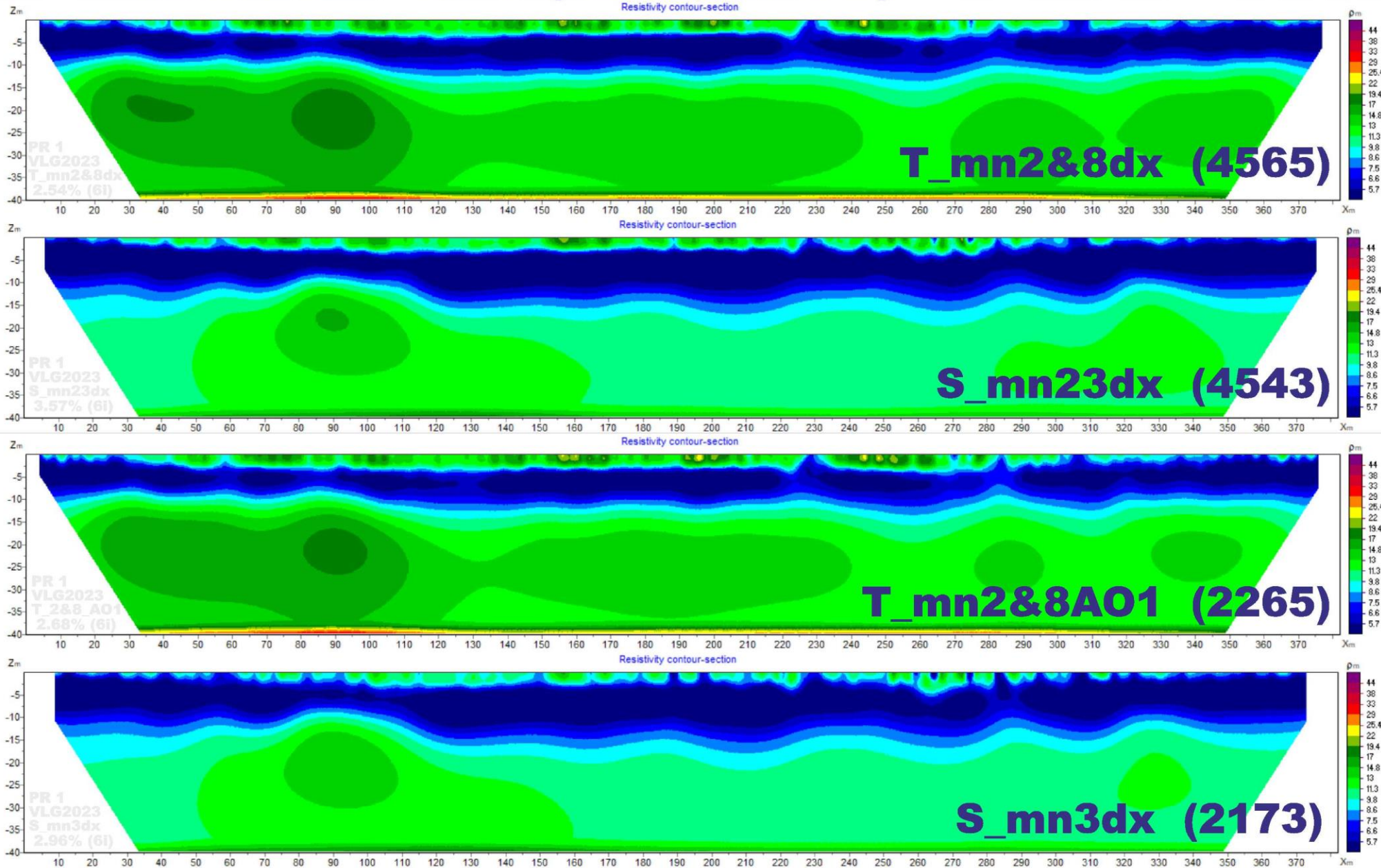
## VLGR 2023 ПР 1 (382 м, dx=2 м)



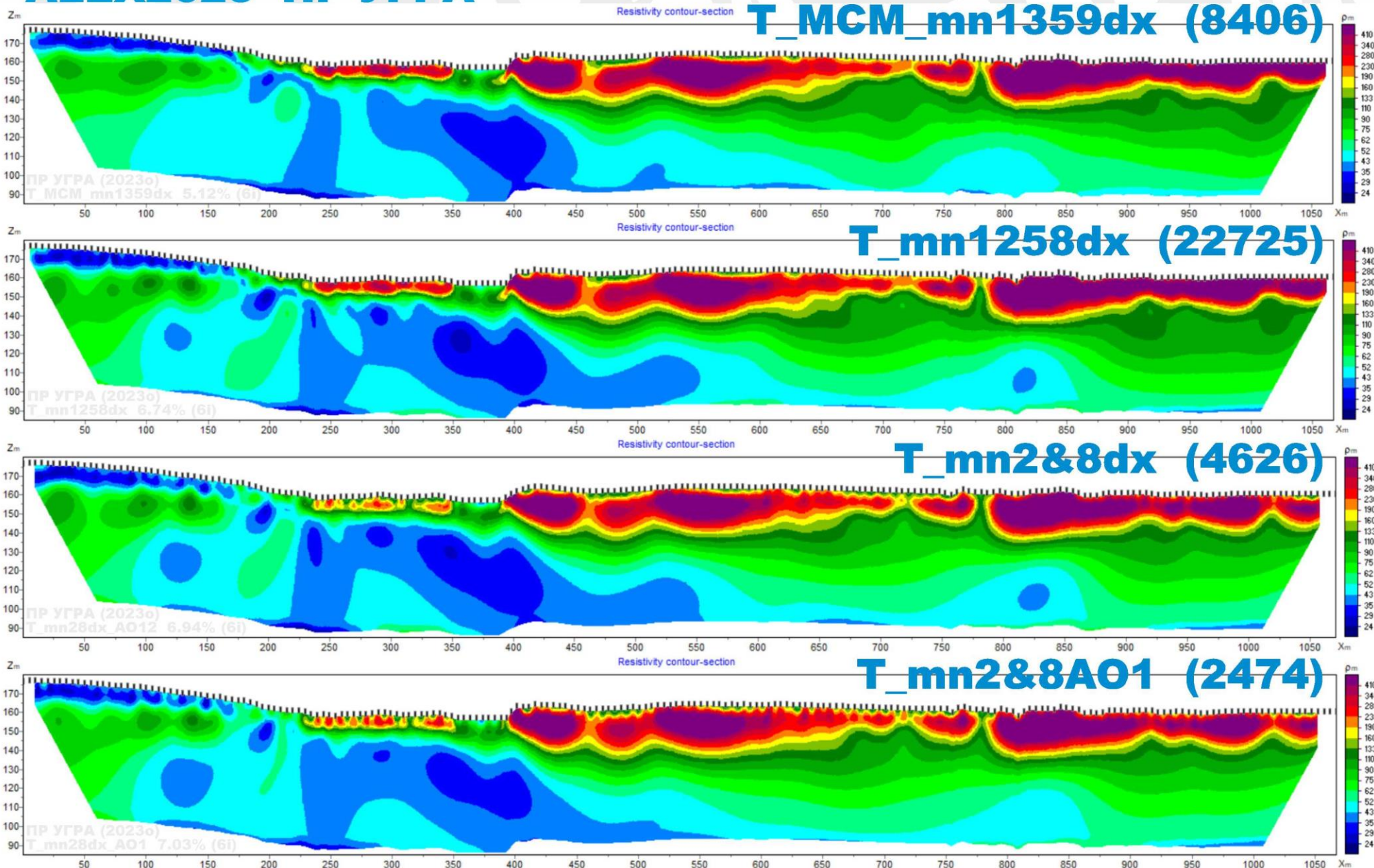
# КАЧЕСТВЕННОЕ СРАВНЕНИЕ РЕЗУЛЬТАТОВ ИНВЕРСИИ VLGR 2023 ПР 1 (382 м, dx=2 м)



# КАЧЕСТВЕННОЕ СРАВНЕНИЕ РЕЗУЛЬТАТОВ ИНВЕРСИИ VLGR 2023 ПР 1 (382 м, dx=2 м)



# КАЧЕСТВЕННОЕ СРАВНЕНИЕ РЕЗУЛЬТАТОВ ИНВЕРСИИ ALEX2023 ПР УГРА



# ПОЛОЖЕНИЕ ОПОРНОГО ПРОФИЛЯ И ГЕОЭЛЕКТРИЧЕСКИЙ РАЗРЕЗ ( фев+сен 2023 )

р. Угра

4075м (сент2023)  
ALEX2023 НР АЛРА

плато Александровское

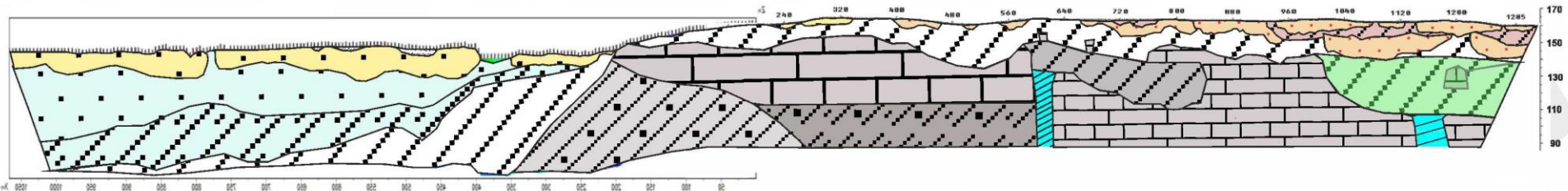
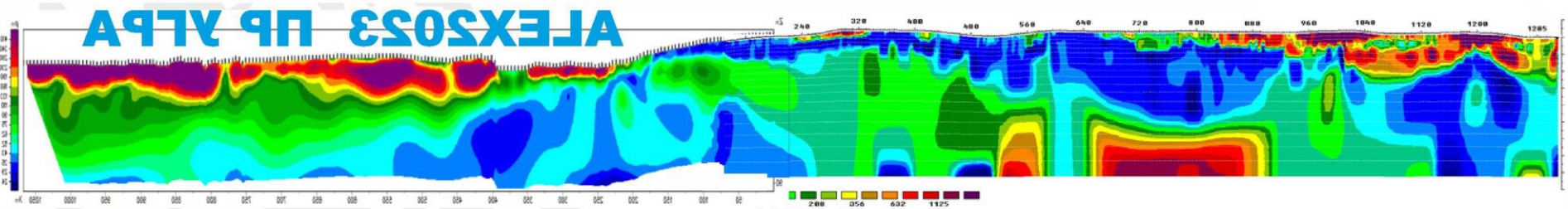
$dG_{\text{энт}}$  мГал

<0 >0

Расстояние, м

0 100 200 300 400

627400 627600 627800 628000 628200 628400 628600 628800 629000 629200 629400



# АПРИОРНАЯ ГЕОЛОГИЧЕСКАЯ ИНФОРМАЦИЯ

## Схематический геологический разрез через долину р. Угры (Геологический Атлас Калужской обл.)

